

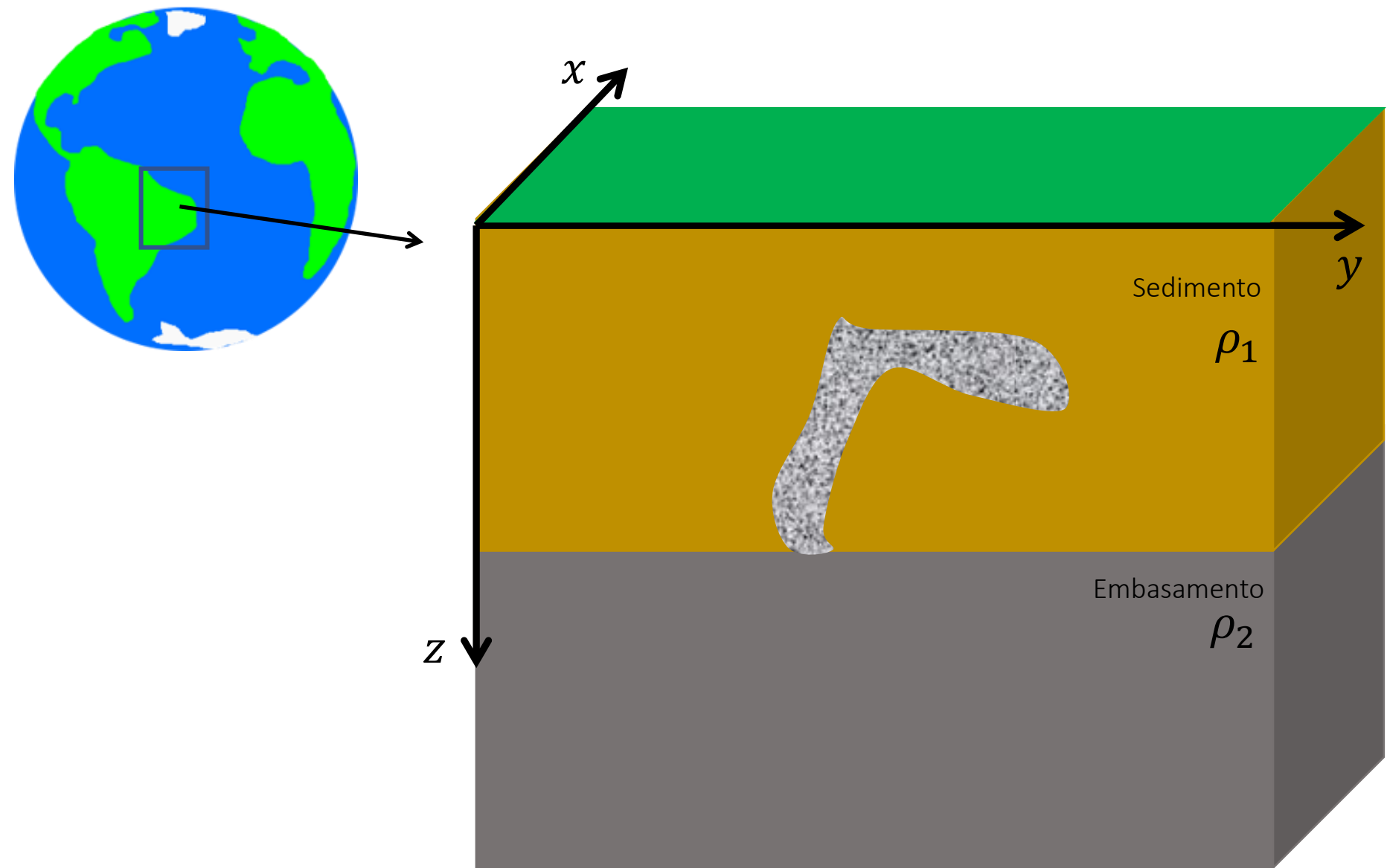


Introdução a Inversão de dados magnéticos e de gravidade (**Parte II**): Exemplos de aplicações

Prof. André Luis Albuquerque dos Reis

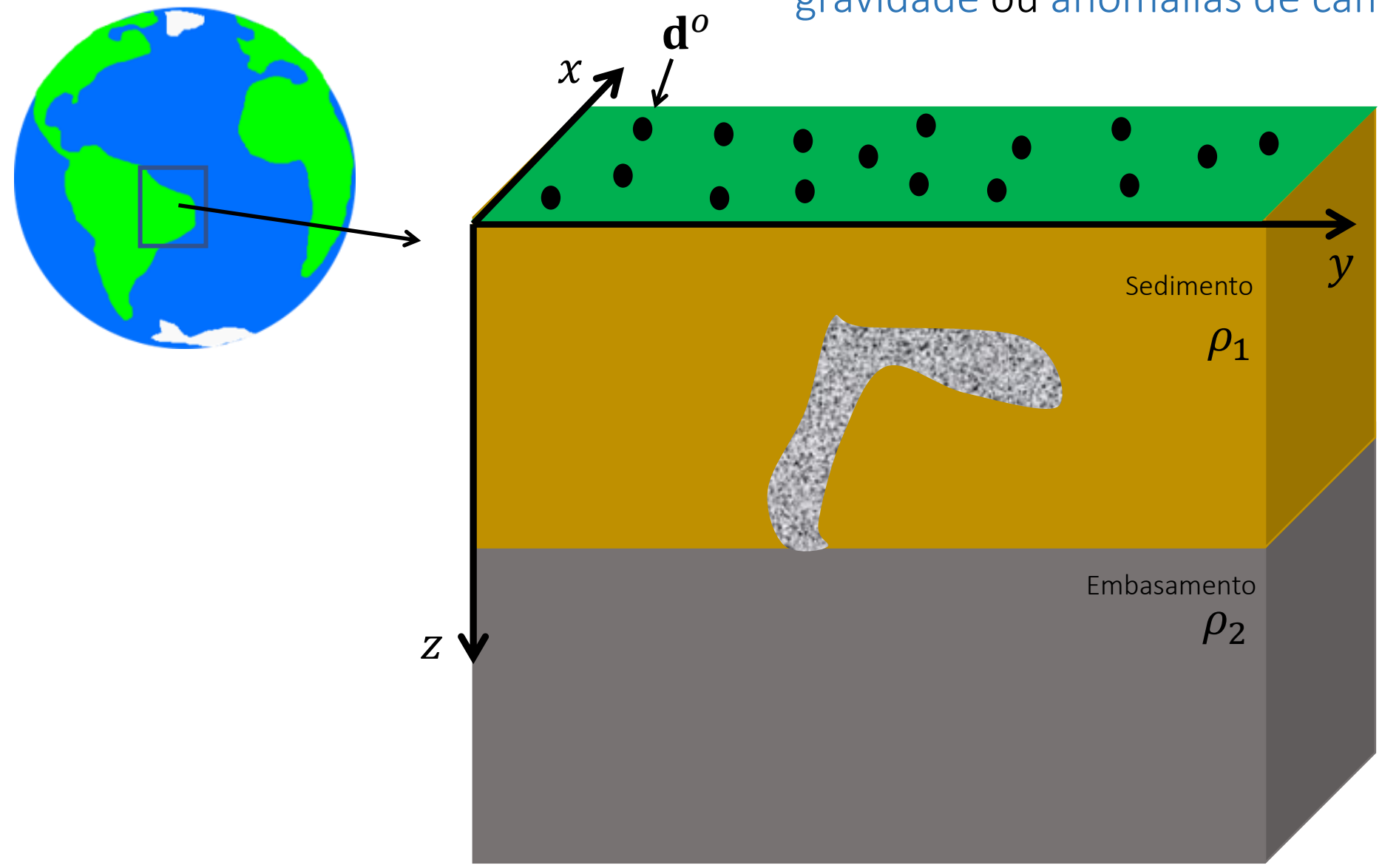
Inversão de dados potenciais

Como funciona isso?

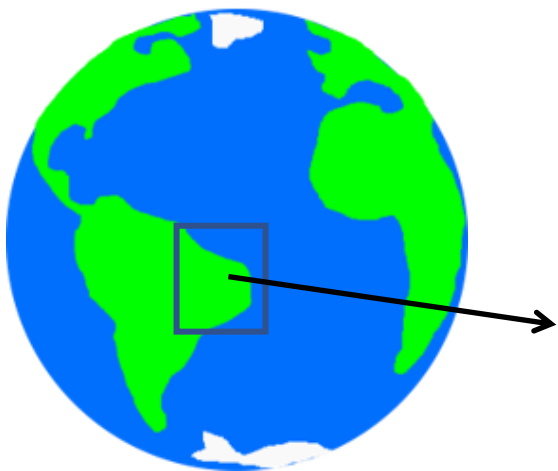


Como funciona isso?

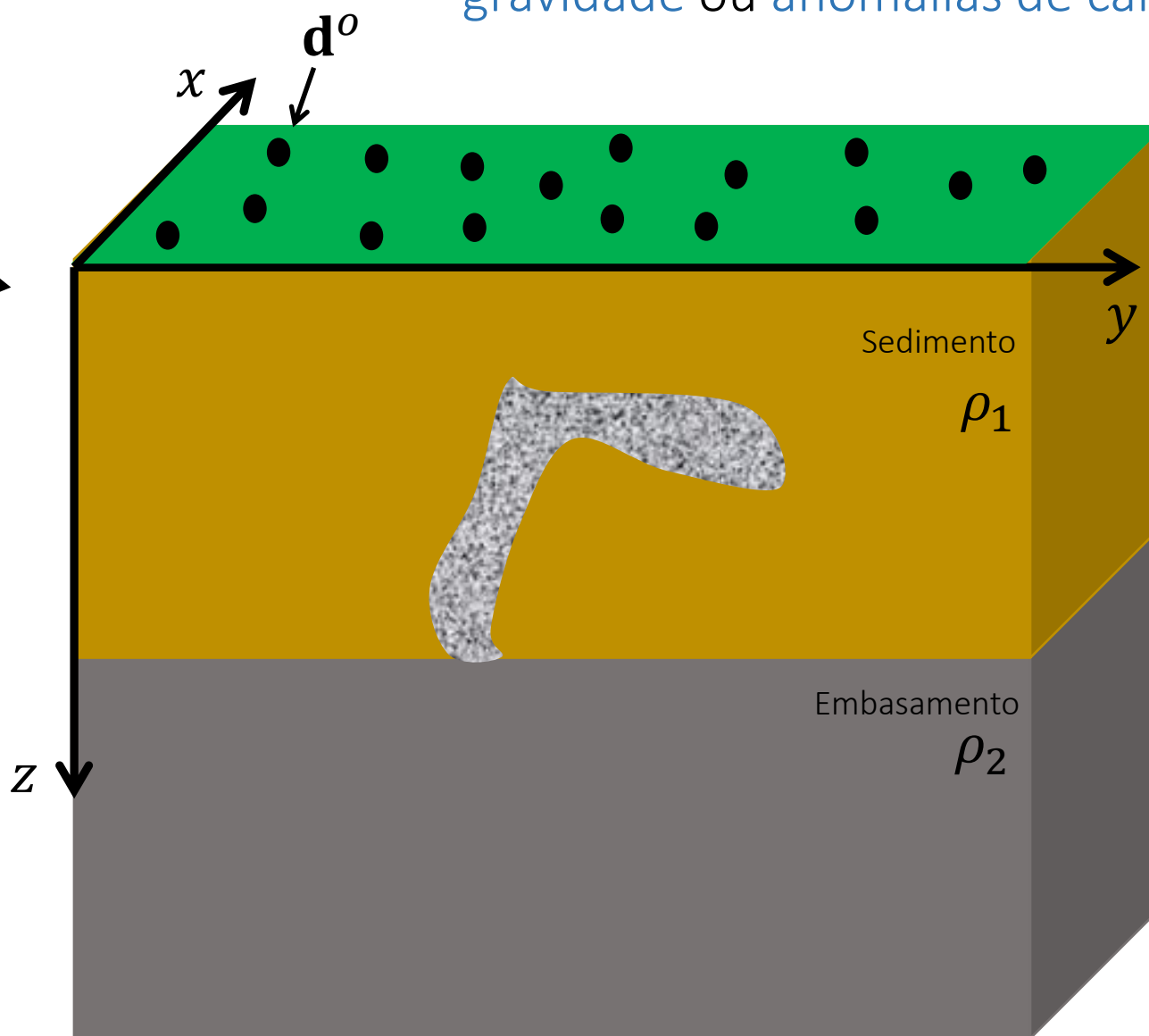
Um conjunto de dados observados, que podem ser dados de **distúrbio de gravidade** ou **anomalias de campo total**



Como funciona isso?

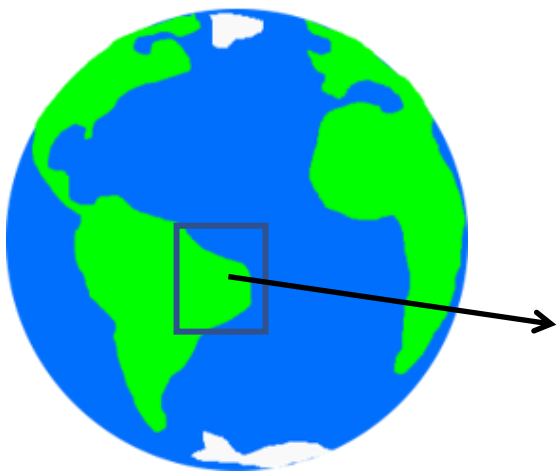


Um conjunto de dados observados, que podem ser dados de **distúrbio de gravidade** ou **anomalias de campo total**



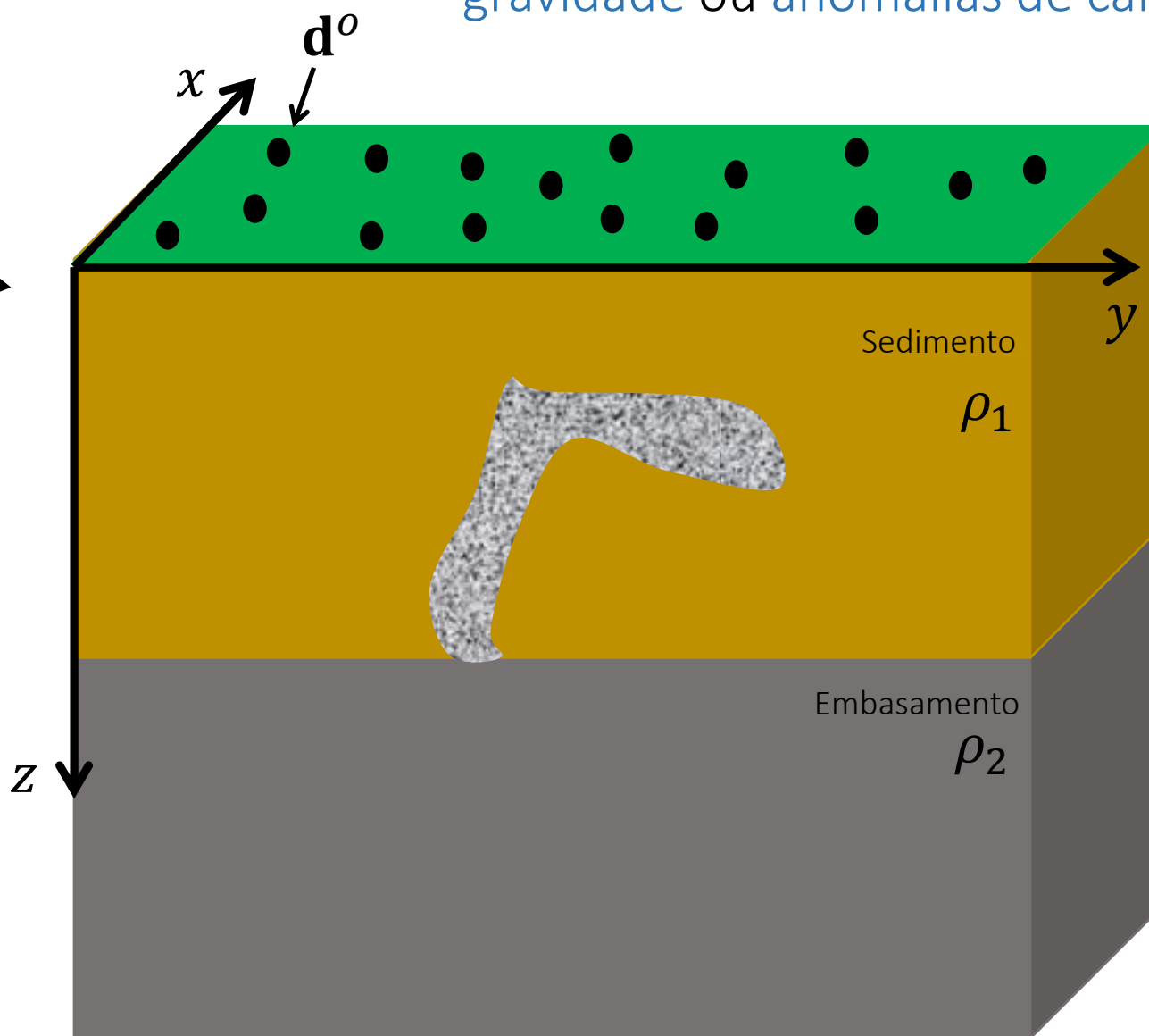
A partir destas medições podemos estimar **as propriedades físicas** da fonte geológica, ou até mesmo **a sua geometria**.

Como funciona isso?



Para esta finalidade, precisamos **formalizar matematicamente** o processo de inversão.

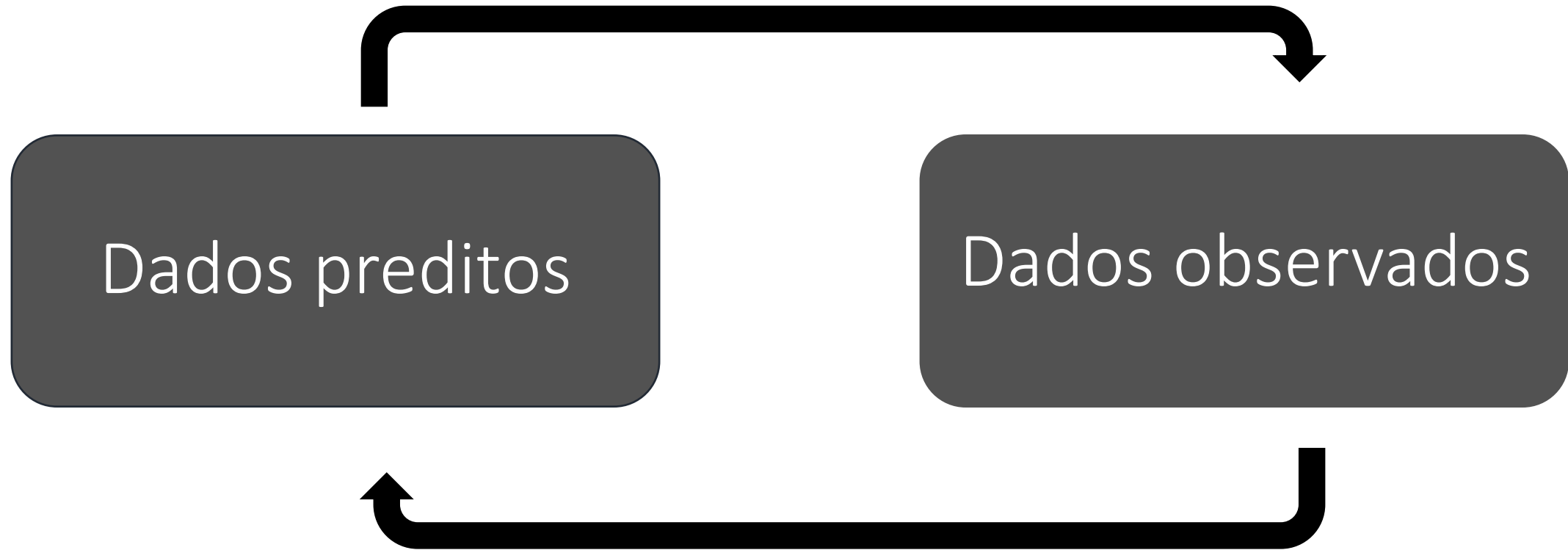
Um conjunto de dados observados, que podem ser dados de **distúrbio de gravidade** ou **anomalias de campo total**



A partir destas medições podemos estimar **as propriedades físicas** da fonte geológica, ou até mesmo **a sua geometria**.

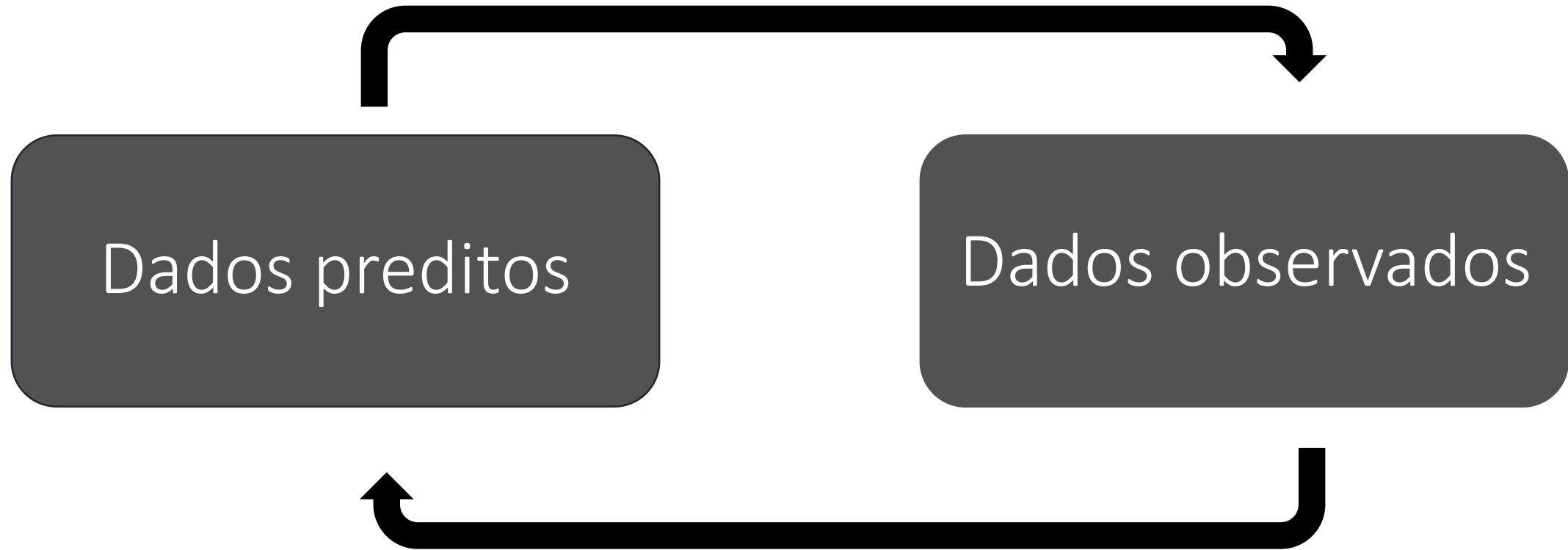
Formulação matemática de um problema inverso

Problema direto: *“Sintoniza” manualmente* o conjunto de parâmetros e compara com os dados observados.



Problema inverso: *estima automaticamente* o conjunto de parâmetros a partir dos dados observados.

Problema direto: *"Sintoniza" manualmente* o conjunto de parâmetros e compara com os dados observados.



Problema inverso: *estima automaticamente* o conjunto de parâmetros a partir dos dados observados.

Problema direto: *"Sintoniza" manualmente* o conjunto de parâmetros e compara com os dados observados.

Dados observados:
dados *medidos* na
superfície da Terra.

Dados preditos

d^o
Dados observados

Problema inverso: *estima automaticamente* o conjunto de parâmetros a partir dos dados observados.

Problema direto: *“Sintoniza” manualmente* o conjunto de parâmetros e compara com os dados observados.

Dados observados: dados *medidos* na superfície da Terra.

$$\mathbf{d}^p = f(\mathbf{p})$$

Dados preditos

\mathbf{d}^o

Dados observados

Dados preditos: dados gerados pelo modelo, que é dada pela *relação física e matemática* do problema a ser resolvido.

Problema inverso: *estima automaticamente* o conjunto de parâmetros a partir dos dados observados.

Problema direto: *"Sintoniza" manualmente* o conjunto de parâmetros e compara com os dados observados.

Vetor de parâmetros:
conjunto de variáveis que
descrevem o modelo.

Dados observados:
dados *medidos* na
superfície da Terra.

$$\mathbf{d}^p = f(\mathbf{p})$$

Dados preditos

$$\mathbf{d}^o$$

Dados observados

Dados preditos: dados
gerados pelo modelo, que
é dada pela *relação física e
matemática* do problema
a ser resolvido.

Problema inverso: *estima automaticamente* o conjunto de parâmetros a partir dos dados observados.

Problema direto: *"Sintoniza" manualmente* o conjunto de parâmetros e compara com os dados observados.

Vetor de parâmetros:
conjunto de variáveis que
descrevem o modelo.

Dados observados:
dados *medidos* na
superfície da Terra.

$$\mathbf{d}^p = f(\mathbf{p})$$

Dados preditos

$$\mathbf{d}^o$$

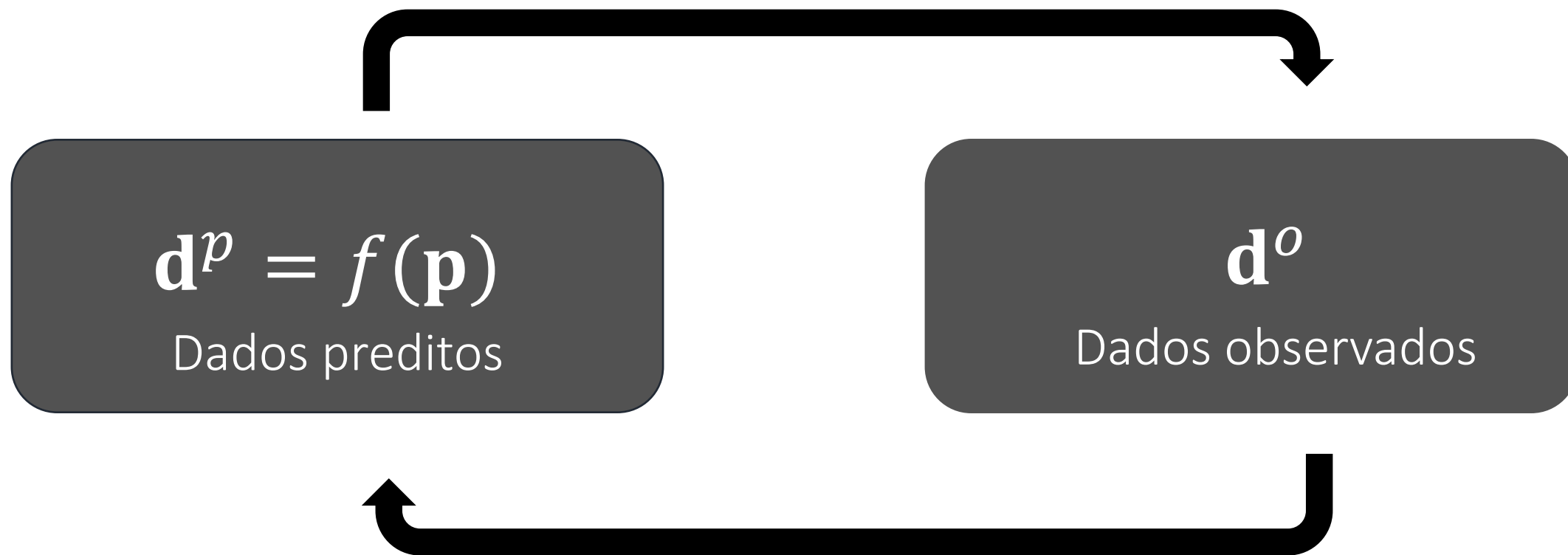
Dados observados

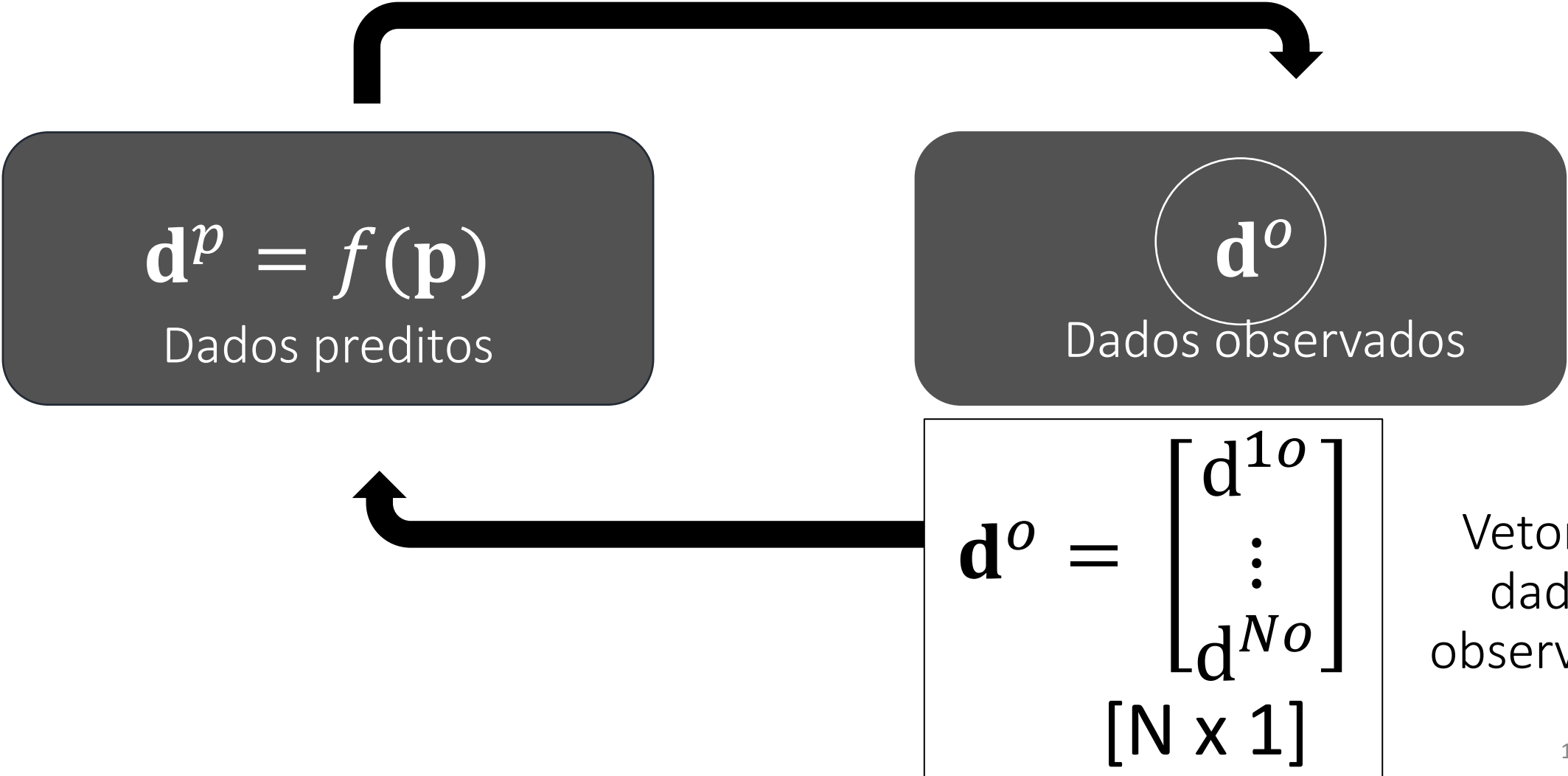
Dados preditos: dados
gerados pelo modelo, que
é dada pela *relação física e
matemática* do problema
a ser resolvido.

Problema inverso: *estima automaticamente* o conjunto de parâmetros a partir dos dados observados.

Linear

Não linear




$$\mathbf{d}^p = f(\mathbf{p})$$

Dados preditos

$$\mathbf{d}^o$$

Dados observados

$$\mathbf{d}^o = \begin{bmatrix} d^{1o} \\ \vdots \\ d^{No} \end{bmatrix}$$
$$[N \times 1]$$

Vetor de
dados
observados

$$\mathbf{d}^p = \begin{bmatrix} d^{1p} \\ \vdots \\ d^{Np} \end{bmatrix}$$

$[N \times 1]$

Vetor de dados
preditos



$$\mathbf{d}^p = f(\mathbf{p})$$

Dados preditos

\mathbf{d}^o

Dados observados

$$\mathbf{d}^o = \begin{bmatrix} d^{1o} \\ \vdots \\ d^{No} \end{bmatrix}$$

$[N \times 1]$

Vetor de
dados
observados



$$\mathbf{d}^p = \begin{bmatrix} d^{1p} \\ \vdots \\ d^{Np} \end{bmatrix}$$

$[N \times 1]$

Vetor de dados
preditos



$$\mathbf{d}^p = f(\mathbf{p})$$

Dados preditos

$$\mathbf{p} = \begin{bmatrix} p^1 \\ \vdots \\ p^M \end{bmatrix}$$

$[M \times 1]$

Vetor de
parâmetros

$$\mathbf{d}^o = \begin{bmatrix} d^{1o} \\ \vdots \\ d^{No} \end{bmatrix}$$

$[N \times 1]$

Vetor de
dados
observados



$$\mathbf{d}^o$$

Dados observados

O que procuramos na inversão é um conjunto de parâmetros que minimize a distância entre o vetor de dados preditos e o vetor de dados observados!

O que procuramos na inversão é um conjunto de parâmetros que minimize a distância entre o vetor de dados preditos e o vetor de dados observados!

Este processo é realizado através de um processo de otimização, no qual minimizamos uma função que mede a norma Euclidiana entre os dois vetores.

O que procuramos na inversão é um conjunto de parâmetros que minimize a distância entre o vetor de dados preditos e o vetor de dados observados!

$$\psi(\mathbf{p}) = \|\mathbf{d}^o - f(\mathbf{p})\|_2^2$$

Função de ajuste

Função de ajuste

$$\psi(\mathbf{p}) = \|\mathbf{d}^o - f(\mathbf{p})\|_2^2$$

Função de ajuste

$$\psi(\mathbf{p}) = \|\mathbf{d}^o - f(\mathbf{p})\|_2^2$$

Minimizar esta função quer dizer que:

$$\nabla\psi(\mathbf{p}) = 0$$

Tomarmos o **gradiente** desta função e igualarmos a **zero**.

Função de ajuste

$$\psi(\mathbf{p}) = \|\mathbf{d}^o - f(\mathbf{p})\|_2^2$$

Minimizar esta função quer dizer que:

$$\nabla\psi(\mathbf{p}) = 0$$

$$\nabla\psi(\mathbf{p}) = \begin{bmatrix} \partial_{p^1}\psi(\mathbf{p}) \\ \vdots \\ \partial_{p^M}\psi(\mathbf{p}) \end{bmatrix}$$

Função de ajuste

$$\psi(\mathbf{p}) = \|\mathbf{d}^o - f(\mathbf{p})\|_2^2$$

Uma vez que esta função é minimizada:

Função de ajuste

$$\psi(\mathbf{p}) = \|\mathbf{d}^o - f(\mathbf{p})\|_2^2$$

Uma vez que esta função é minimizada:

$$(\mathbf{G}^T \mathbf{G}) \mathbf{p}^\# = \mathbf{G}^T \mathbf{d}^o$$

Estimador de mínimos quadrados (Linear)

Função de ajuste

$$\psi(\mathbf{p}) = \|\mathbf{d}^o - f(\mathbf{p})\|_2^2$$

Uma vez que esta função é minimizada:

$$(\mathbf{G}^T \mathbf{G}) \mathbf{p}^\# = \mathbf{G}^T \mathbf{d}^o$$

Estimador de mínimos quadrados (Linear)


$$(\mathbf{G}^{kT} \mathbf{G}^k) \Delta \mathbf{p}^k = \mathbf{G}^{kT} [\mathbf{d}^o - f(\mathbf{p}^k)]$$

Método de Gauss-Newton (Não linear)

Função de ajuste


$$\psi(\mathbf{p}) = \|\mathbf{d}^o - f(\mathbf{p})\|_2^2$$

Uma vez que esta função é minimizada:


$$(\mathbf{G}^T \mathbf{G}) \mathbf{p}^\# = \mathbf{G}^T \mathbf{d}^o$$

Matriz de sensibilidade: matriz de dimensão $N \times M$, que expressa a sensibilidade do i -ésimo dado predito em relação ao j -ésimo parâmetro do modelo.

Estimador de mínimos quadrados (Linear)


$$(\mathbf{G}^{kT} \mathbf{G}^k) \Delta \mathbf{p}^k = \mathbf{G}^{kT} [\mathbf{d}^o - f(\mathbf{p}^k)]$$

Método de Gauss-Newton (Não linear)

No entanto, devido a própria natureza do problema inverso, os dados não são suficientes para descrever os fenômenos físicos que surgem na Geofísica.

No entanto, devido a própria natureza do **problema inverso**, os dados **não** são suficientes para descrever **os fenômenos físicos** que surgem na **Geofísica**.

Por este motivo, dizemos que o problema é **mal-posto**. Ou seja, ele sofre com três fatores: **falta de unicidade**, **instabilidade** ou **inexistência da solução**.

Falta de unicidade: é a existência de diversos conjuntos de parâmetros que descrever um mesmo conjunto de dados

Falta de unicidade: é a existência de diversos conjuntos de parâmetros que descrever um mesmo conjunto de dados

Instabilidade: uma pequena perturbação nos dados gera conjuntos diferentes de parâmetros

Para contornar este problema devemos
adicionar mais informações ao nosso
problema inverso (i.e. informações a priori)

Para contornar este problema devemos adicionar mais informações ao nosso problema inverso (i.e. informações a priori)

Estas informações podem ser de origem matemática ou geológica, e isto é o que chamamos de regularização!

Função Objetivo

$$\Gamma(\mathbf{p}) = \psi(\mathbf{p}) + \mu\theta(\mathbf{p})$$

Função Objetivo

$$\Gamma(\mathbf{p}) = \psi(\mathbf{p}) + \mu\theta(\mathbf{p})$$

Somamos a função de ajuste o que chamamos de função regularizadora, em que μ é o que chamamos de parâmetro de regularização.

Função Objetivo

$$\Gamma(\mathbf{p}) = \psi(\mathbf{p}) + \mu\theta(\mathbf{p})$$

Exemplo: Regularização de Tikhonov de ordem 1
(Suavidade)

Função Objetivo

$$\Gamma(\mathbf{p}) = \psi(\mathbf{p}) + \mu\theta(\mathbf{p})$$

Exemplo: Regularização de Tikhonov de ordem 1
(Suavidade)

$$\theta(\mathbf{p}) = \mathbf{p}^T \mathbf{R}^T \mathbf{R} \mathbf{p}$$

Esta vínculo impõe que parâmetros adjacentes variem suavemente.

Função Objetivo

$$\Gamma(\mathbf{p}) = \psi(\mathbf{p}) + \mu\theta(\mathbf{p})$$

Uma vez que esta função é minimizada:

Função Objetivo

$$\Gamma(\mathbf{p}) = \psi(\mathbf{p}) + \mu\theta(\mathbf{p})$$

Uma vez que esta função é minimizada:

$$(\mathbf{G}^T \mathbf{G} + \mu \mathbf{R}^T \mathbf{R}) \mathbf{p}^\# = \mathbf{G}^T \mathbf{d}^o$$

Estimador de mínimos quadrados regularizado (Linear)

Função Objetivo

$$\Gamma(\mathbf{p}) = \psi(\mathbf{p}) + \mu\theta(\mathbf{p})$$

Uma vez que esta função é minimizada:

$$(\mathbf{G}^T \mathbf{G} + \mu \mathbf{R}^T \mathbf{R}) \mathbf{p}^\# = \mathbf{G}^T \mathbf{d}^o$$

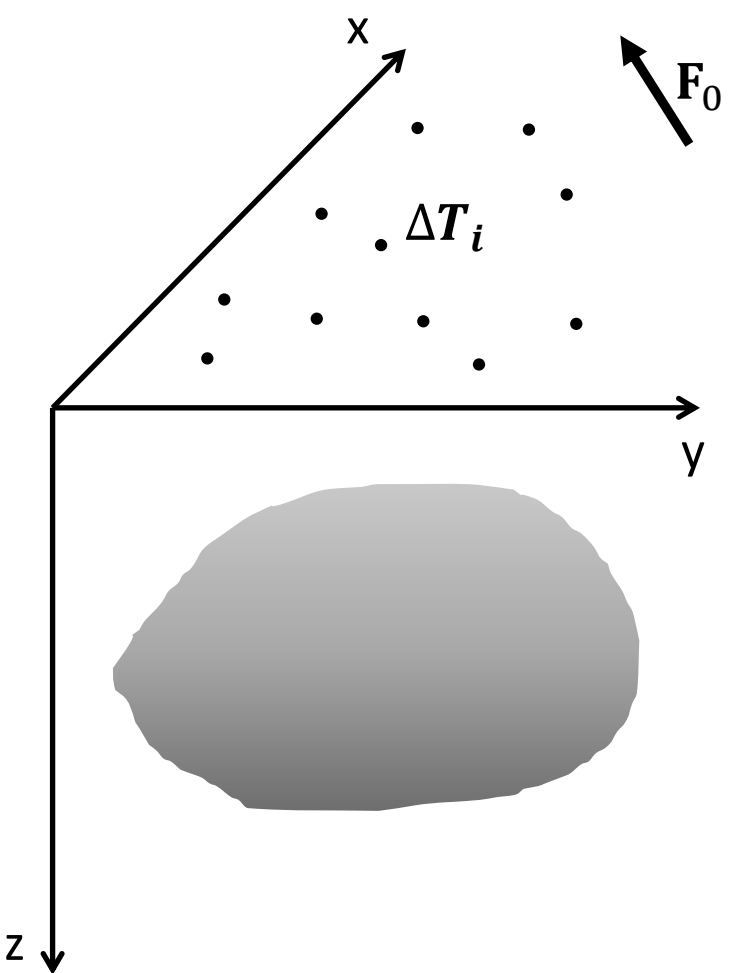
Estimador de mínimos quadrados regularizado (Linear)

$$(\mathbf{G}^{kT} \mathbf{G}^k + \mu \mathbf{R}^T \mathbf{R}) \Delta \mathbf{p}^k = \mathbf{G}^{kT} [\mathbf{d}^o - f(\mathbf{p}^k)] - \mu \mathbf{R}^T \mathbf{R} \mathbf{p}^k$$

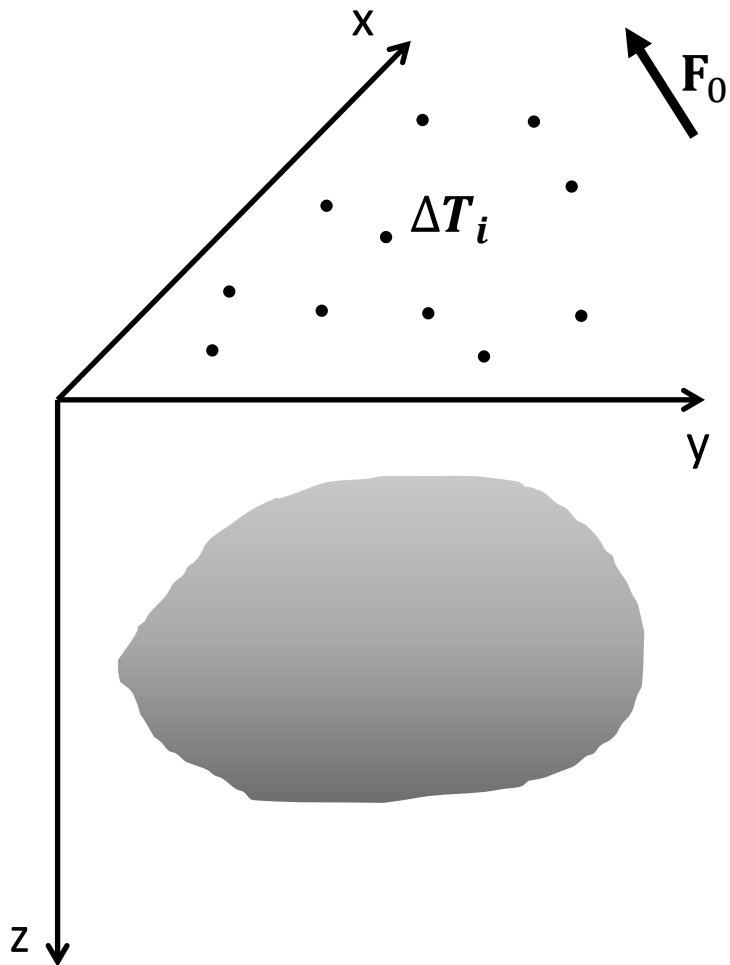
Método de Gauss-Newton regularizado (Não linear)

Estimativa da direção da magnetização total de corpos
aproximadamente esféricos

Fonte magnética 3D

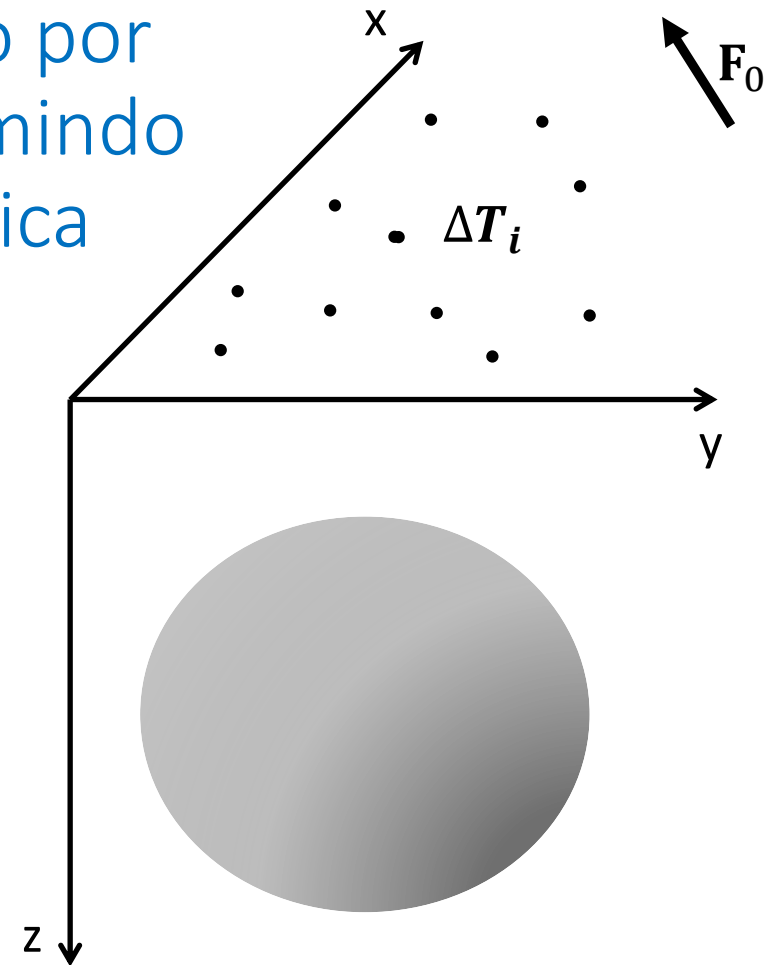


Fonte magnética 3D



Reproduzir o efeito gerado por
uma fonte magnética assumindo
que esta fonte seja esférica

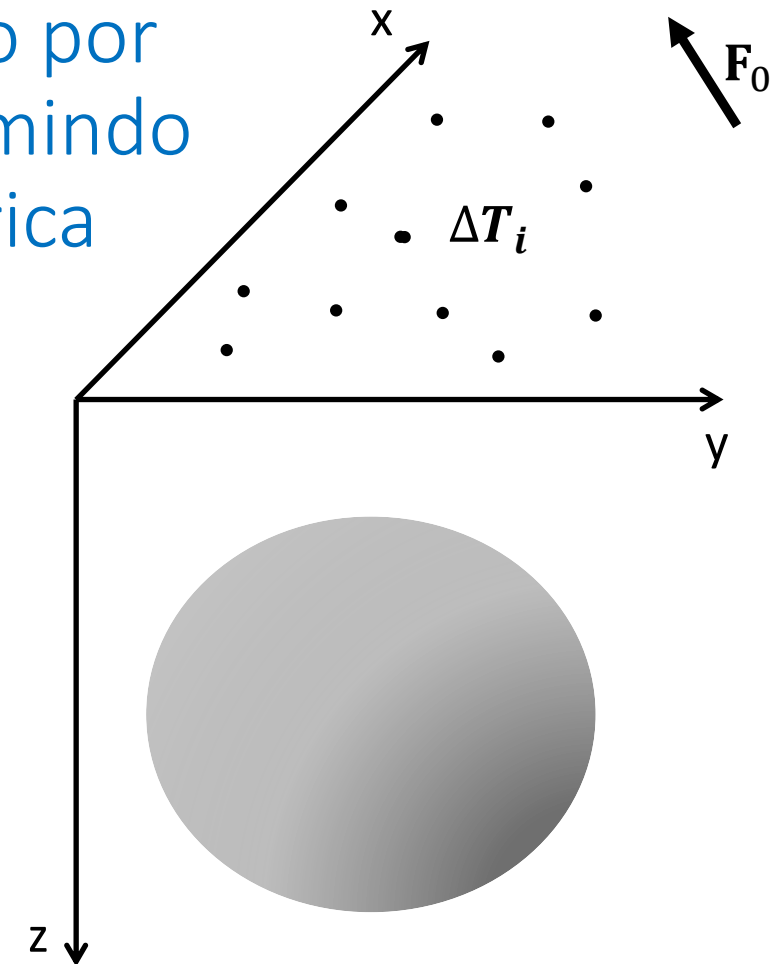
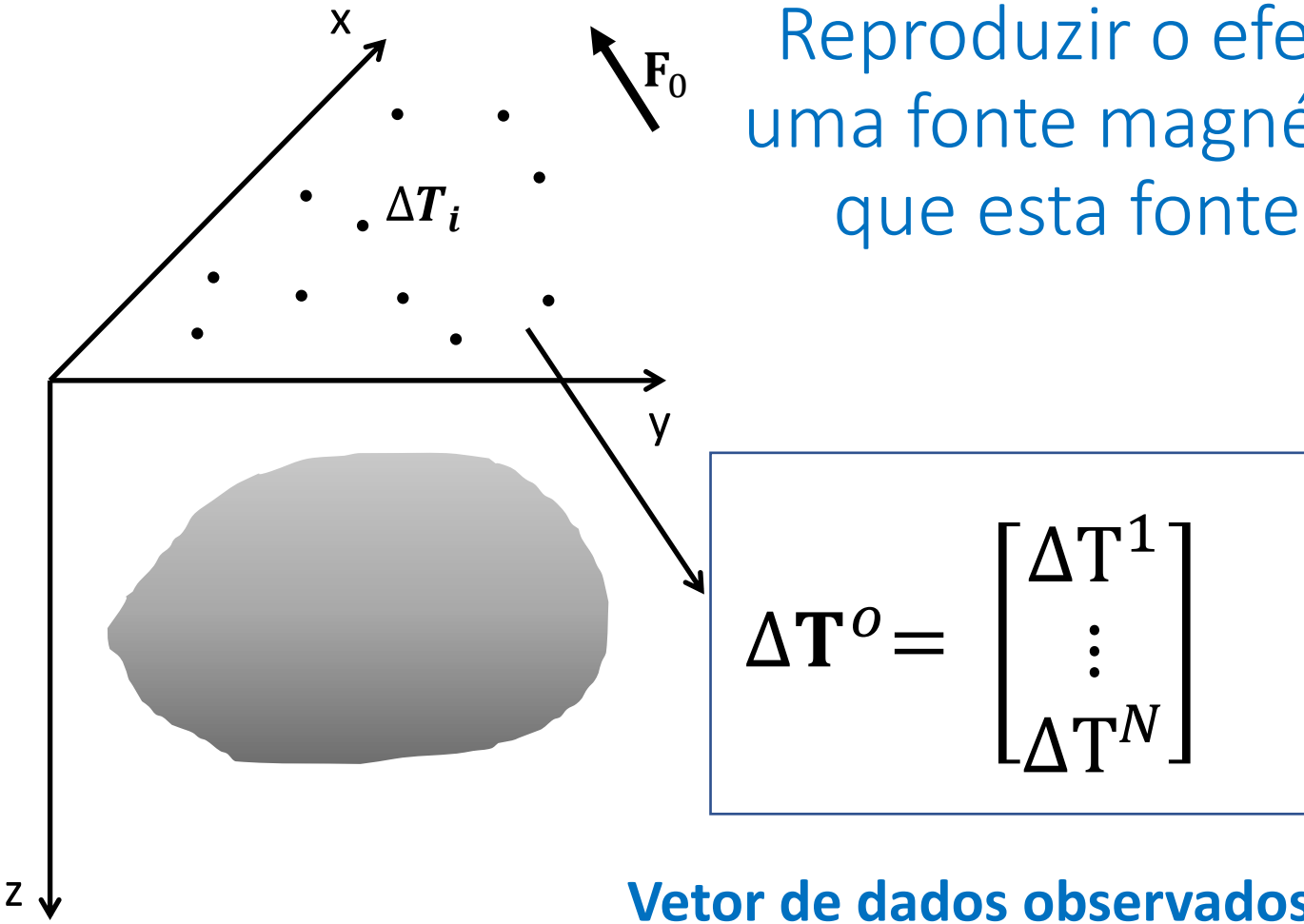
Modelo esférico



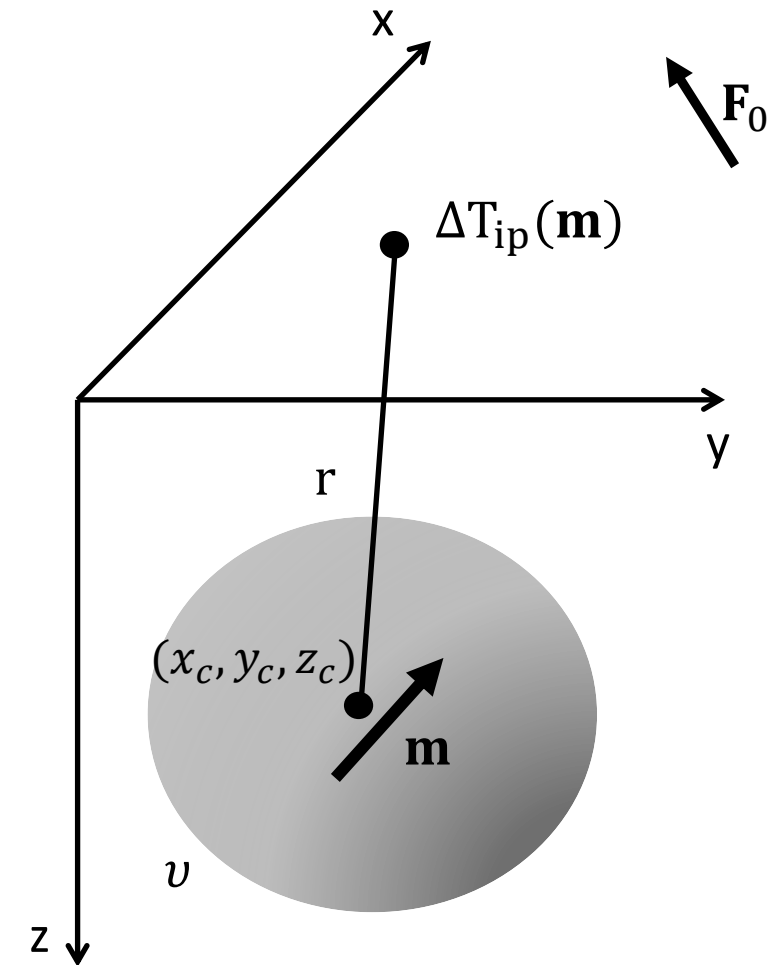
Fonte magnética 3D

Modelo esférico

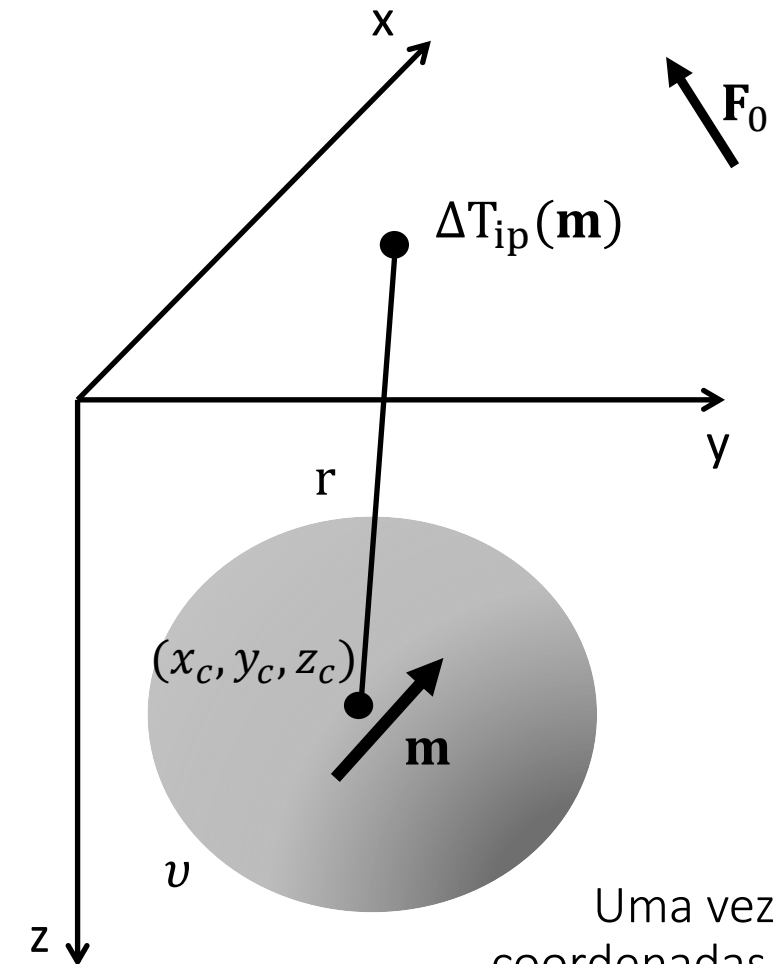
Reproduzir o efeito gerado por uma fonte magnética assumindo que esta fonte seja esférica



Modelo esférico



Modelo esférico



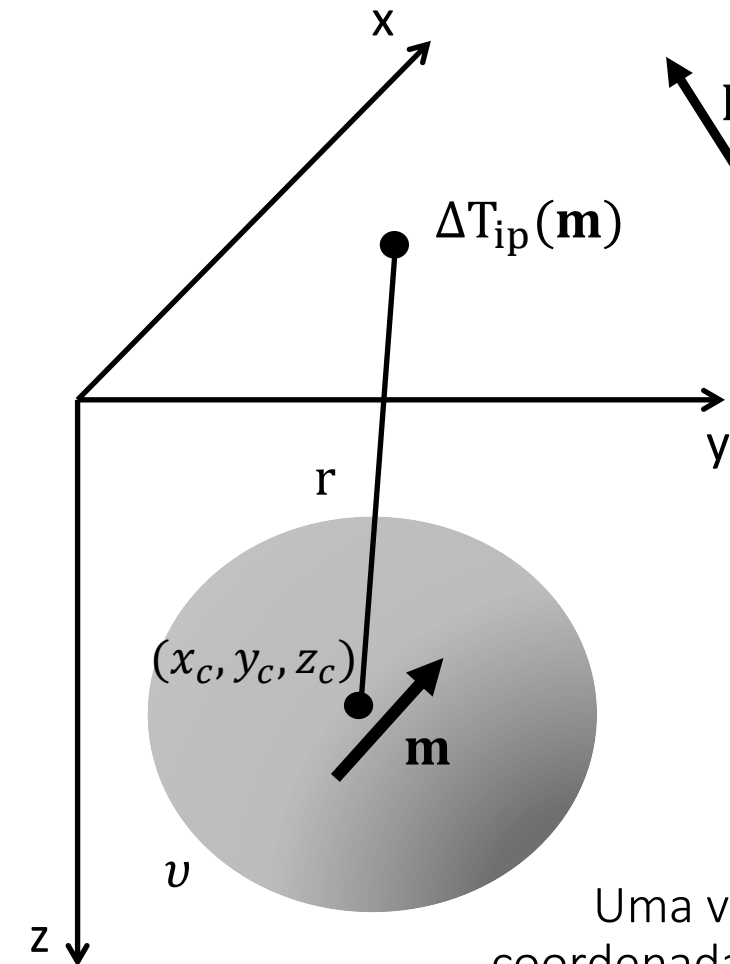
$$\mathbf{m} = \begin{bmatrix} m_x \\ m_y \\ m_z \end{bmatrix}$$

Vetor de dados preditos

Uma vez que estimamos a direção em coordenadas Cartesianas, conseguimos calcular a **inclinação**, **declinação** e **intensidade** do corpo

Modelo esférico

A **anomalia de campo total** gerada por uma esfera de volume **v** na i -ésima posição é dada por



Uma vez que estimamos a direção em coordenadas Cartesianas, conseguimos calcular a **inclinação**, **declinação** e **intensidade** do corpo

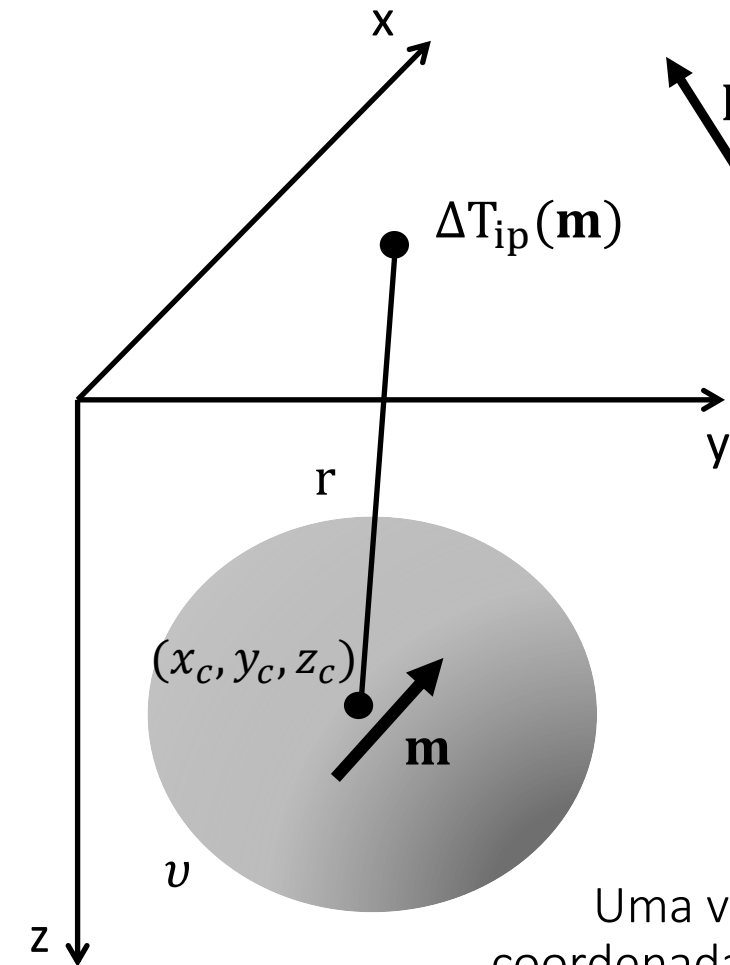
$$\mathbf{m} = \begin{bmatrix} m_x \\ m_y \\ m_z \end{bmatrix}$$

Vetor de dados preditos

Modelo esférico

A **anomalia de campo total** gerada por uma esfera de volume **v** na i -ésima posição é dada por

$$\Delta T_{ip}(\mathbf{m}) = \gamma_m v \hat{\mathbf{F}}_0^T \mathbf{M}_i \mathbf{m}$$



$$\mathbf{m} = \begin{bmatrix} m_x \\ m_y \\ m_z \end{bmatrix}$$

Vetor de dados preditos

Uma vez que estimamos a direção em coordenadas Cartesianas, conseguimos calcular a **inclinação**, **declinação** e **intensidade** do corpo

Modelo esférico

A **anomalia de campo total** gerada por uma esfera de volume **v** na i -ésima posição é dada por

$$\Delta T_{ip}(\mathbf{m}) = \gamma_m v \hat{\mathbf{F}}_0^T \mathbf{M}_i \mathbf{m}$$

em que

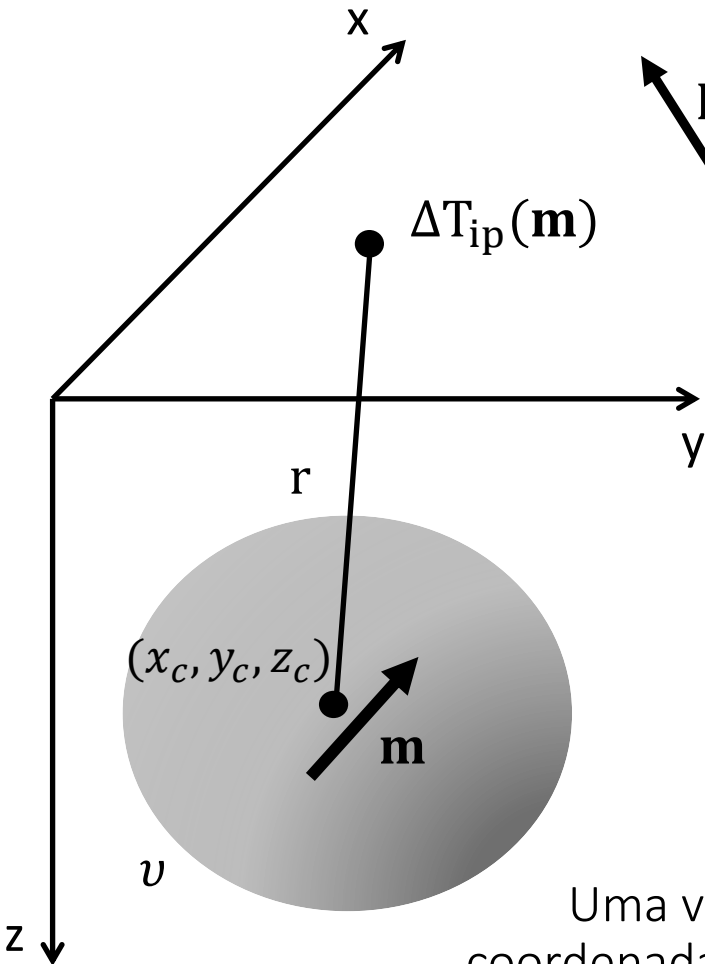
$$\hat{\mathbf{F}}_0 = \begin{bmatrix} \cos I_0 \sin D_0 \\ \cos I_0 \sin I_0 \\ \sin I_0 \end{bmatrix}$$

Direção do campo principal

Uma vez que estimamos a direção em coordenadas Cartesianas, conseguimos calcular a **inclinação**, **declinação** e **intensidade** do corpo

$$\mathbf{m} = \begin{bmatrix} m_x \\ m_y \\ m_z \end{bmatrix}$$

Vetor de dados preditos



Modelo esférico

A **anomalia de campo total** gerada por uma esfera de volume **v** na i -ésima posição é dada por

$$\Delta T_{ip}(\mathbf{m}) = \gamma_m v \hat{\mathbf{F}}_0^T \mathbf{M}_i \mathbf{m}$$

em que

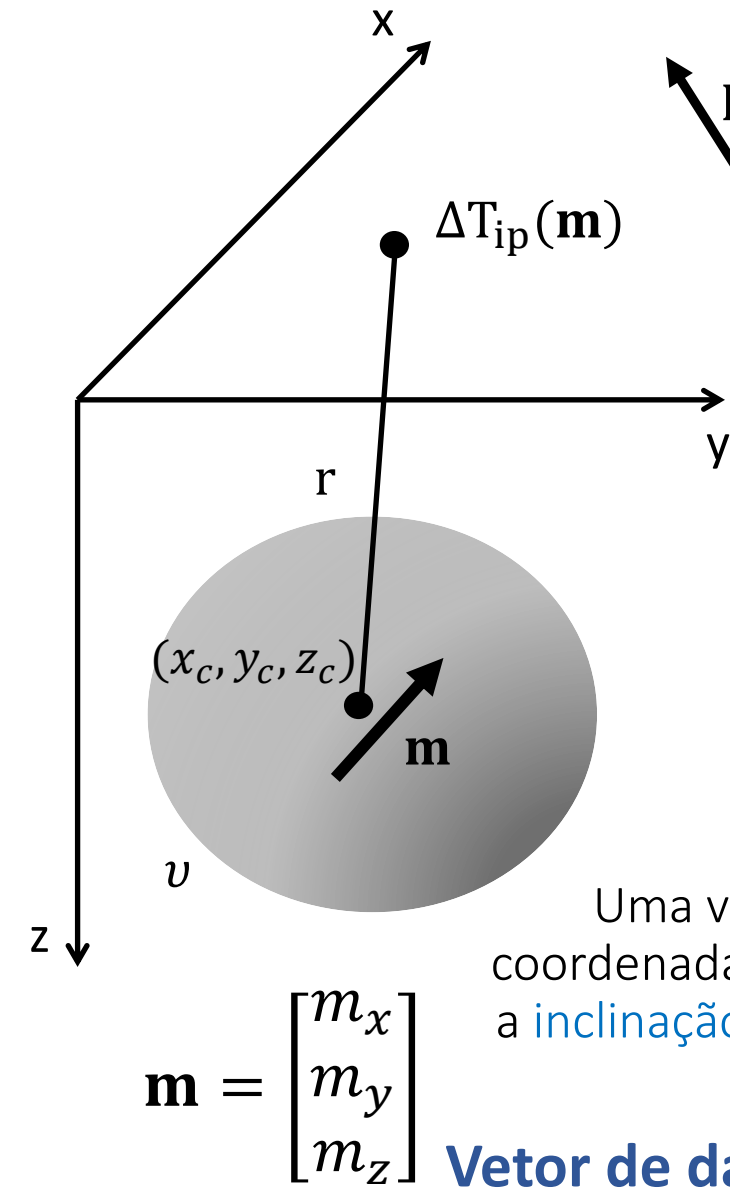
$$\hat{\mathbf{F}}_0 = \begin{bmatrix} \cos I_0 \sin D_0 \\ \cos I_0 \sin I_0 \\ \sin I_0 \end{bmatrix}$$

Direção do campo principal

$$\mathbf{M}_i = \begin{bmatrix} \partial_{xx} \frac{1}{r} & \partial_{xy} \frac{1}{r} & \partial_{xz} \frac{1}{r} \\ \partial_{yx} \frac{1}{r} & \partial_{yy} \frac{1}{r} & \partial_{yz} \frac{1}{r} \\ \partial_{zx} \frac{1}{r} & \partial_{zy} \frac{1}{r} & \partial_{zz} \frac{1}{r} \end{bmatrix}$$

$$\frac{1}{r} = \frac{1}{\sqrt{(x_i - x_c)^2 + (y_i - y_c)^2 + (z_i - z_c)^2}}$$

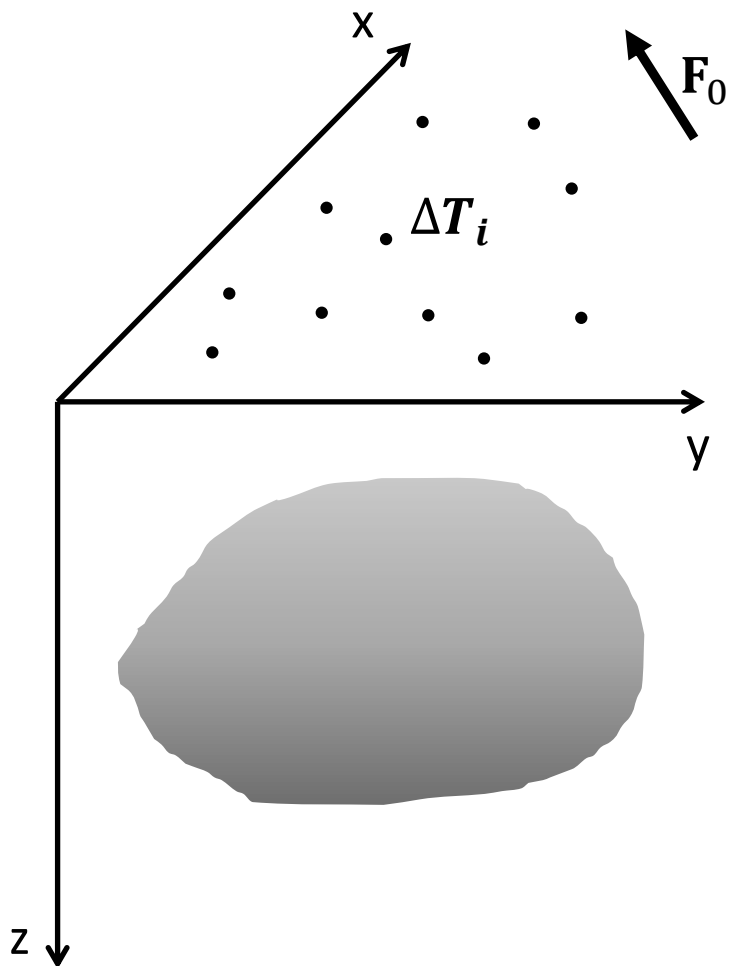
Depende das coordenadas do centro e da i -ésima posição de observação



Uma vez que estimamos a direção em coordenadas Cartesianas, conseguimos calcular a **inclinação**, **declinação** e **intensidade** do corpo

Vetor de dados preditos

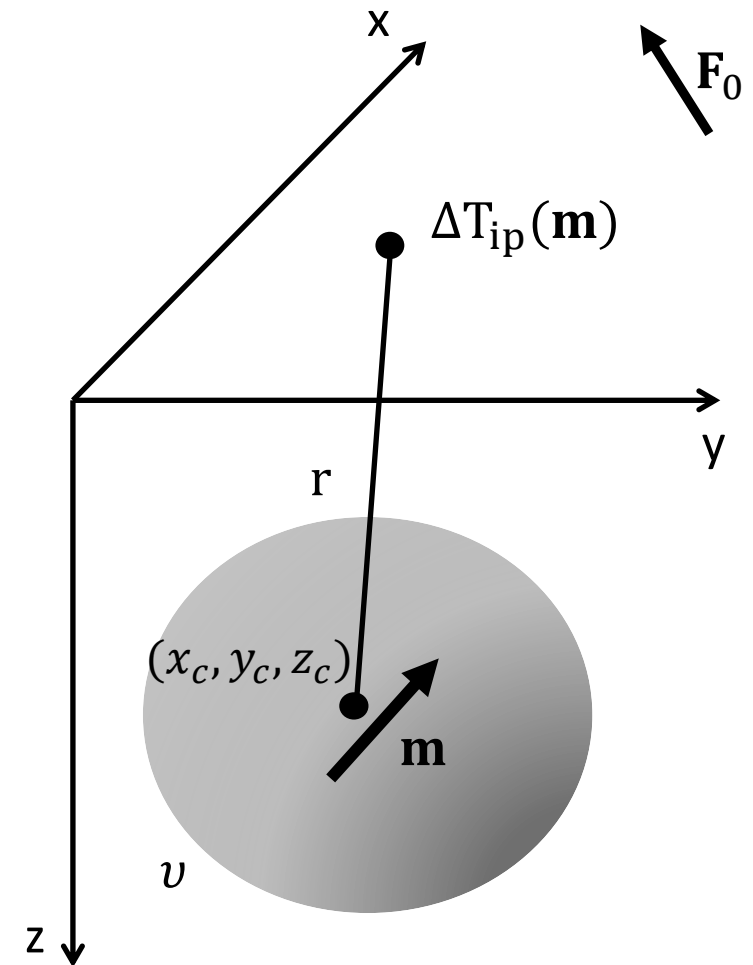
Fonte magnética 3D



ΔT^o

Vetor de dados
observados

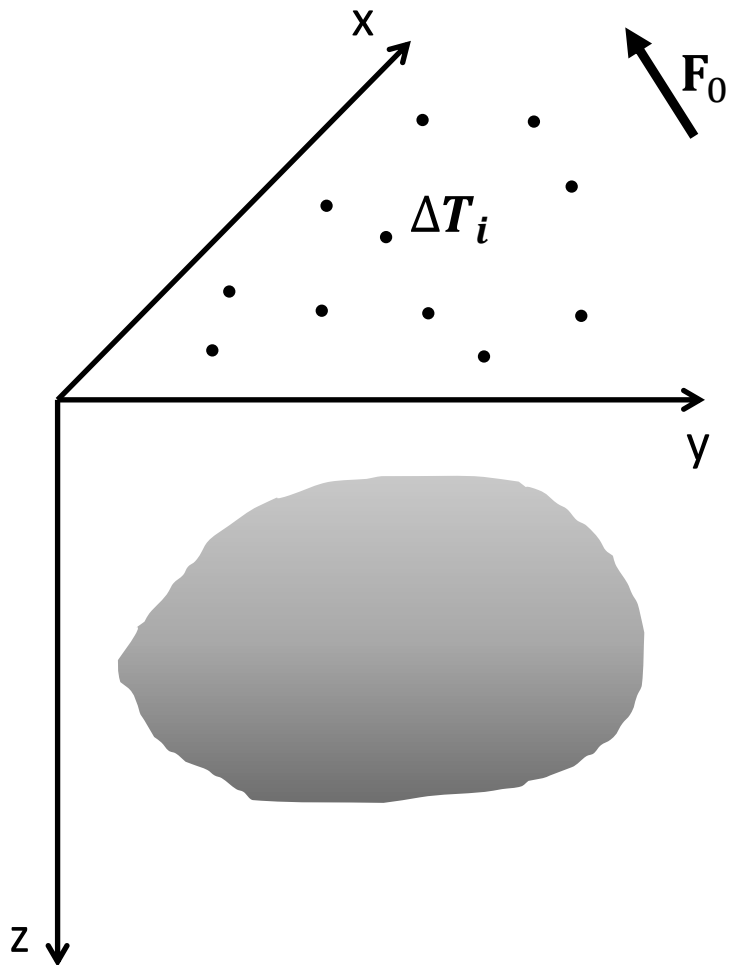
Modelo esférico



$\Delta T(m)$

Vetor de dados
preditos

Fonte magnética 3D

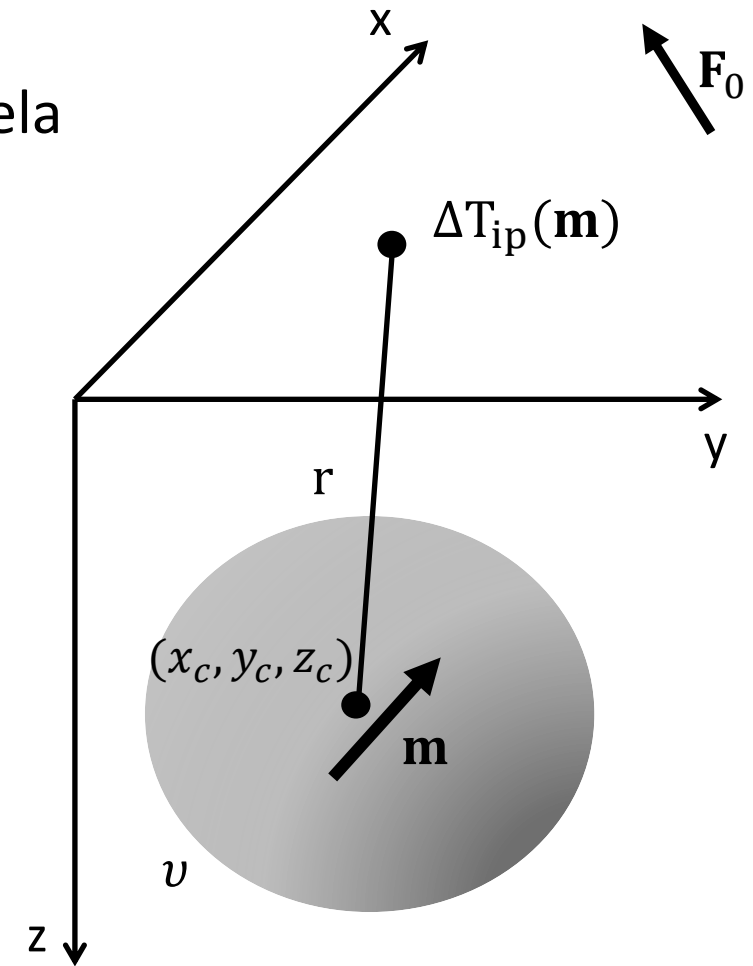


ΔT^o

Vetor de dados
observados

Queremos estimar uma **direção de magnetização** que minimiza a norma Euclidiana entre os **dados observados** e os **dados preditos** pela camada

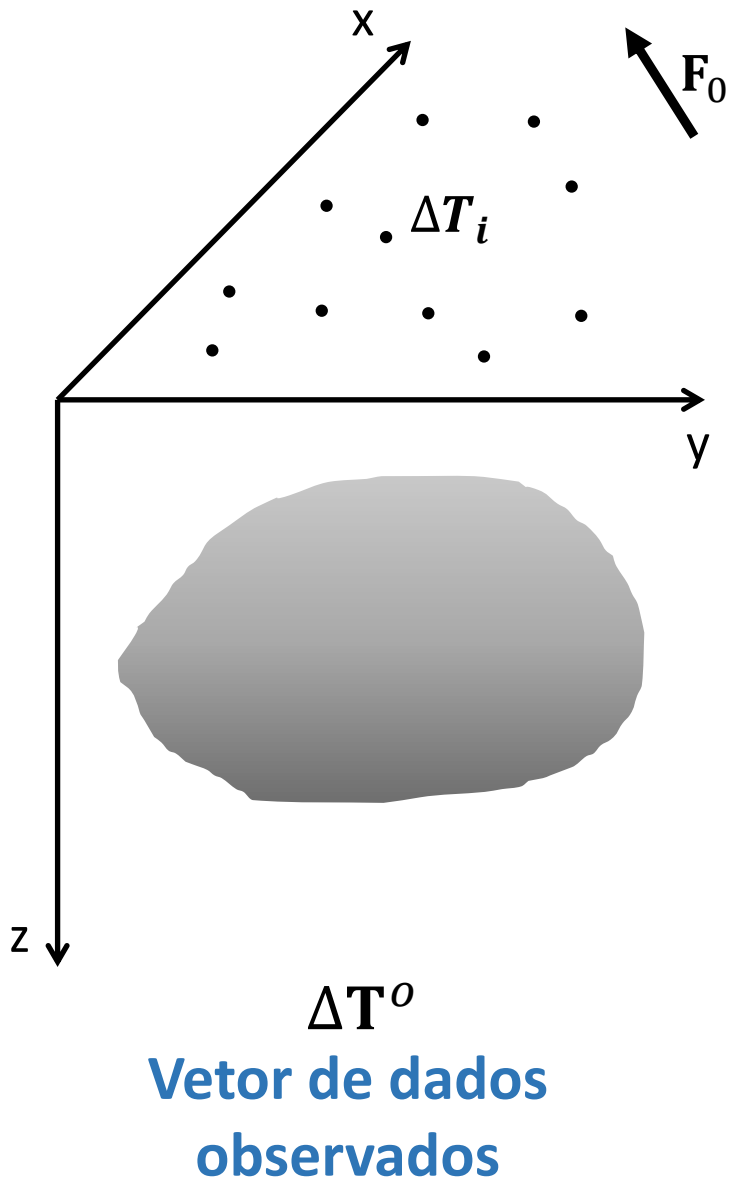
Modelo esférico



$\Delta T(m)$

Vetor de dados
preditos

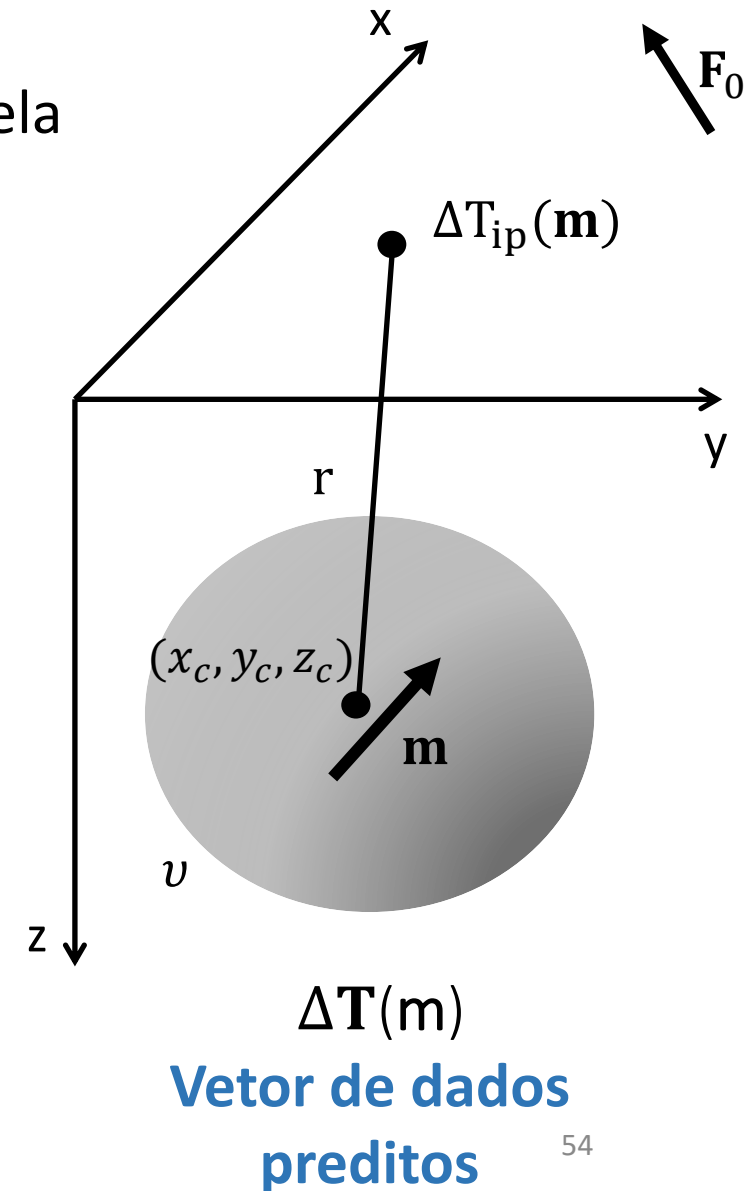
Fonte magnética 3D



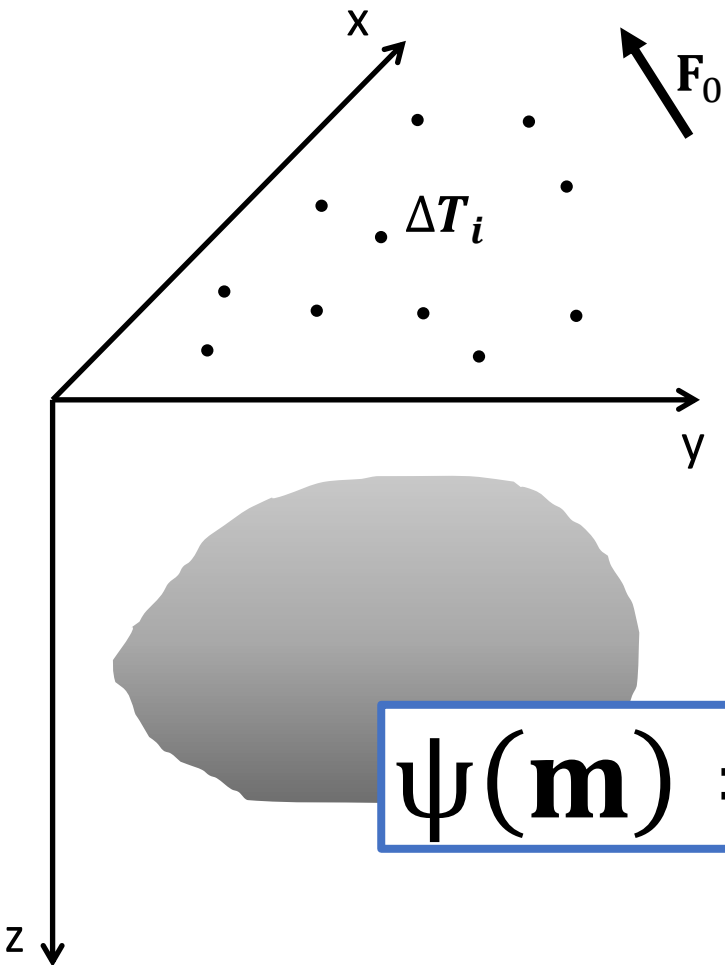
Queremos estimar uma **direção de magnetização** que minimiza a norma Euclidiana entre os **dados observados** e os **dados preditos** pela camada

Assumindo que sabemos a **posição do centro** da esfera!

Modelo esférico



Fonte magnética 3D



ΔT^o

Vetor de dados
observados

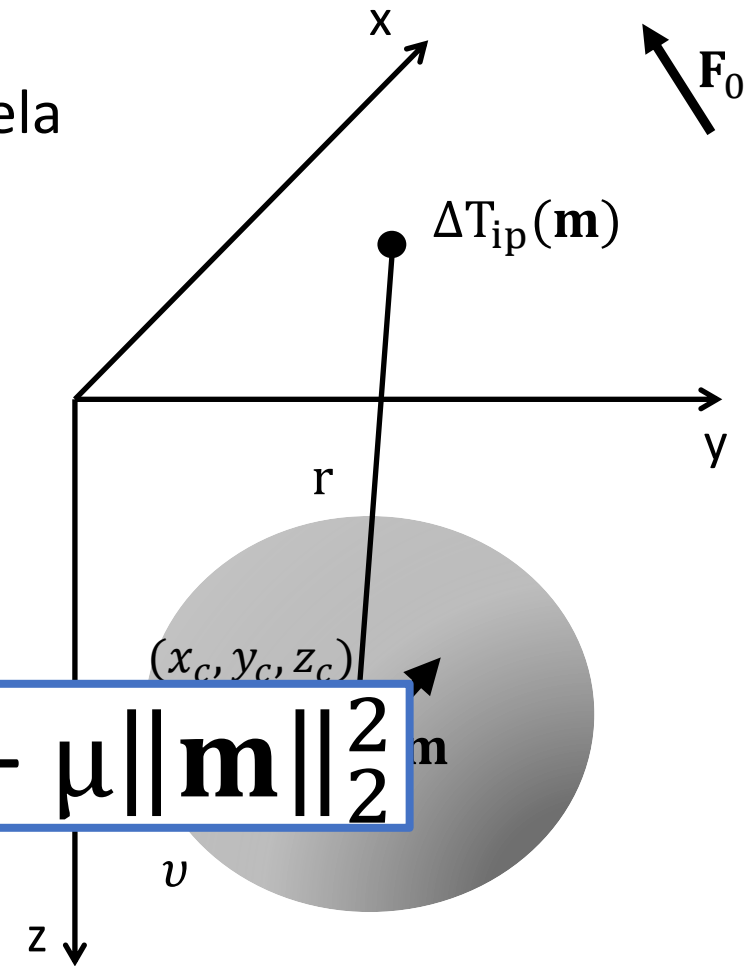
Queremos estimar uma **direção de magnetização** que minimiza a norma Euclidiana entre os **dados observados** e os **dados preditos** pela camada

Assumindo que sabemos a **posição do centro** da esfera!

Função objetivo

$$\psi(\mathbf{m}) = \|\Delta \mathbf{T}^o - \Delta \mathbf{T}(\mathbf{m})\|_2^2 + \mu \|\mathbf{m}\|_2^2$$

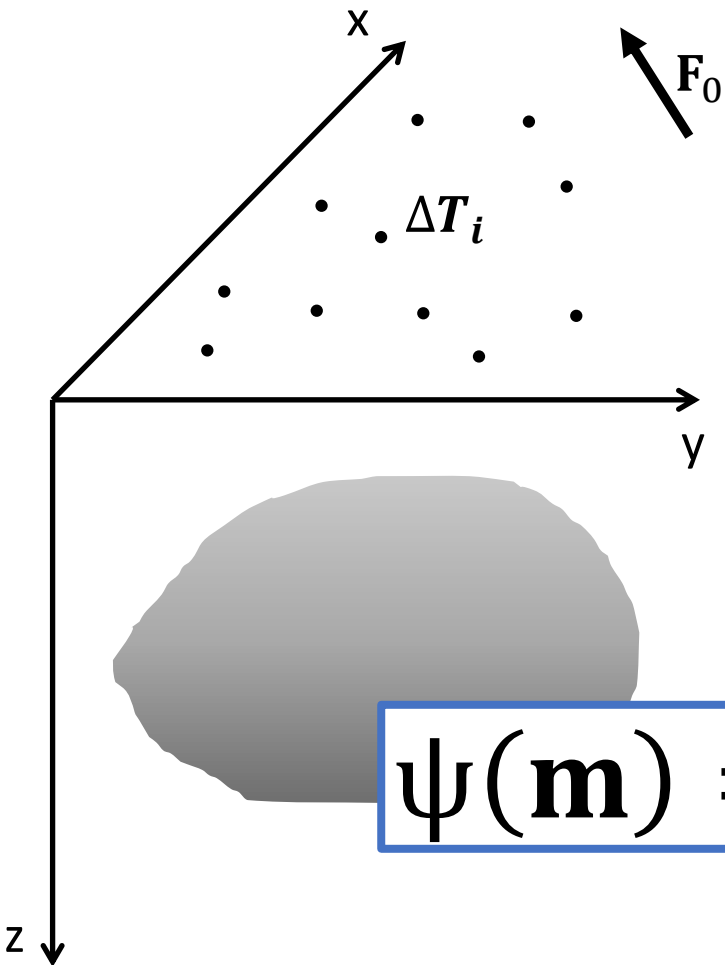
Modelo esférico



$\Delta \mathbf{T}(\mathbf{m})$

Vetor de dados
preditos

Fonte magnética 3D



ΔT^o

Vetor de dados
observados

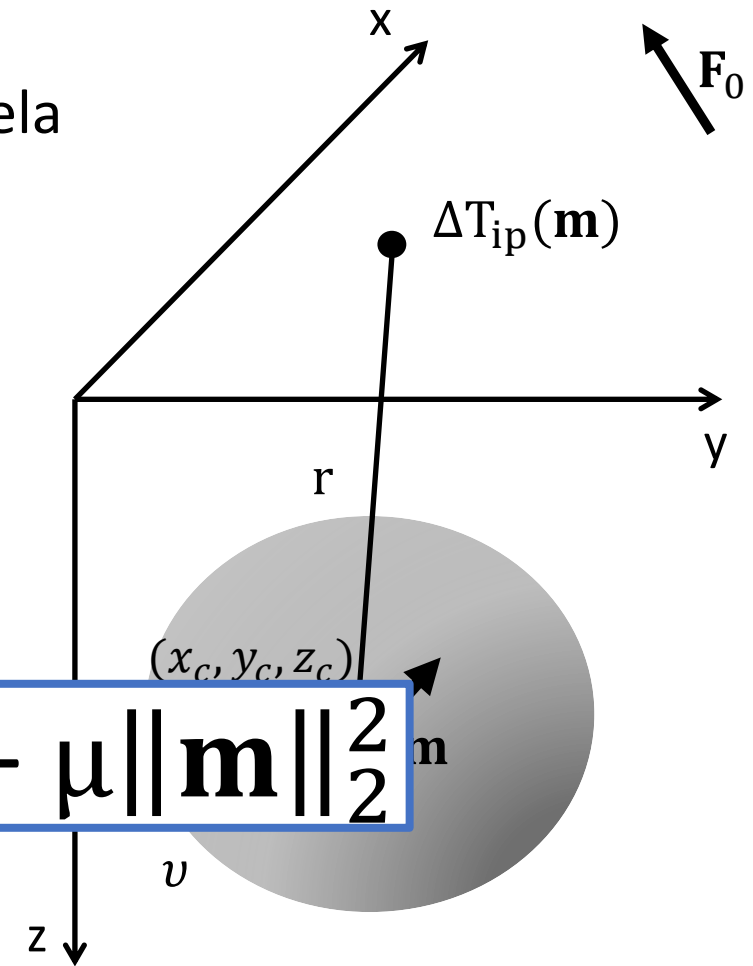
Queremos estimar uma **direção de magnetização** que minimiza a norma Euclidiana entre os **dados observados** e os **dados preditos** pela camada

Assumindo que sabemos a **posição do centro** da esfera!

Função de ajuste

$$\psi(\mathbf{m}) = \|\Delta \mathbf{T}^o - \Delta \mathbf{T}(\mathbf{m})\|_2^2 + \mu \|\mathbf{m}\|_2^2$$

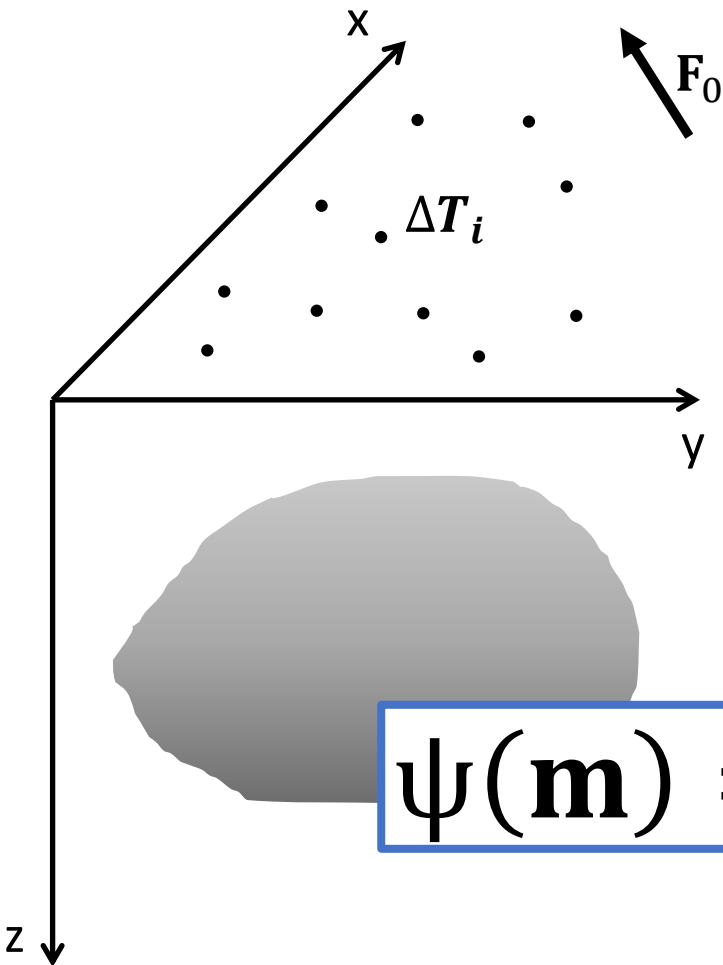
Modelo esférico



$\Delta \mathbf{T}(\mathbf{m})$

Vetor de dados
preditos

Fonte magnética 3D



ΔT^o

Vetor de dados
observados

Queremos estimar uma **direção de magnetização** que minimiza a norma Euclidiana entre os **dados observados** e os **dados preditos** pela camada

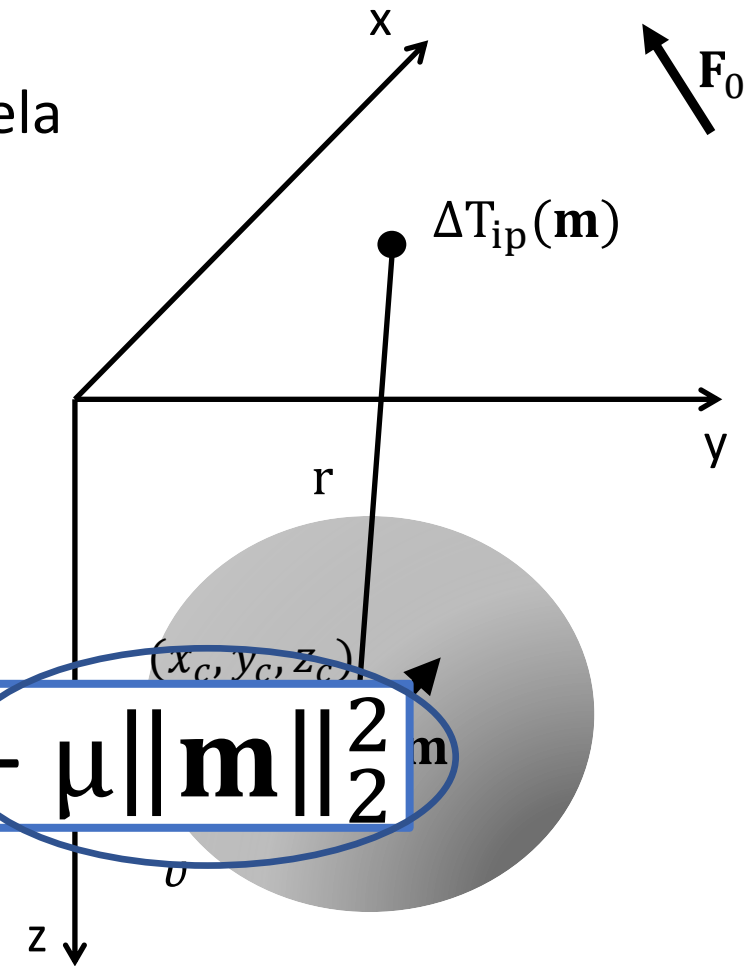
Assumindo que sabemos a **posição do centro** da esfera!

Função regularizadora

$$\psi(\mathbf{m}) = \|\Delta \mathbf{T}^o - \Delta \mathbf{T}(\mathbf{m})\|_2^2 + \mu \|\mathbf{m}\|_2^2$$

Tikhonov de ordem 0

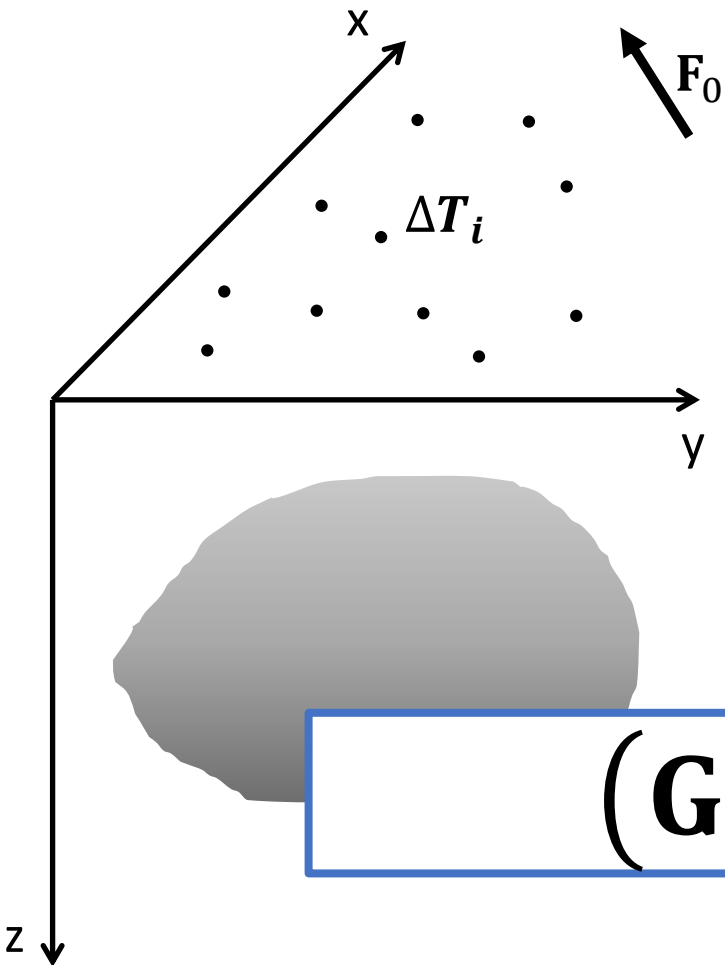
Modelo esférico



$\Delta \mathbf{T}(\mathbf{m})$

Vetor de dados
preditos

Fonte magnética 3D



ΔT^o
Vetor de dados
observados

Queremos estimar uma **direção de magnetização** que minimiza a norma Euclidiana entre os **dados observados** e os **dados preditos** pela camada

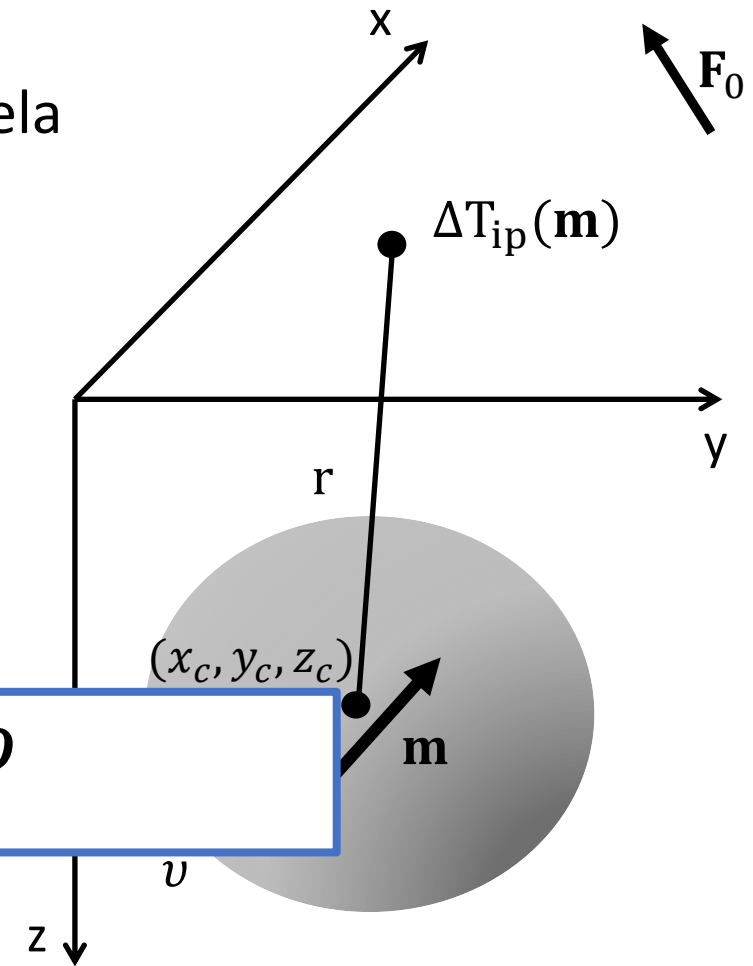
Assumindo que sabemos a **posição do centro** da esfera!

Resolvendo...

$$(\mathbf{G}^T \mathbf{G} + \mu \mathbf{I}) \bar{\mathbf{m}} = \mathbf{G}^T \Delta \mathbf{T}^o$$

Estimador de mínimos quadrados
regularizado

Modelo esférico



$\Delta \mathbf{T}(\mathbf{m})$
Vetor de dados
preditos

Simulação numérica

Simulação numérica

Simulação numérica

Esfera com centro nas coordenadas $(0,0,200)$
e com raio igual a 80 m.

$$h = 100 \text{ m}$$

$$(Nx, Ny) = (100, 50)$$

$$(dx, dy) = (20, 40)$$

Simulação numérica

Esfera com centro nas coordenadas (0,0,200)
e com raio igual a 80 m.

$$h = 100 \text{ m}$$

$$(Nx, Ny) = (100, 50)$$

$$(dx, dy) = (20, 40)$$

$$(I_0, D_0) = (-15^\circ, -15^\circ)$$

**Direção do campo
geomagnético**

$$(I, D) = (-40^\circ, -50^\circ)$$

**Direção de
magnetização
verdadeira**

Simulação numérica

Esfera com centro nas coordenadas (0,0,200)
e com raio igual a 80 m.

$$h = 100 \text{ m}$$

$$(Nx, Ny) = (100, 50)$$

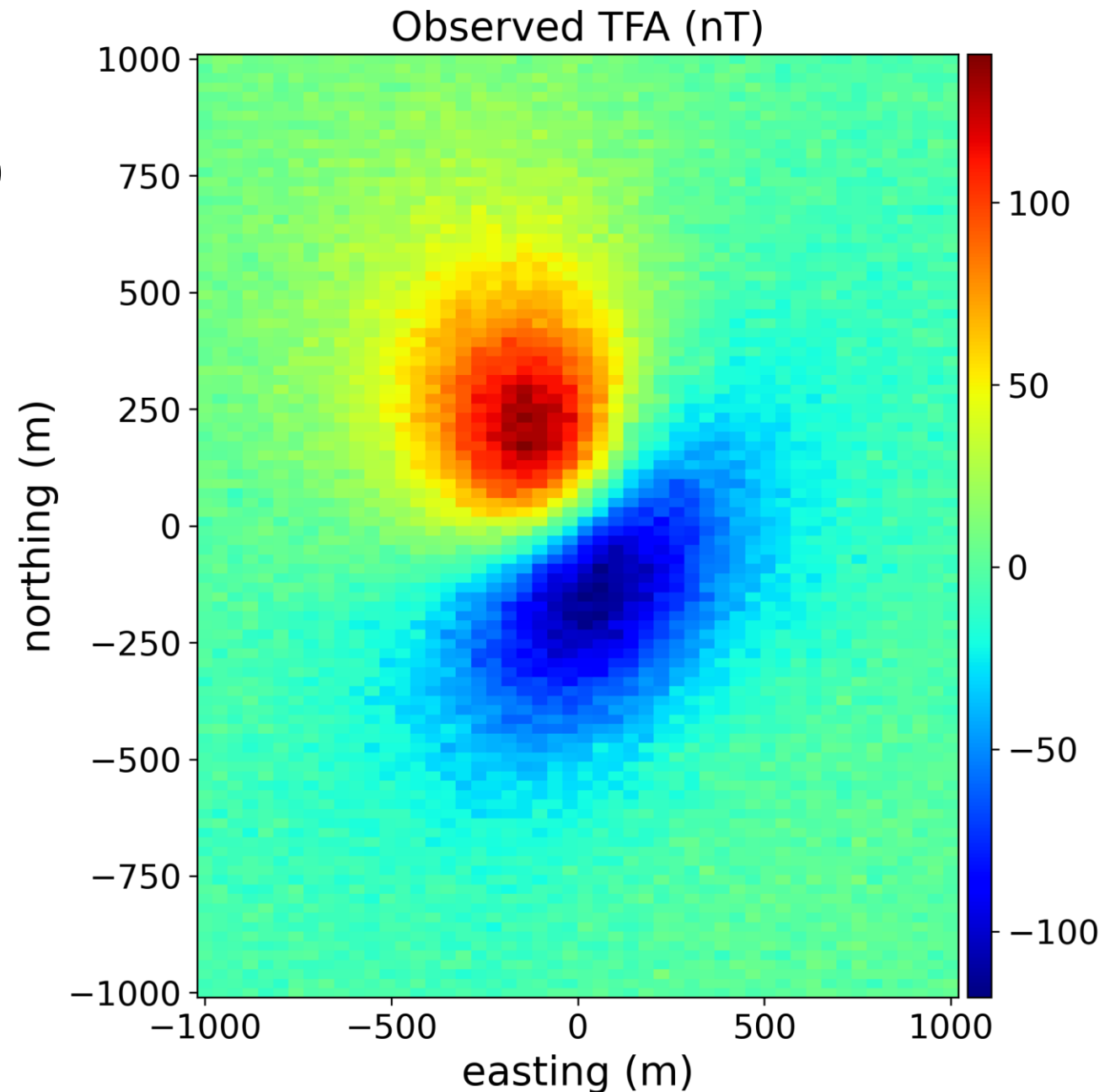
$$(dx, dy) = (20, 40)$$

$$(I_0, D_0) = (-15^\circ, -15^\circ)$$

**Direção do campo
geomagnético**

$$(I, D) = (-40^\circ, -50^\circ)$$

**Direção de
magnetização
verdadeira**



Simulação numérica

Esfera com centro nas coordenadas (0,0,200)
e com raio igual a 80 m.

$$h = 100 \text{ m}$$

$$(Nx, Ny) = (100, 50)$$

$$(dx, dy) = (20, 40)$$

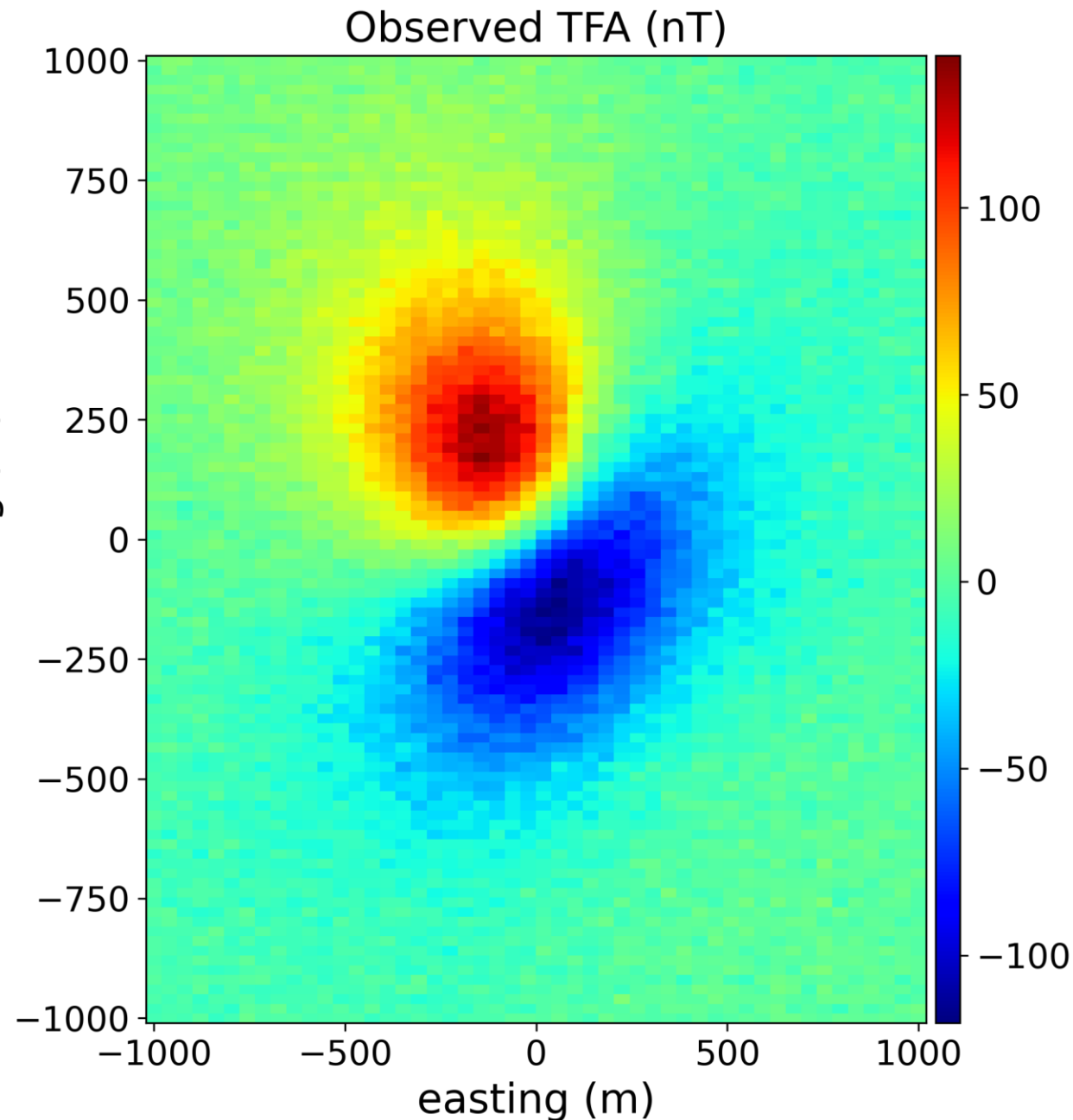
$$(I_0, D_0) = (-15^\circ, -15^\circ)$$

**Direção do campo
geomagnético**

$$(I, D) = (-40^\circ, -50^\circ)$$

**Direção de
magnetização
verdadeira**

Os dados foram
contaminados com
ruído gaussiano de
média zero e 4 nT!



Resultado da inversão

$$(I_0, D_0) = (-15^\circ, -15^\circ)$$

**Direção do campo
geomagnético**

$$(I, D) = (-40^\circ, -50^\circ)$$

**Direção de
magnetização
verdadeira**

Resultado da inversão

$$(I_0, D_0) = (-15^\circ, -15^\circ)$$

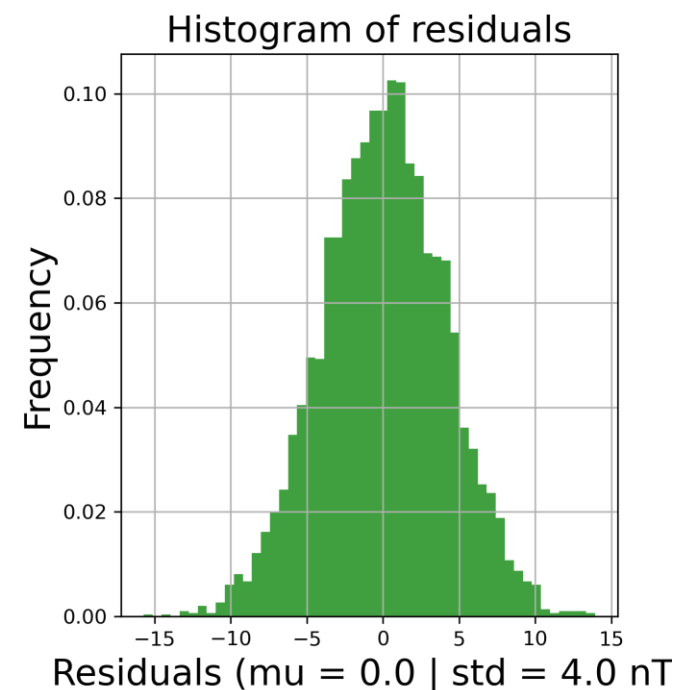
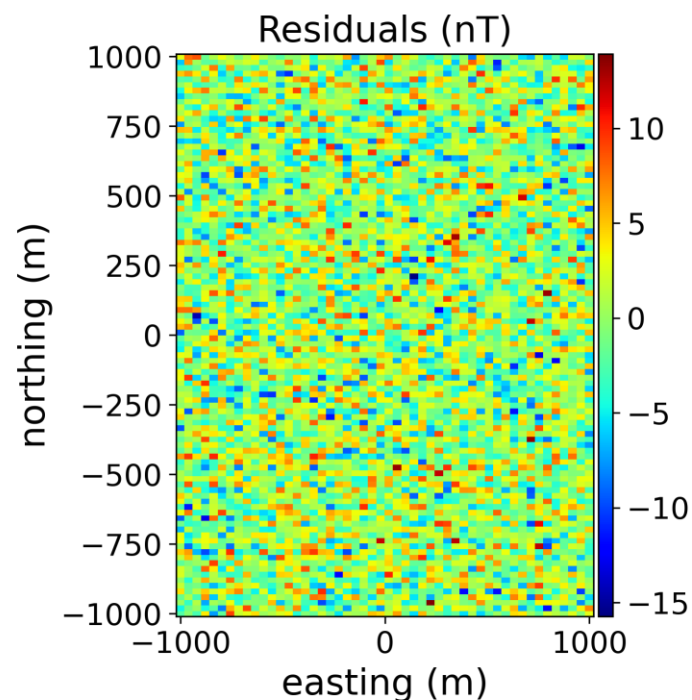
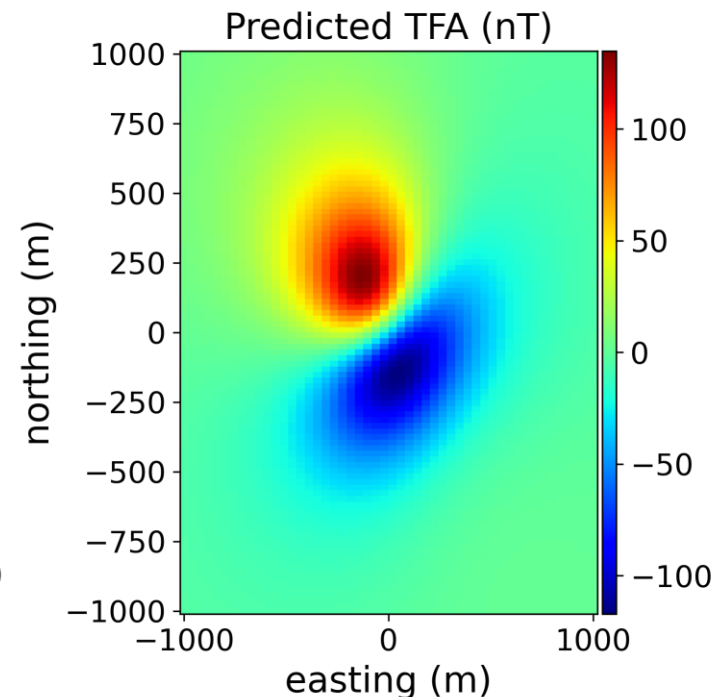
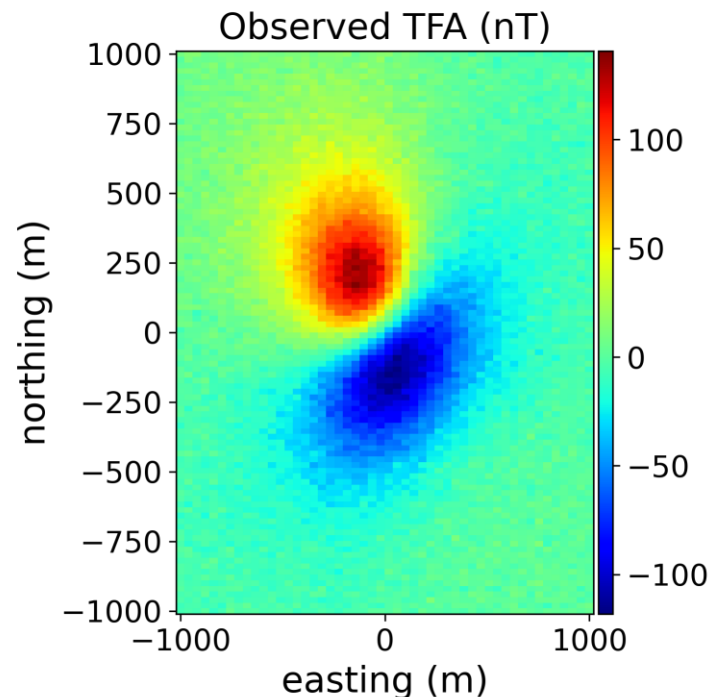
**Direção do campo
geomagnético**

$$(I, D) = (-40^\circ, -50^\circ)$$

**Direção de
magnetização
verdadeira**

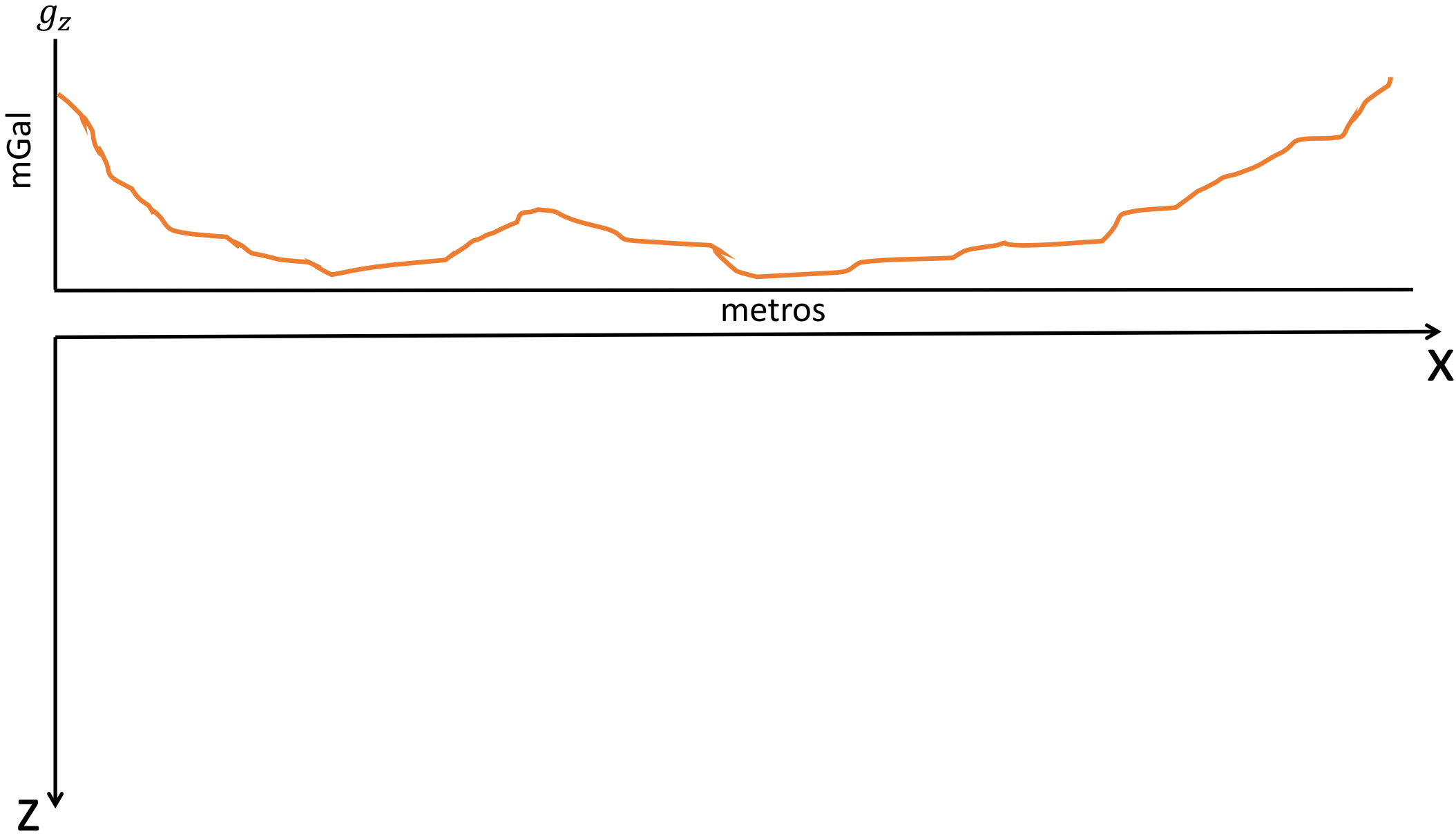
$$(I, D) = (-39.9^\circ, -50.1^\circ)$$

**Direção de
magnetização
estimada**

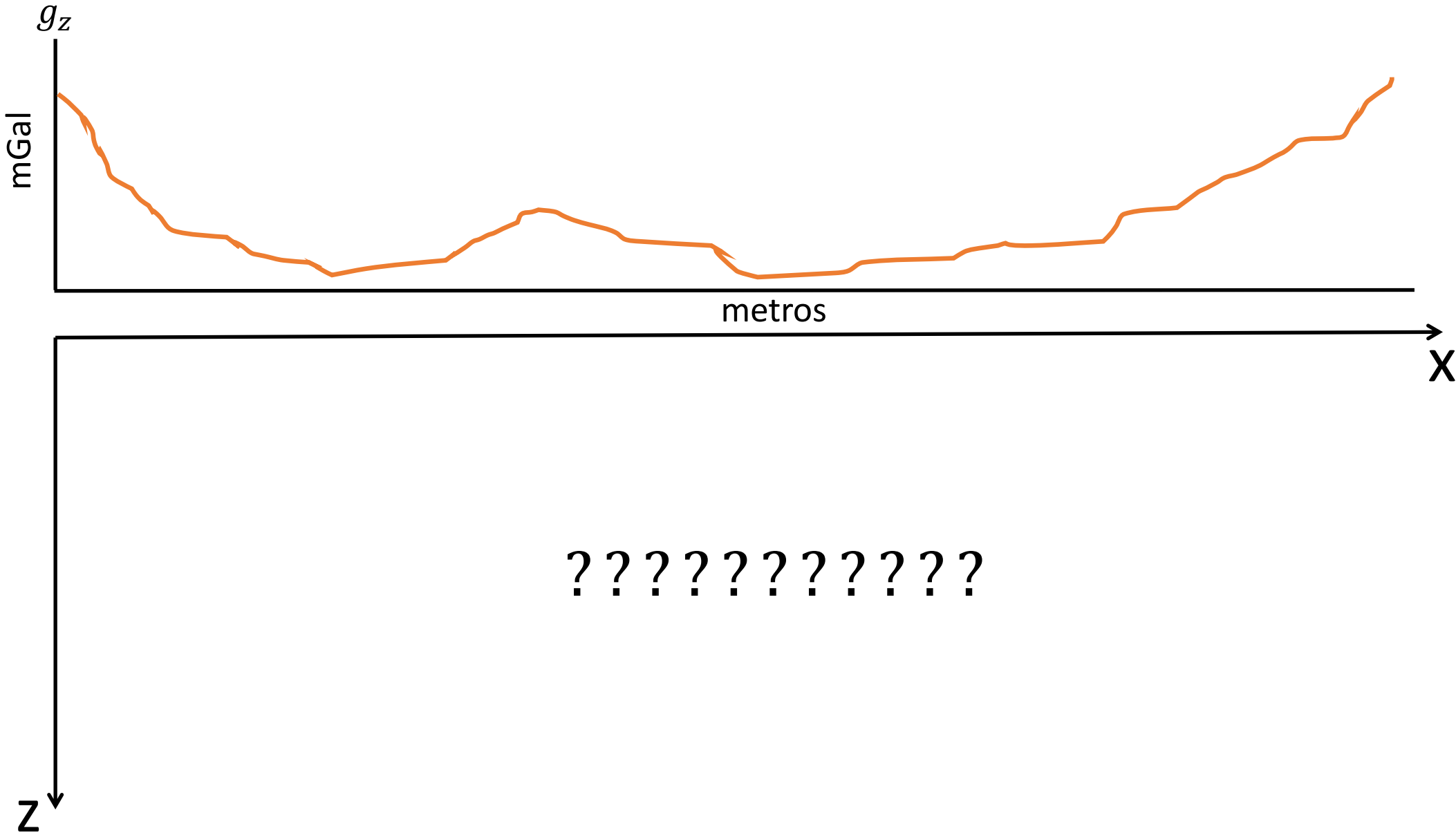


Estimativa do relevo do embasamento de uma Bacia sedimentar

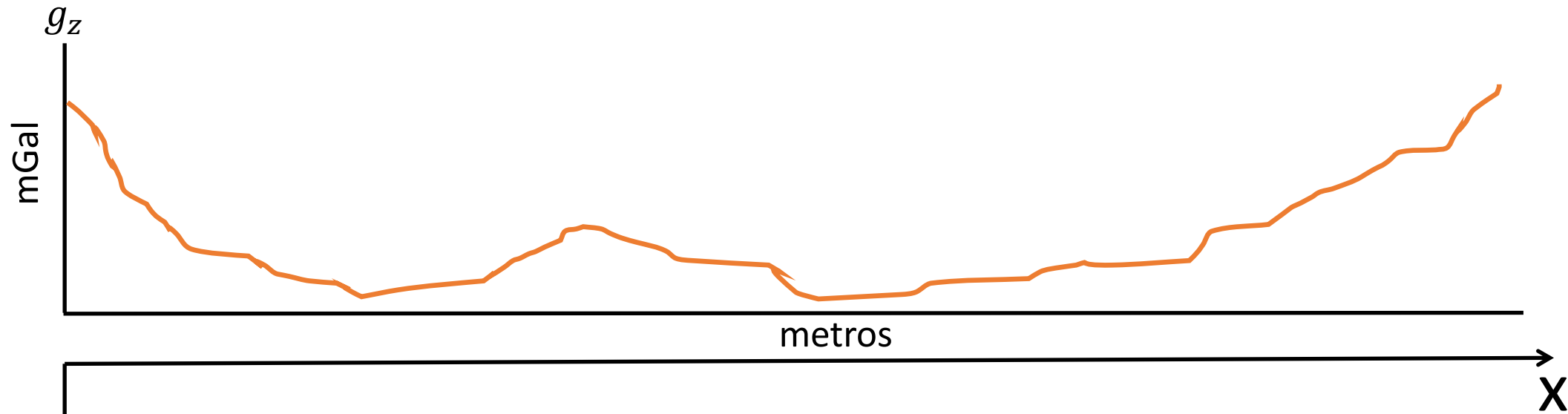
Bacia sedimentar 2D



Bacia sedimentar 2D



Bacia sedimentar 2D

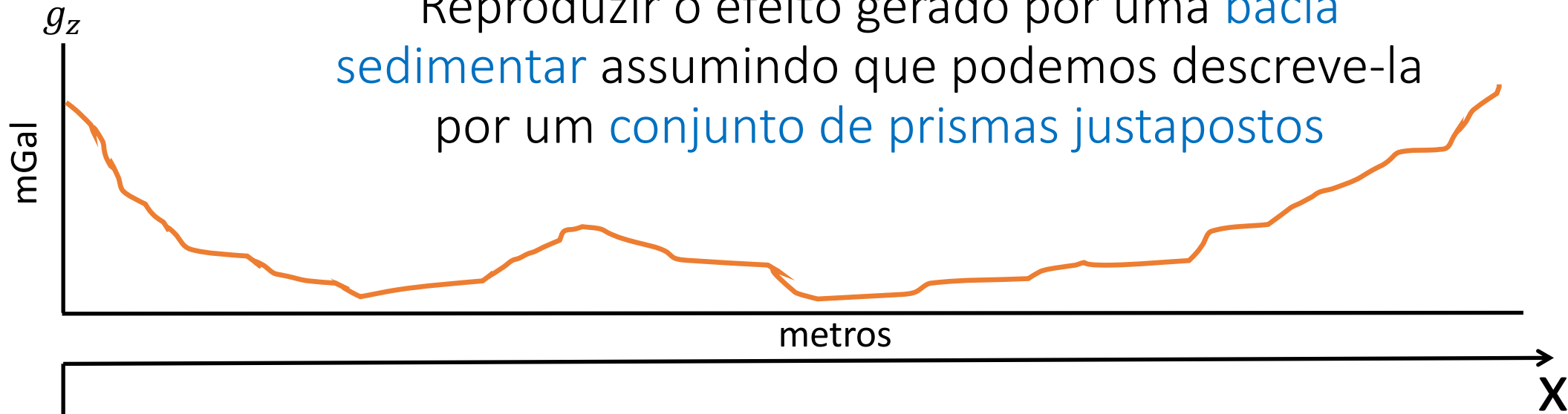


$$\mathbf{g}_z^o = \begin{bmatrix} g^1 \\ \vdots \\ g^N \end{bmatrix}$$

Vetor de dados observados

Bacia sedimentar 2D

Reproduzir o efeito gerado por uma **bacia sedimentar** assumindo que podemos descreve-la por um **conjunto de prismas justapostos**

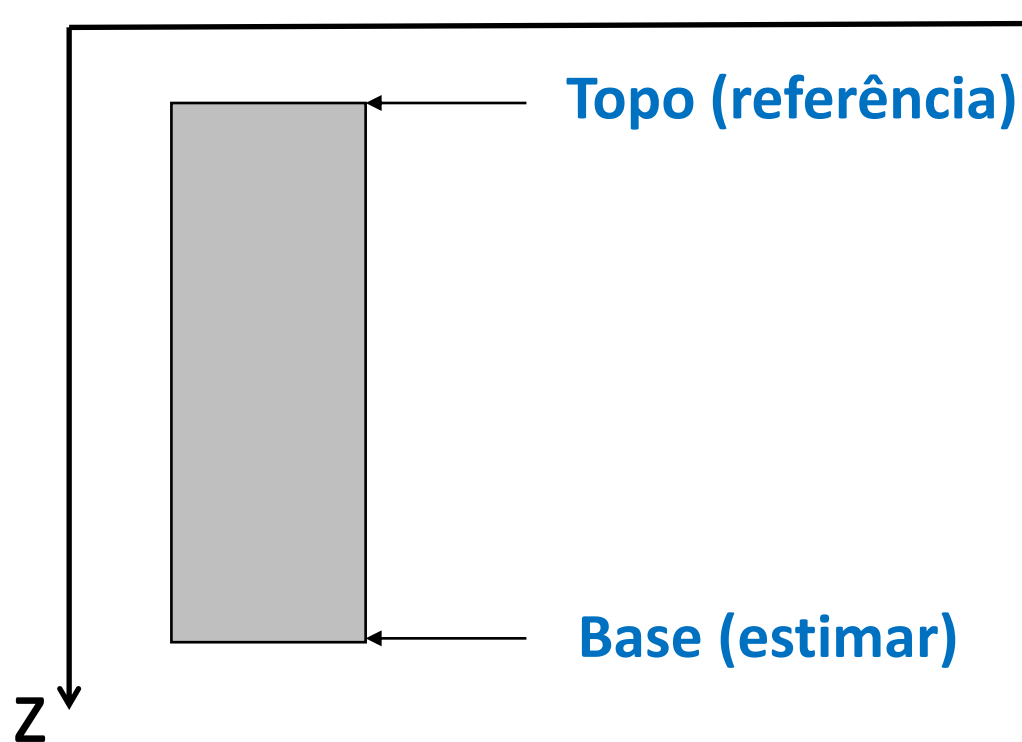
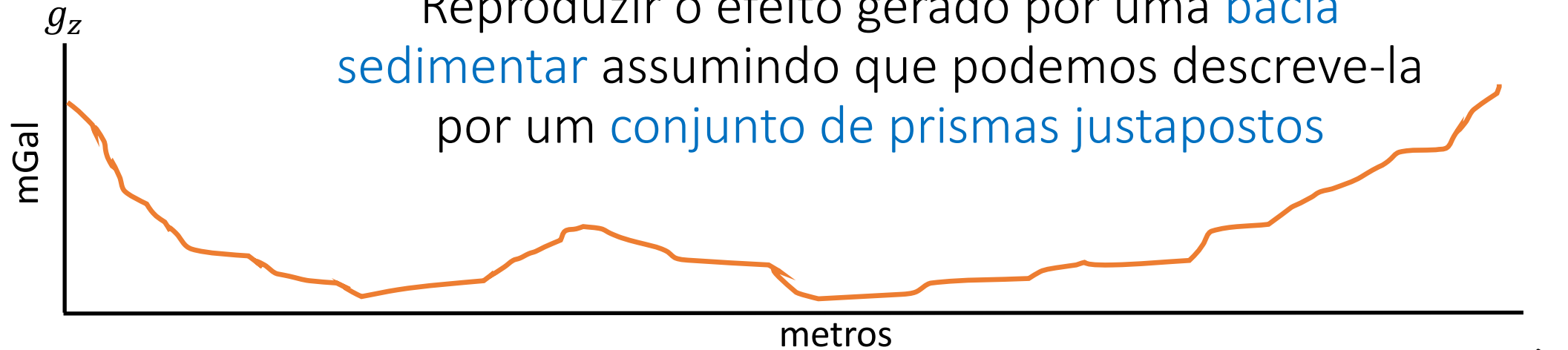


$$\mathbf{g}_z^o = \begin{bmatrix} g^1 \\ \vdots \\ g^N \end{bmatrix}$$

Vetor de dados observados

Bacia sedimentar 2D

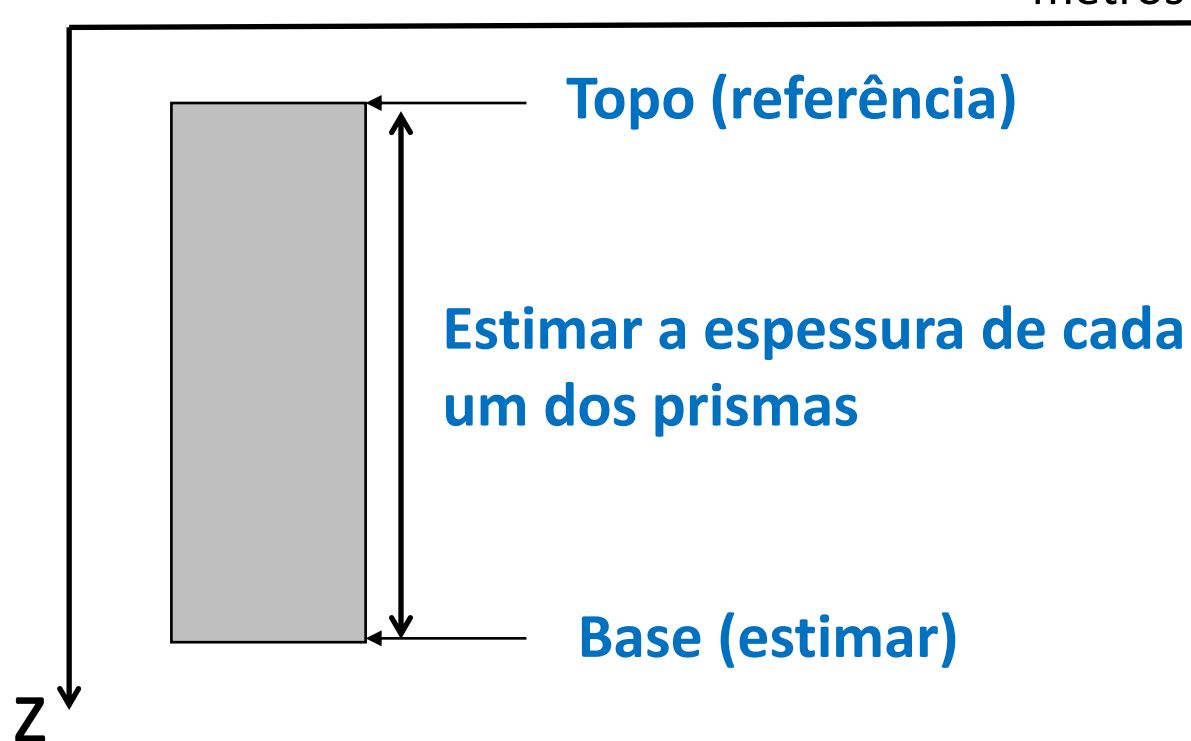
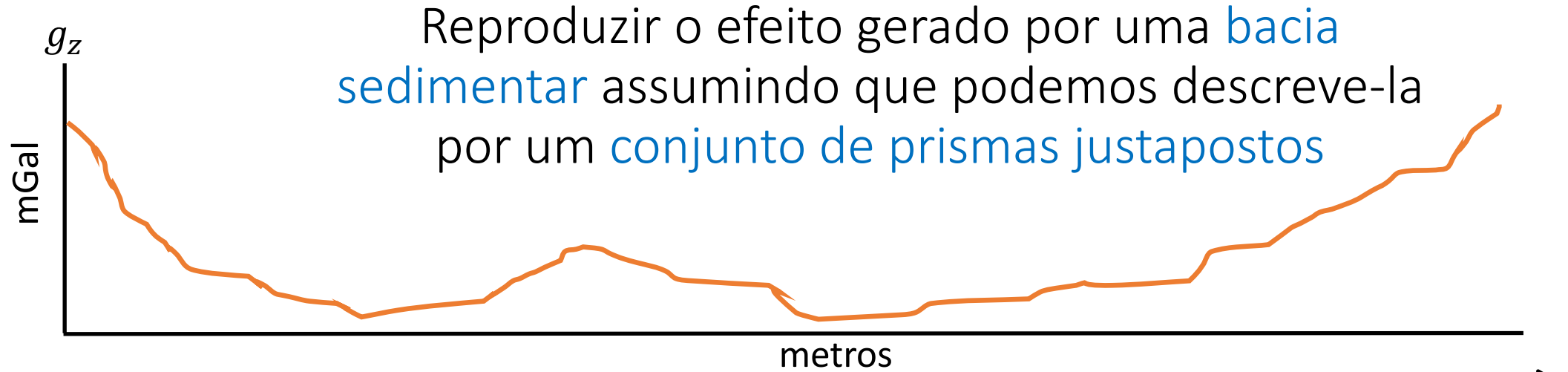
Reproduzir o efeito gerado por uma **bacia sedimentar** assumindo que podemos descreve-la por um **conjunto de prismas justapostos**



$$\mathbf{g}_z^o = \begin{bmatrix} g^1 \\ \vdots \\ g^N \end{bmatrix}$$

Vetor de dados observados

Bacia sedimentar 2D

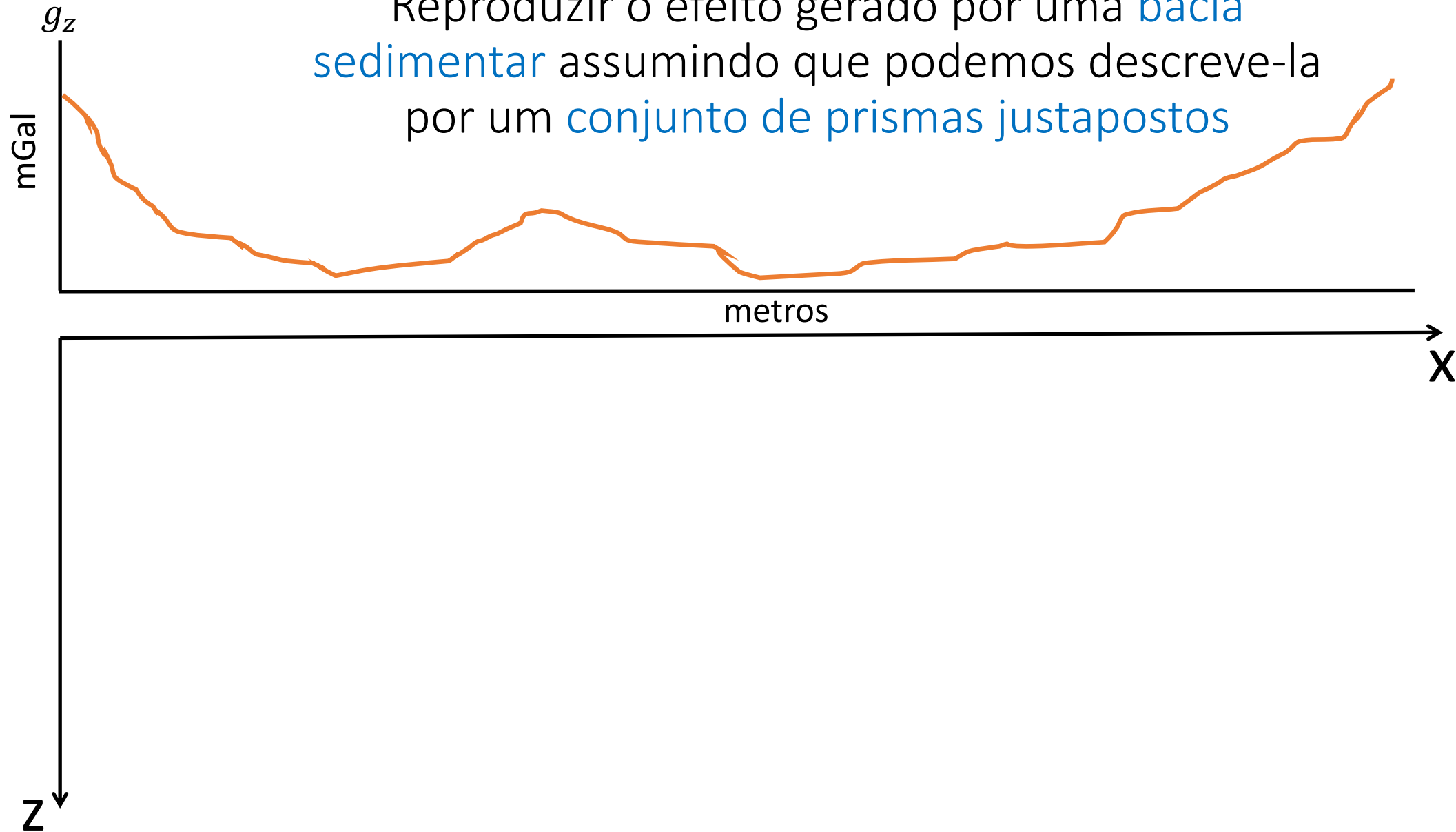


$$\mathbf{g}_z^o = \begin{bmatrix} g^1 \\ \vdots \\ g^N \end{bmatrix}$$

Vetor de dados observados

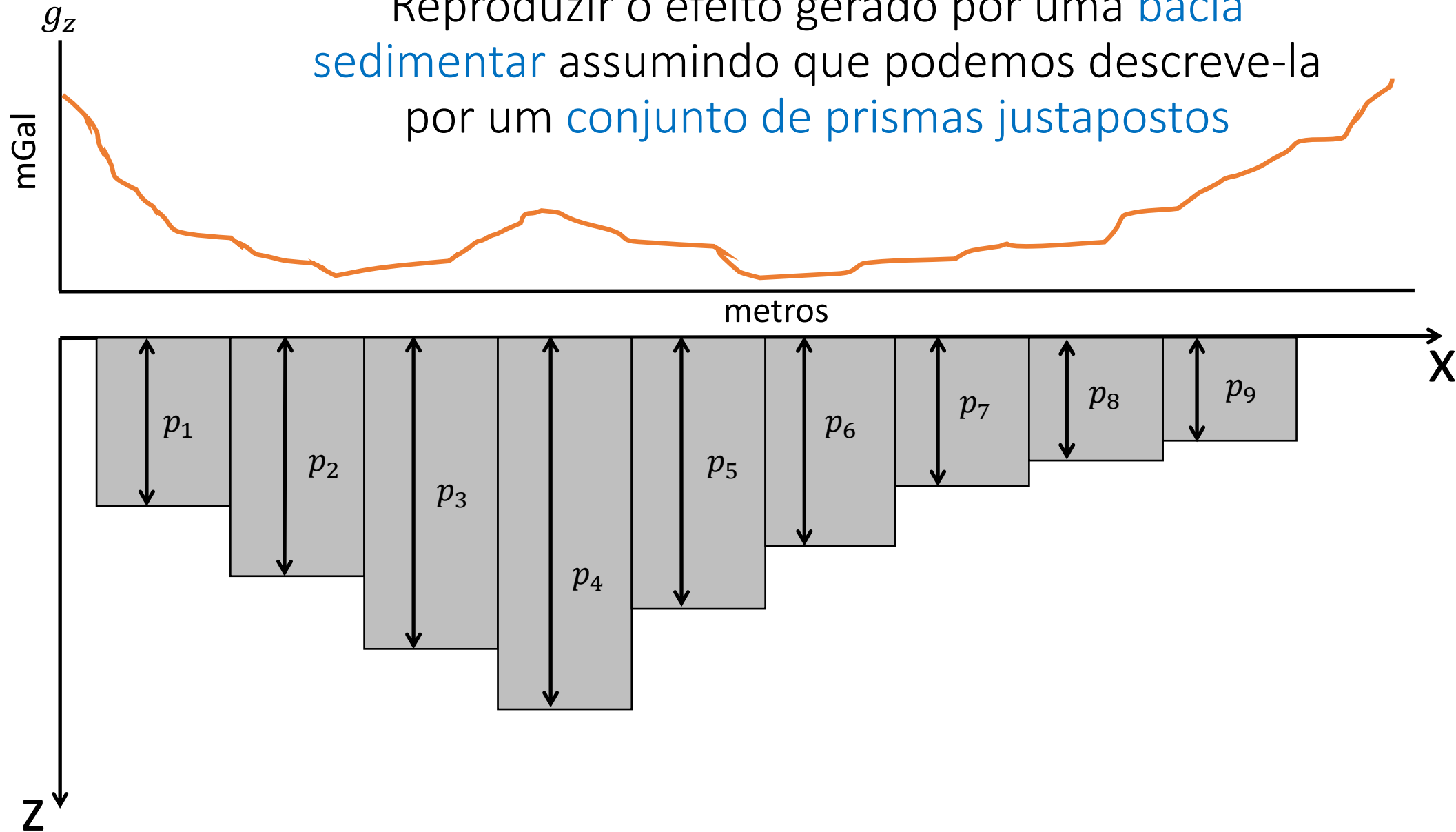
Bacia sedimentar 2D

Reproduzir o efeito gerado por uma **bacia sedimentar** assumindo que podemos descreve-la por um **conjunto de prismas justapostos**



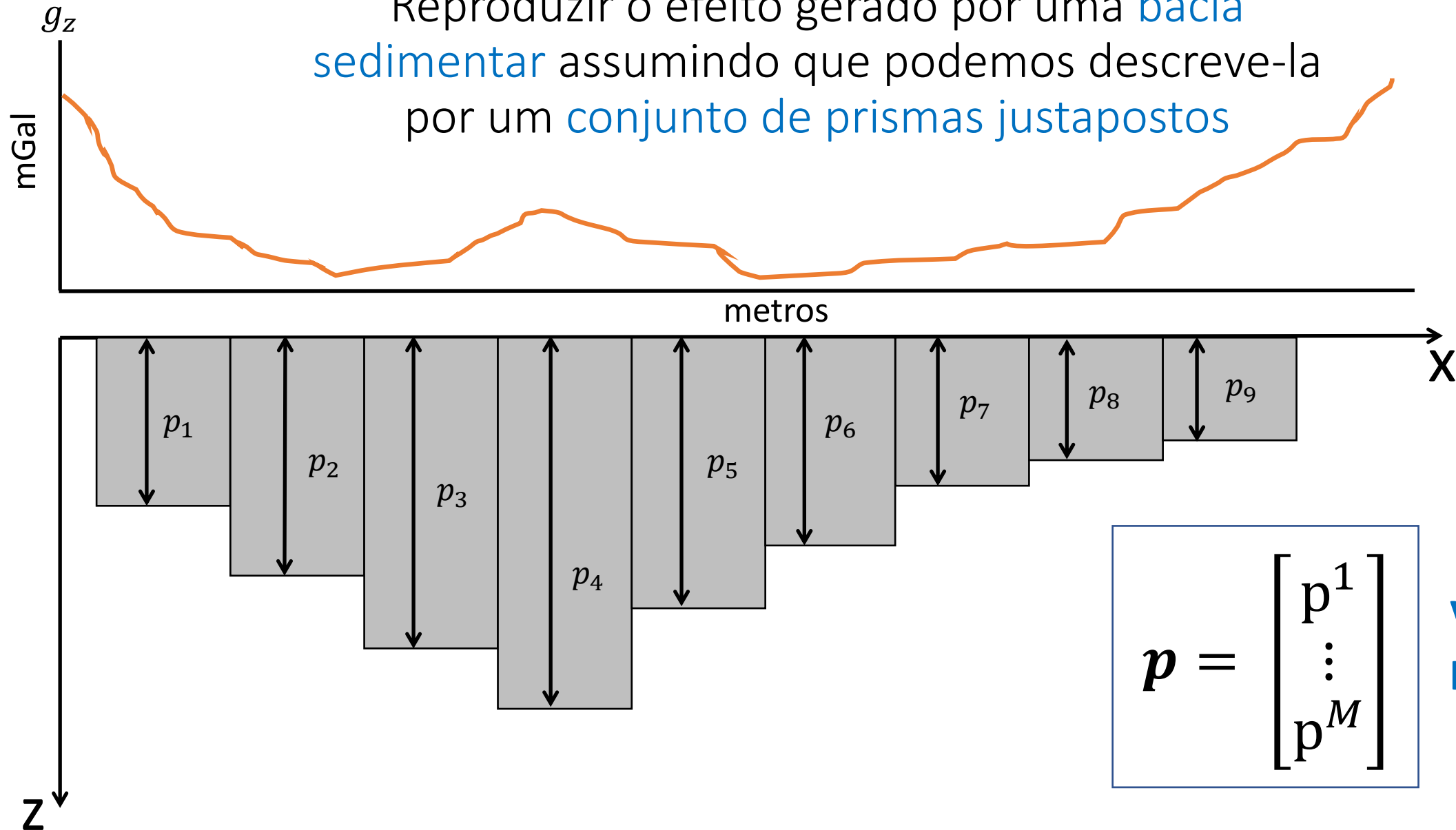
Bacia sedimentar 2D

Reproduzir o efeito gerado por uma **bacia sedimentar** assumindo que podemos descreve-la por um **conjunto de prismas justapostos**



Bacia sedimentar 2D

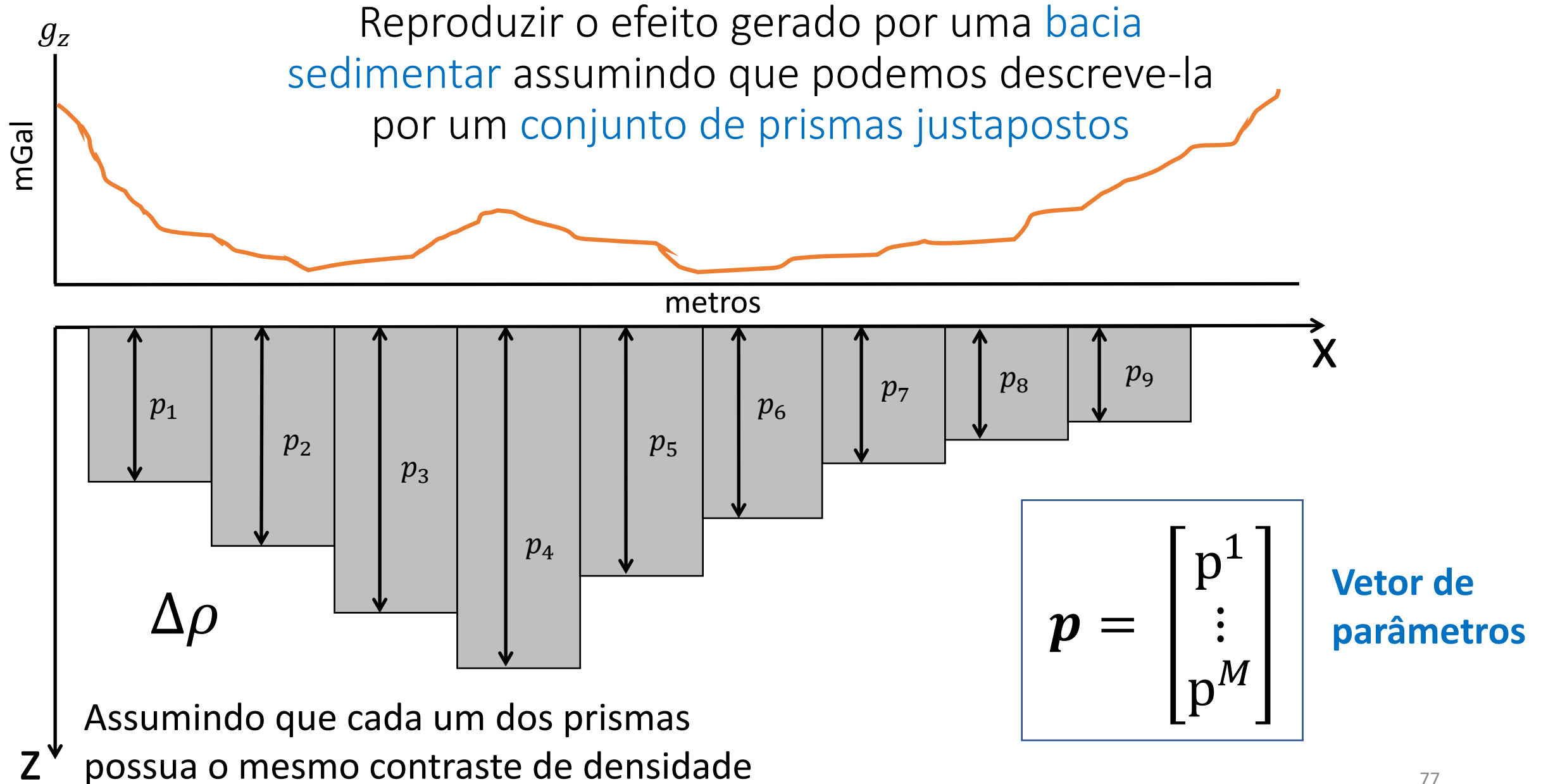
Reproduzir o efeito gerado por uma **bacia sedimentar** assumindo que podemos descreve-la por um **conjunto de prismas justapostos**



$$\mathbf{p} = \begin{bmatrix} p^1 \\ \vdots \\ p^M \end{bmatrix}$$

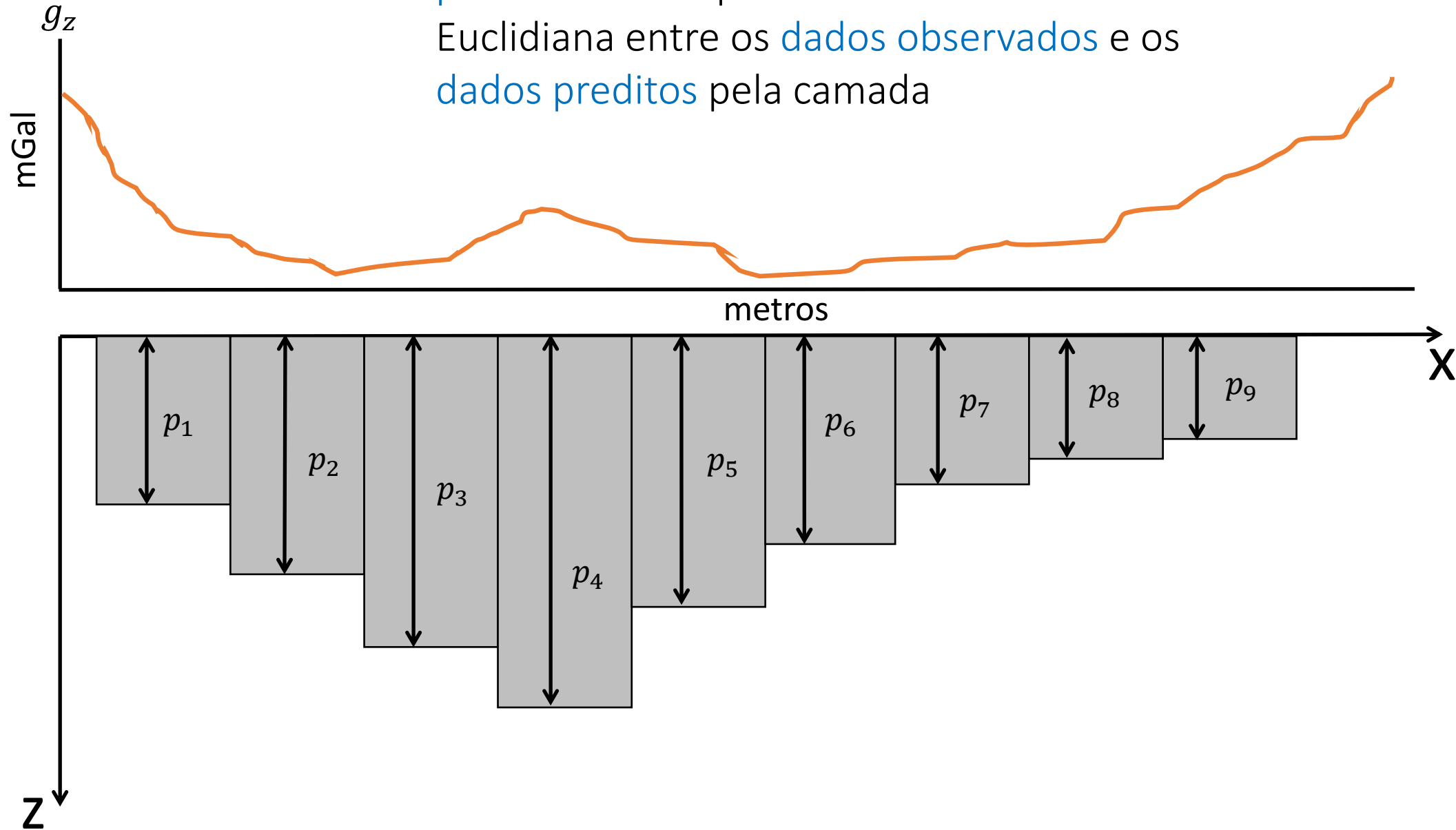
**Vetor de
parâmetros**

Bacia sedimentar 2D



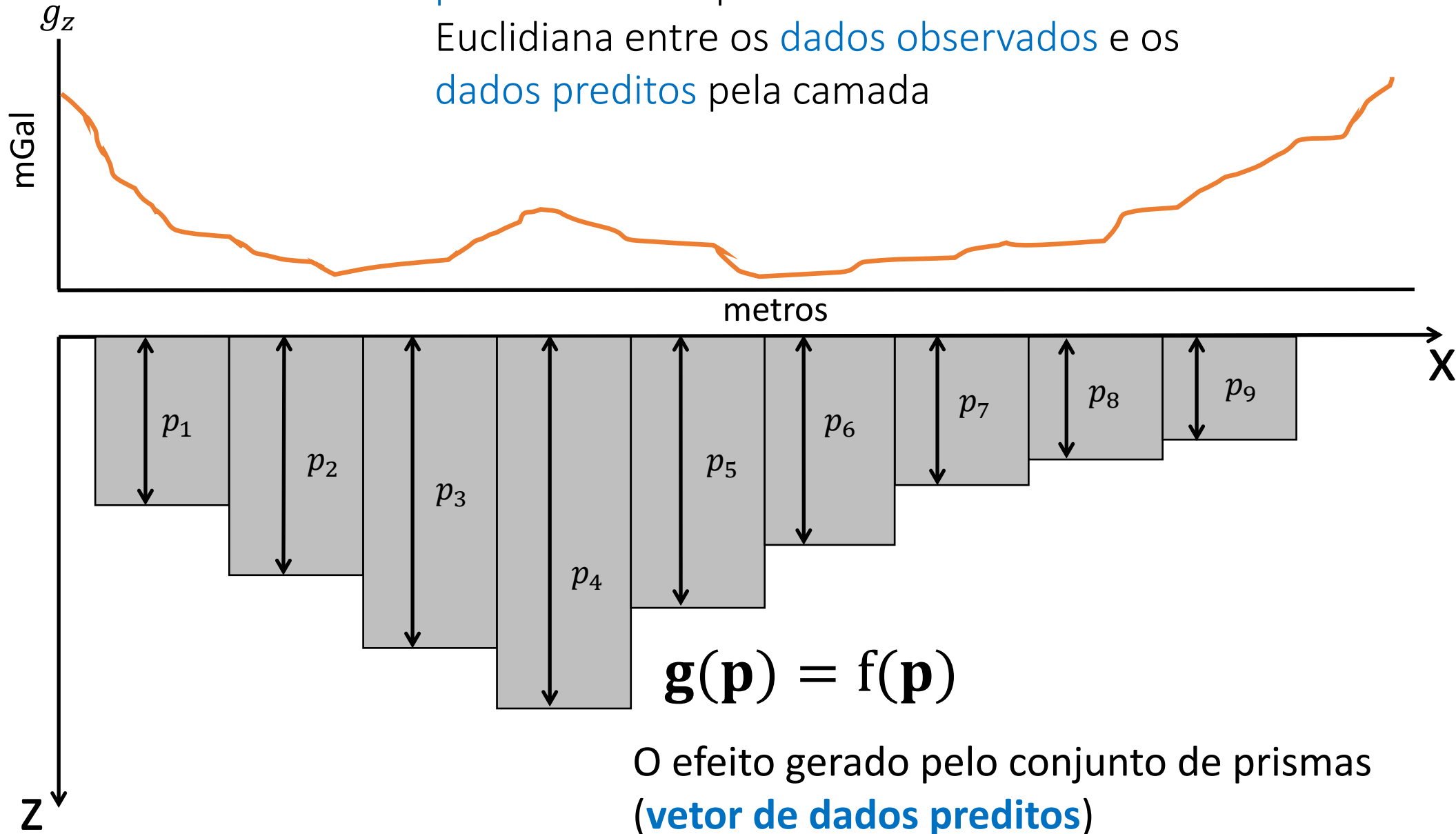
Bacia sedimentar 2D

Queremos estimar um **conjunto de profundidades** que irá minimizar a norma Euclidiana entre os **dados observados** e os **dados preditos** pela camada



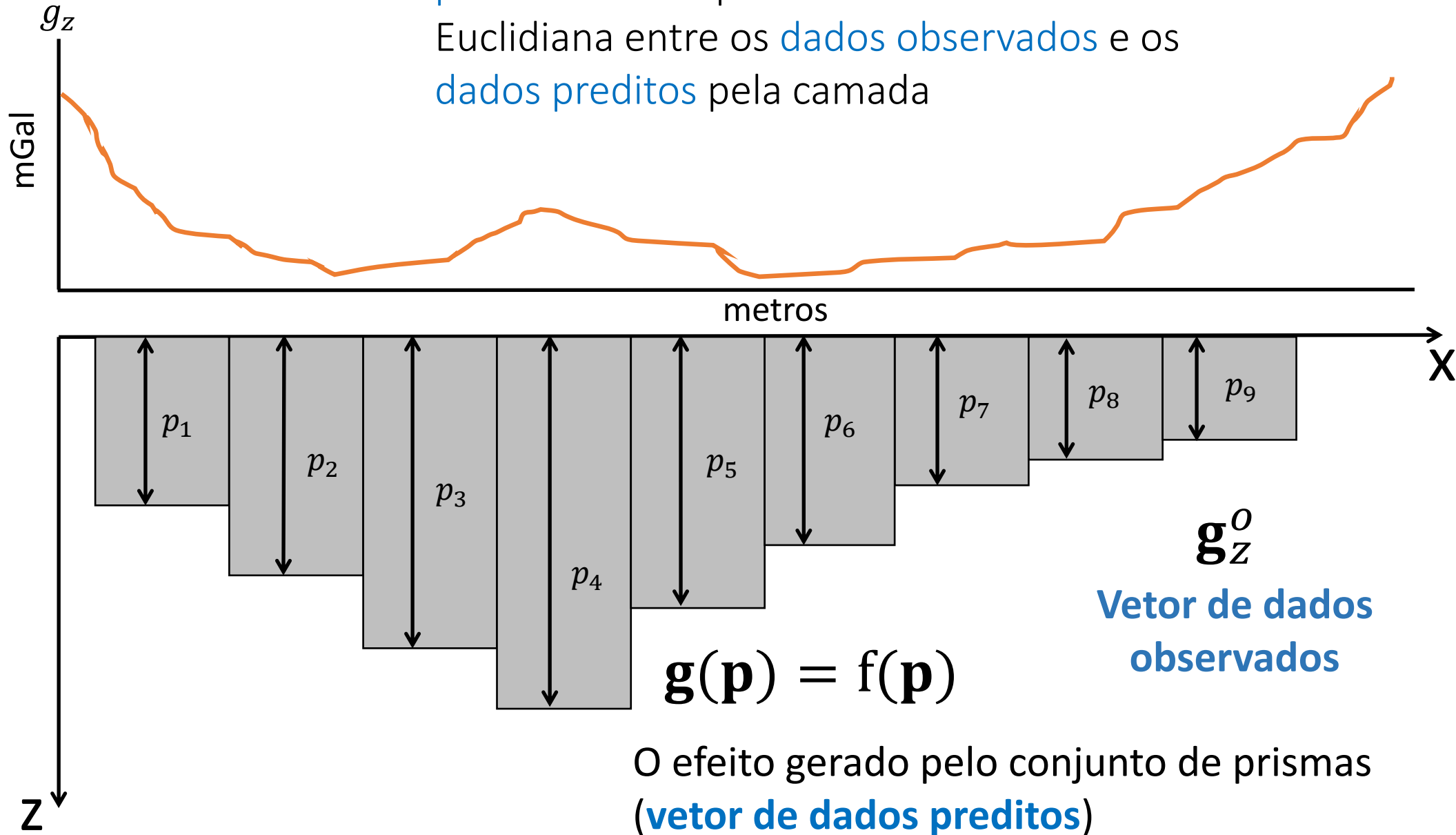
Bacia sedimentar 2D

Queremos estimar um **conjunto de profundidades** que irá minimizar a norma Euclidiana entre os **dados observados** e os **dados preditos** pela camada



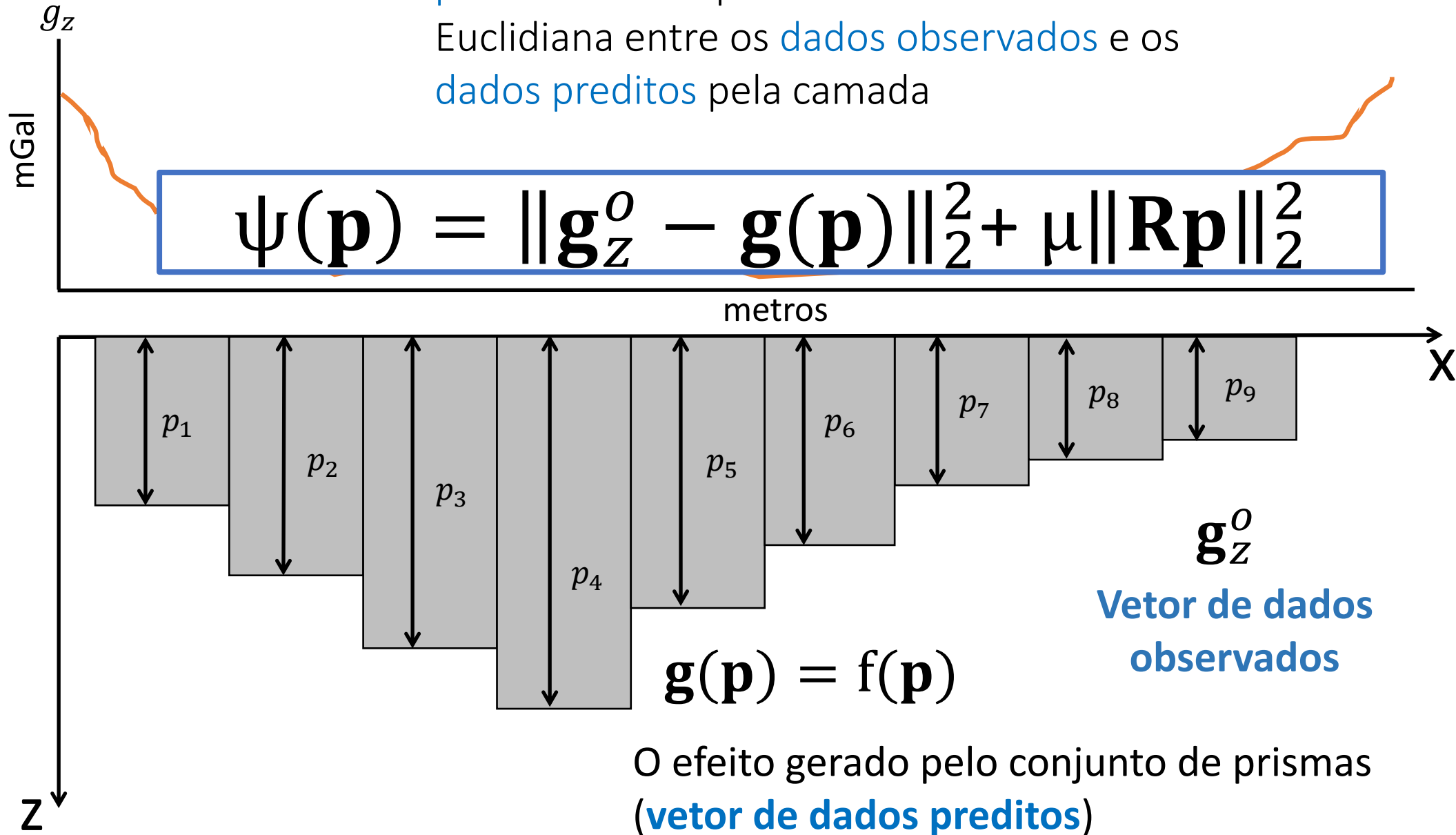
Bacia sedimentar 2D

Queremos estimar um **conjunto de profundidades** que irá minimizar a norma Euclidiana entre os **dados observados** e os **dados preditos** pela camada



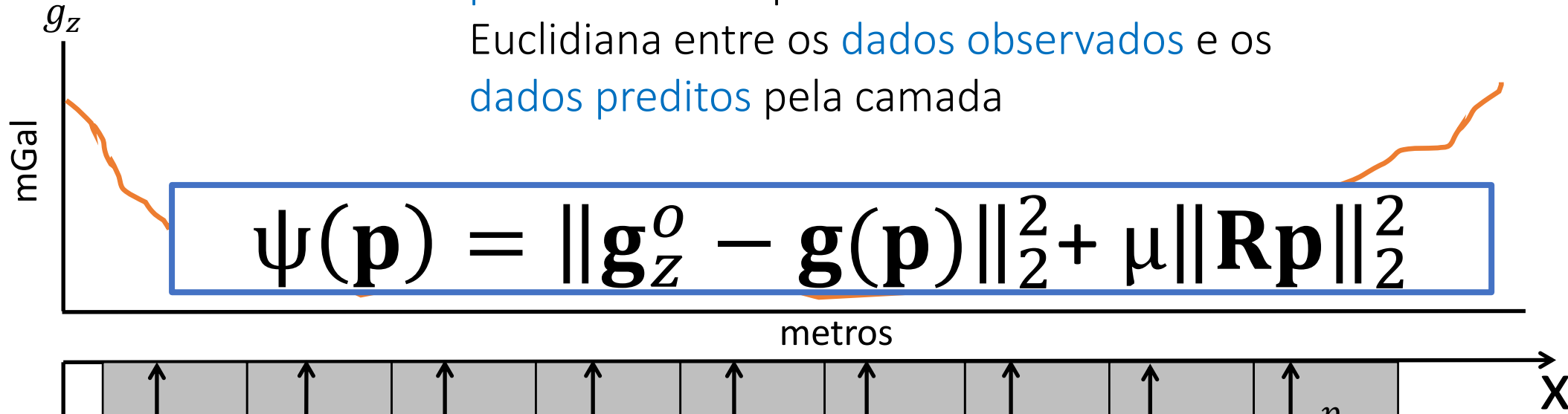
Bacia sedimentar 2D

Queremos estimar um **conjunto de profundidades** que irá minimizar a norma Euclidiana entre os **dados observados** e os **dados preditos** pela camada



Bacia sedimentar 2D

Queremos estimar um **conjunto de profundidades** que irá minimizar a norma Euclidiana entre os **dados observados** e os **dados preditos** pela camada



$$(\mathbf{G}^{kT} \mathbf{G}^k + \mu \mathbf{R}^T \mathbf{R}) \Delta \mathbf{p}^k = \mathbf{G}^{kT} [\mathbf{g}_z^o - \mathbf{g}(\mathbf{p})] - \mu \mathbf{R}^T \mathbf{R} \mathbf{p}^k$$

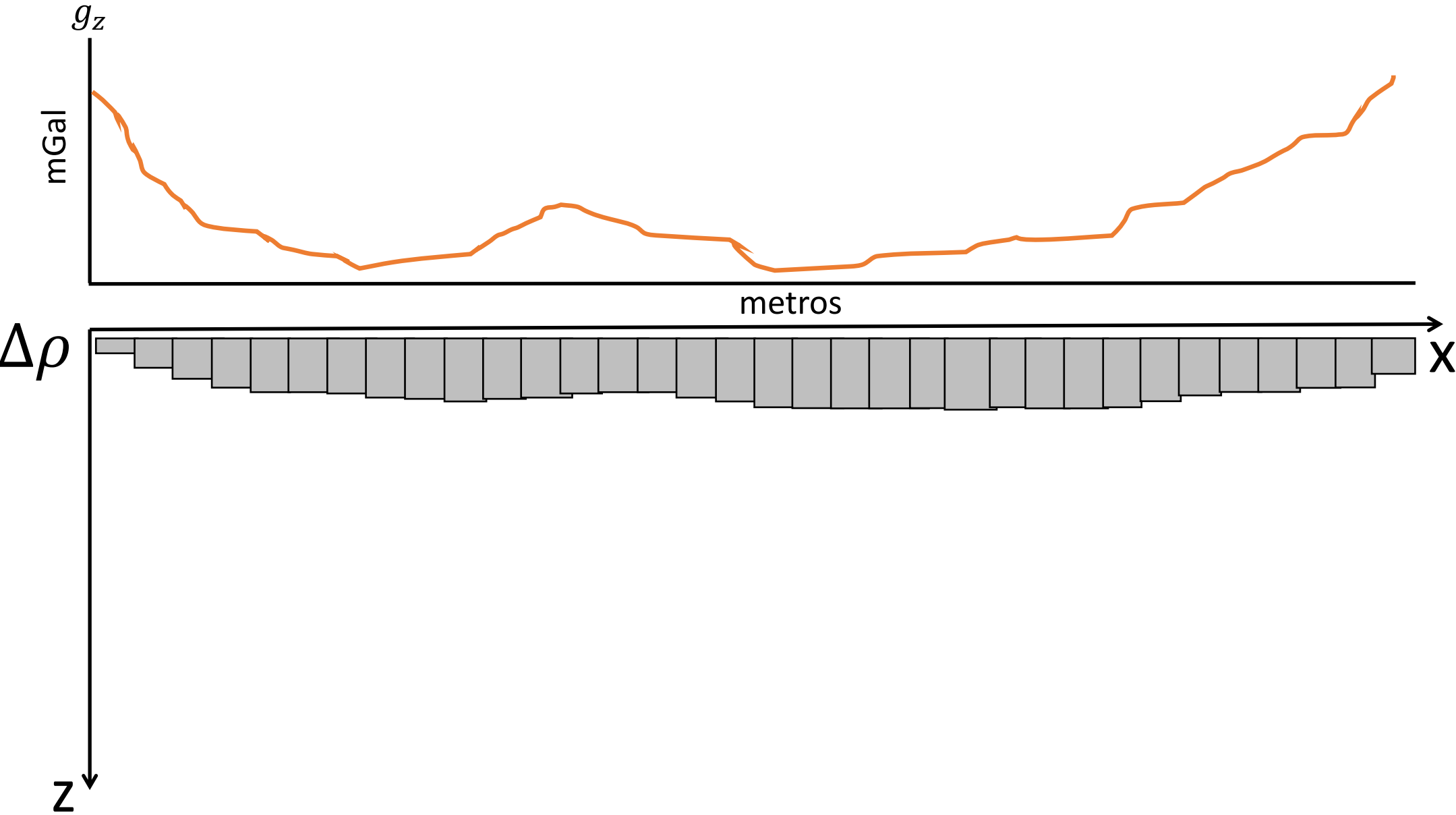
\mathbf{g}_z^o

Vetor de dados observados

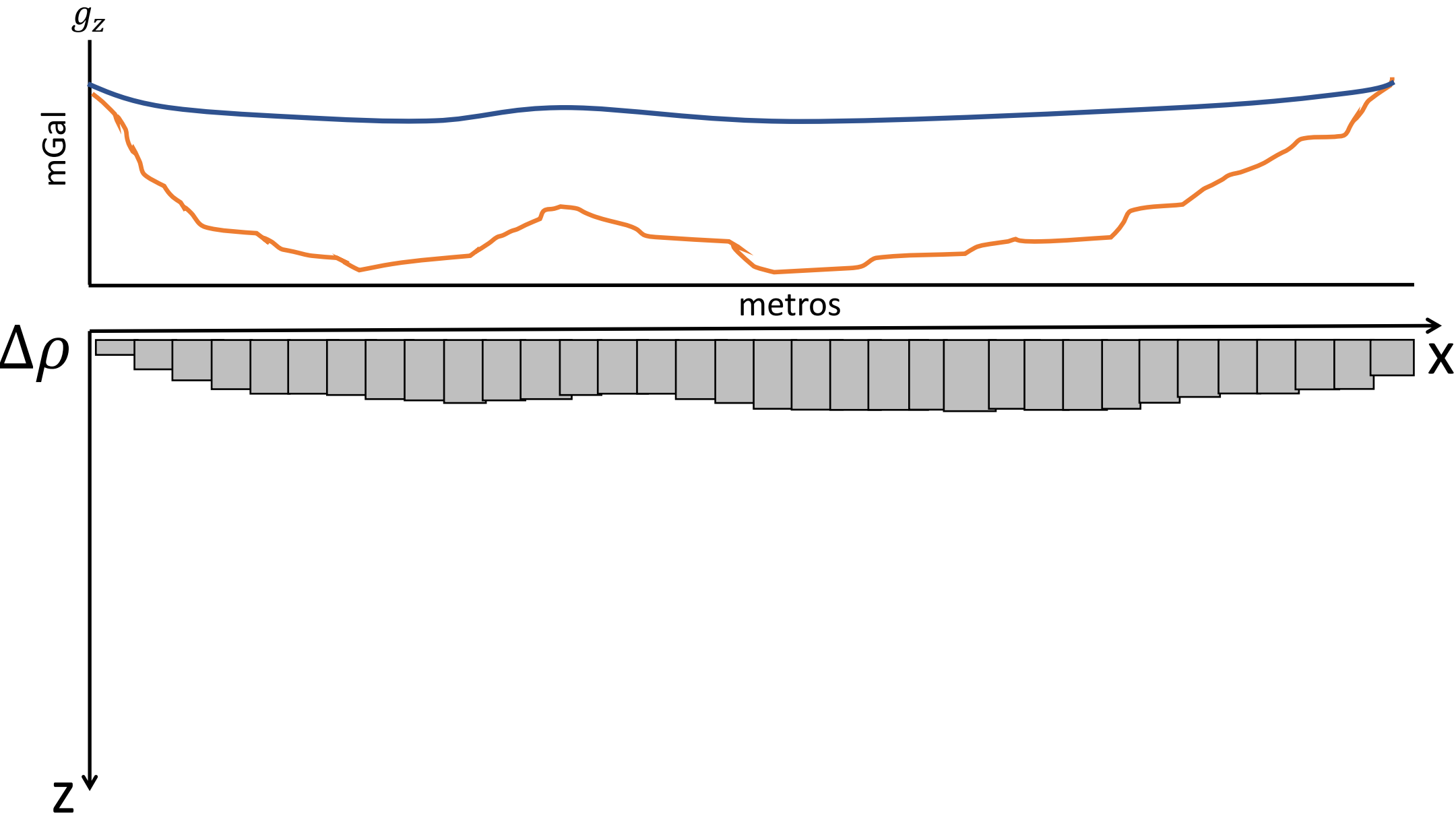
$\mathbf{g}(\mathbf{p}) = \mathbf{f}(\mathbf{p})$

O efeito gerado pelo conjunto de prismas
(vetor de dados preditos)

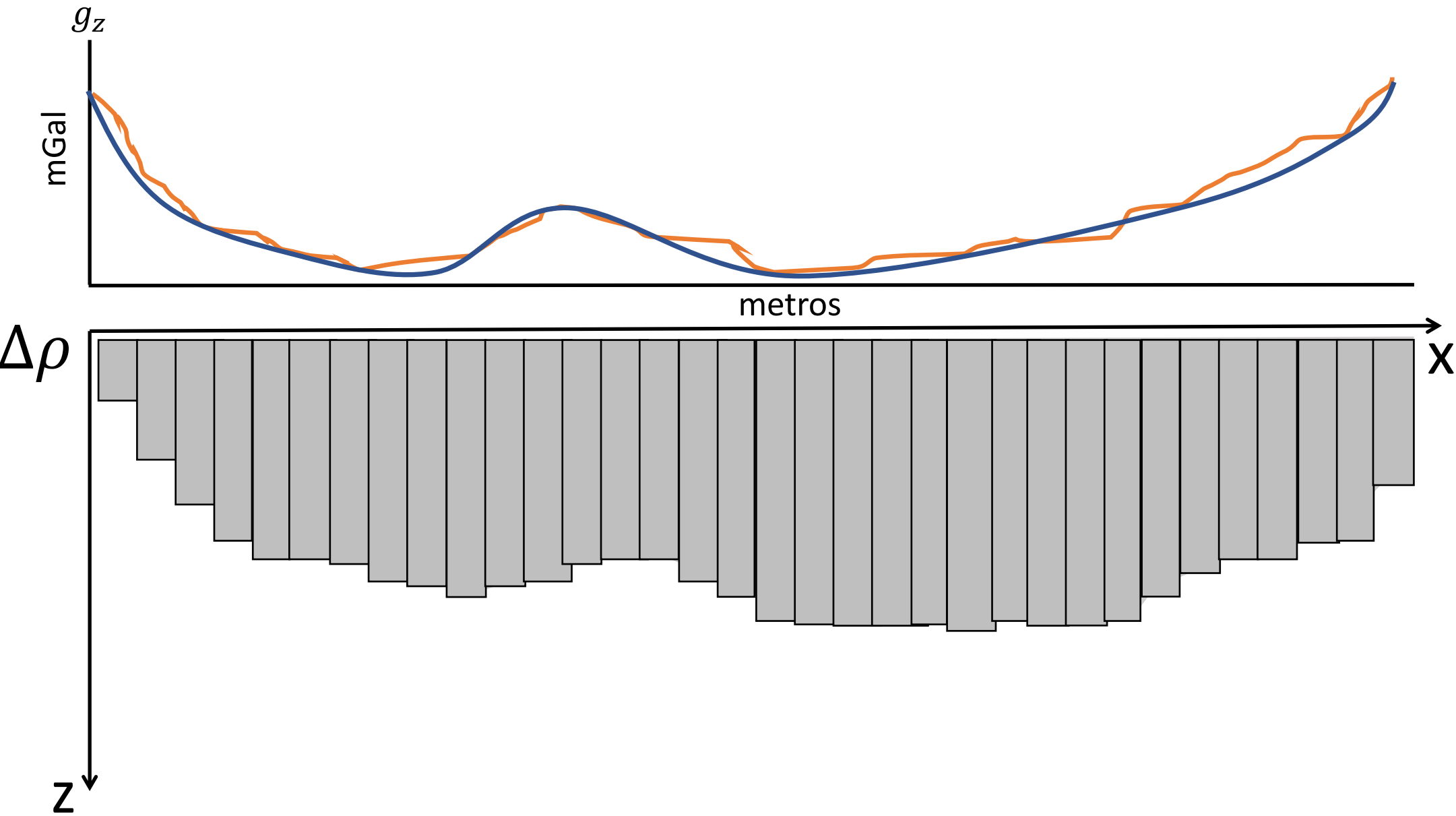
Bacia sedimentar 2D



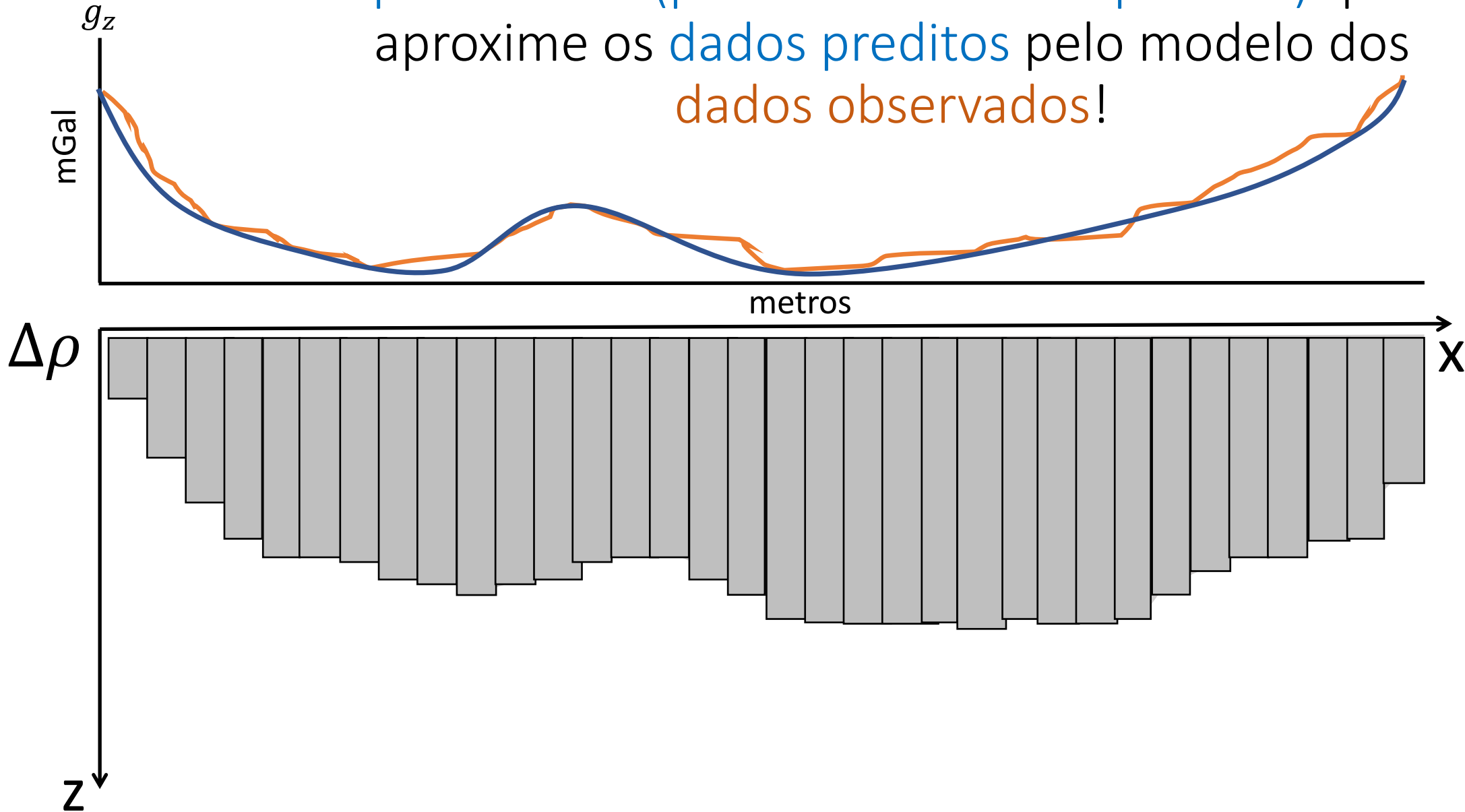
Bacia sedimentar 2D



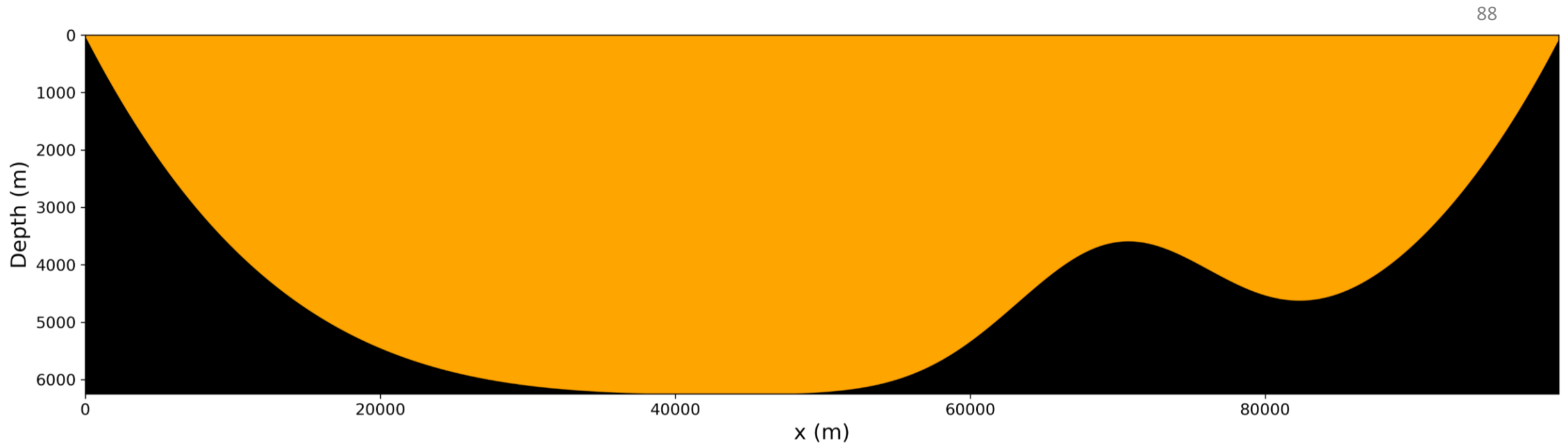
Bacia sedimentar 2D



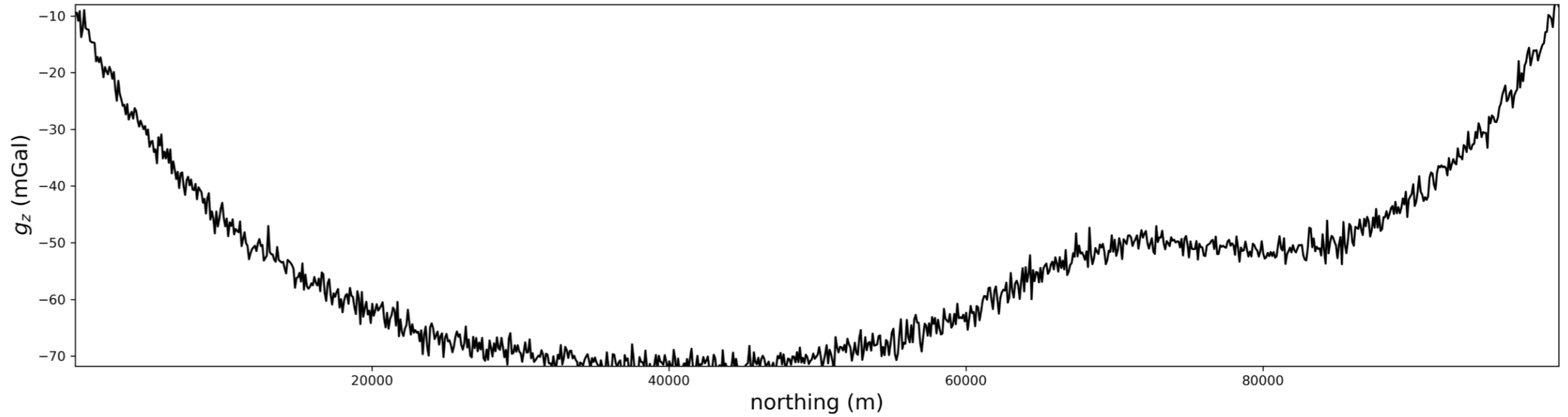
Bacia sedimentar 2D Conseguimos encontrar um conjunto de parâmetros (profundidades dos prismas) que aproxime os dados preditos pelo modelo dos dados observados!



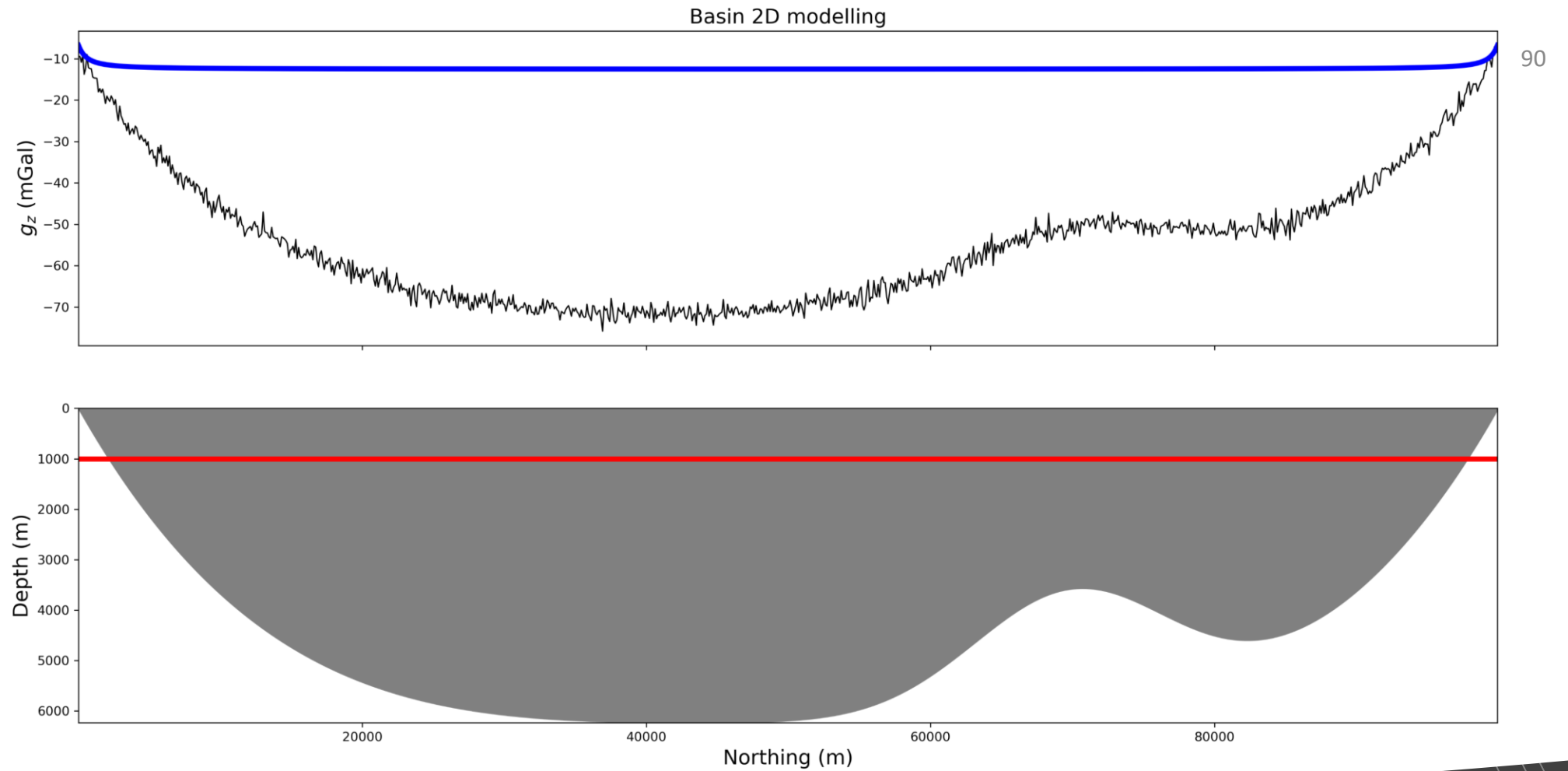
Simulação numérica



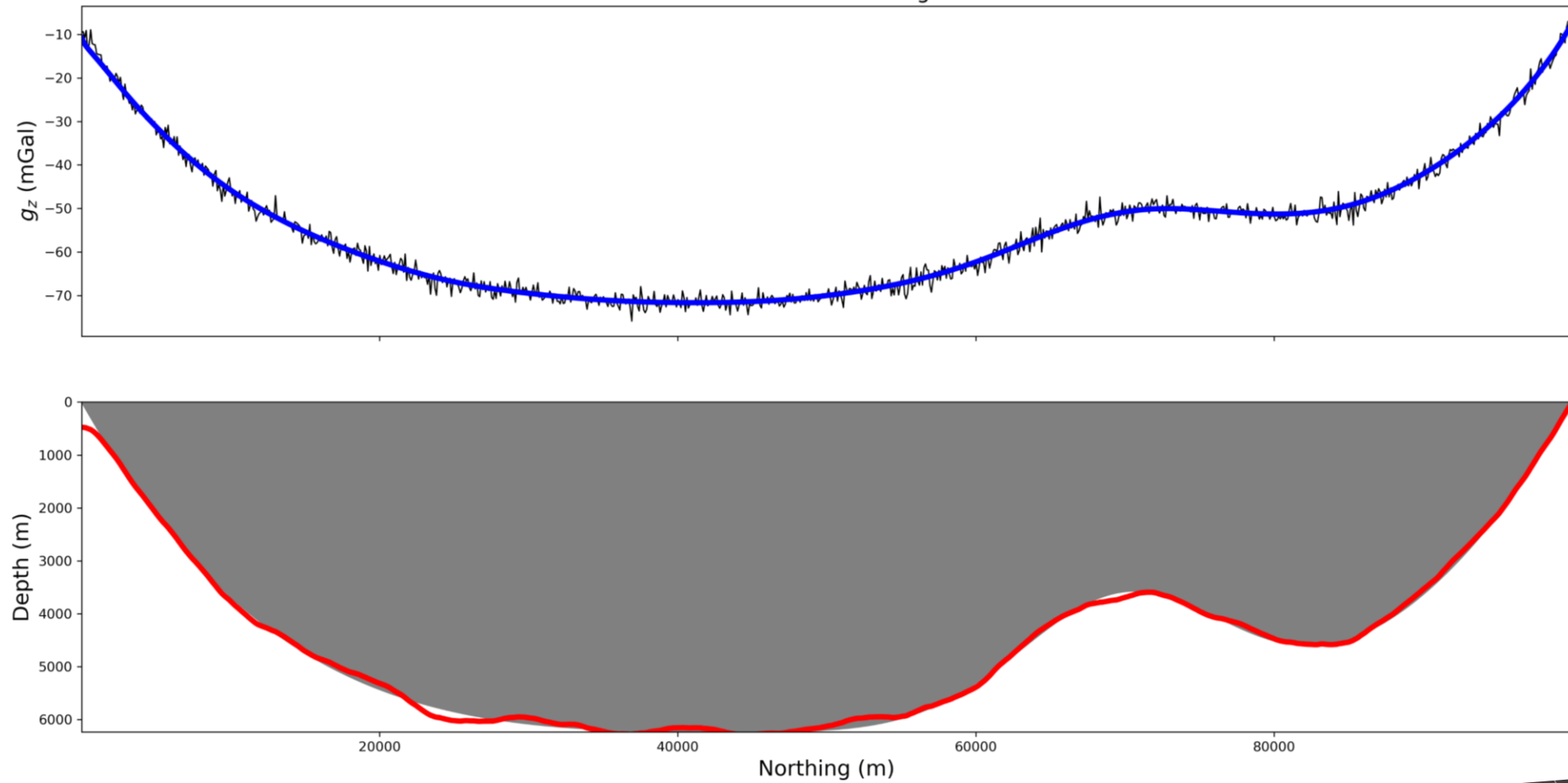
Bacia sedimentar 2D



Bacia sedimentar 2D



Bacia sedimentar 2D

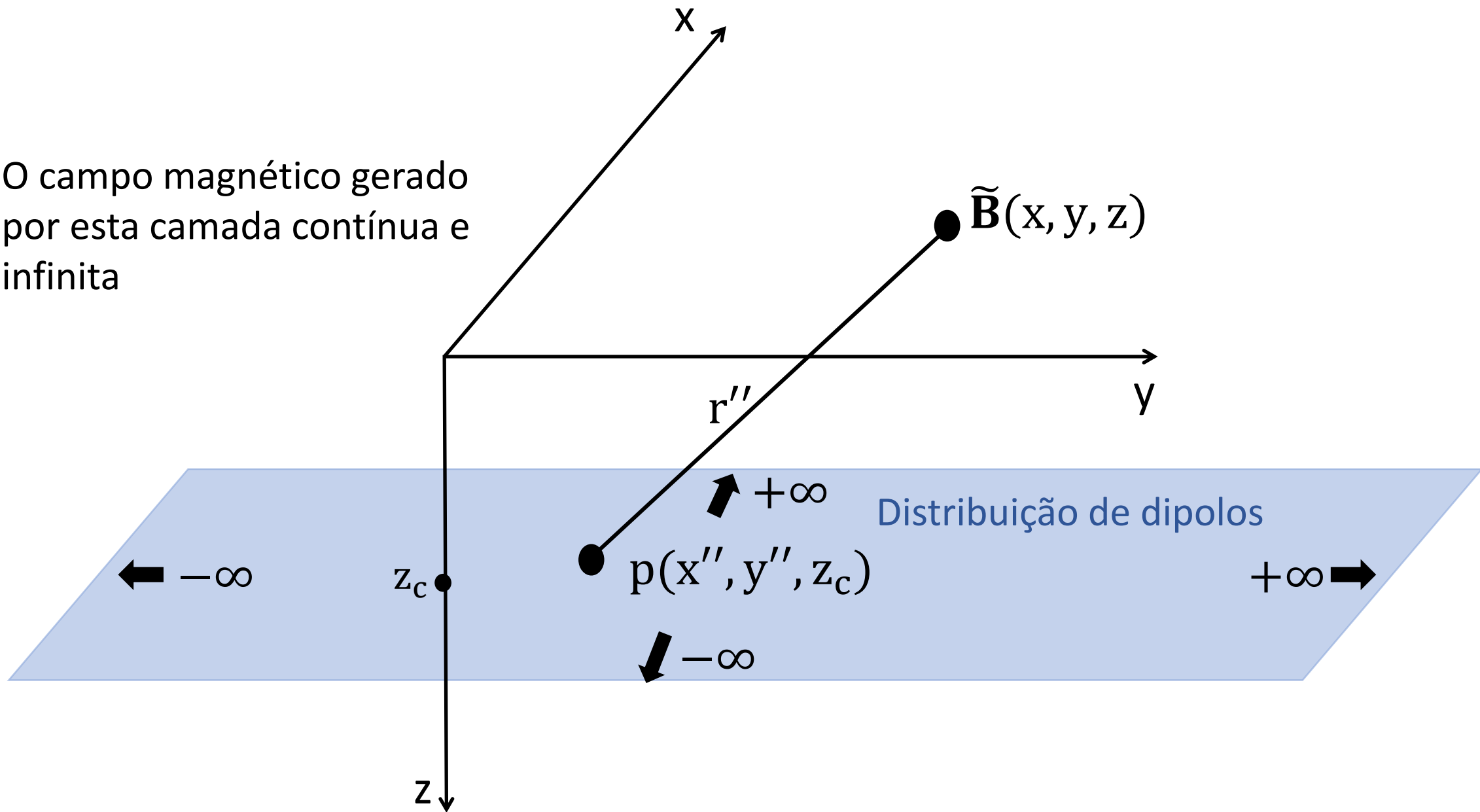


Bacia sedimentar 2D

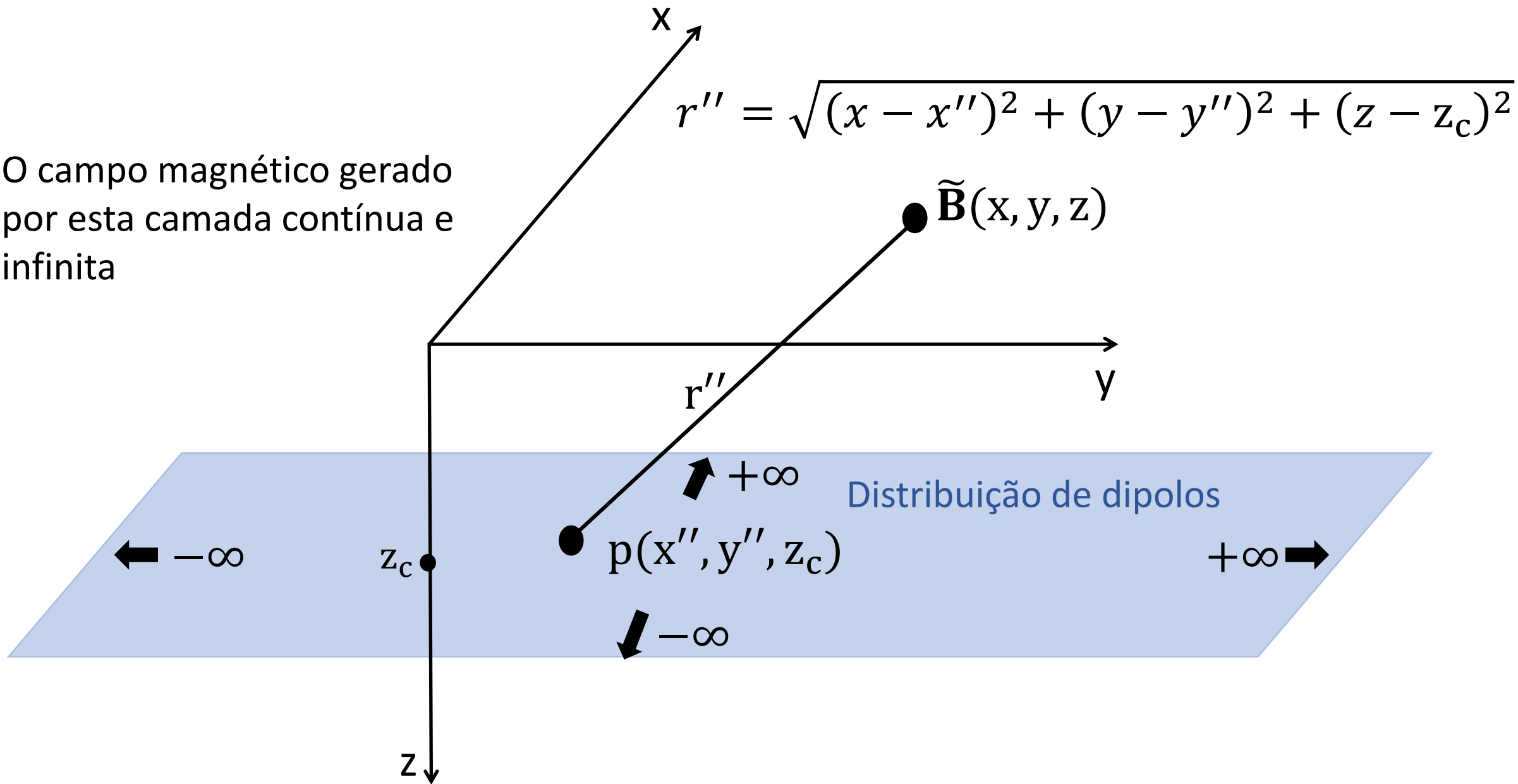
Processamento de dados potenciais utilizando a técnica da Camada equivalente

É possível recuperar os dados gerados por
uma distribuição de propriedade física
tridimensional através de uma distribuição 2D

O campo magnético gerado
por esta camada contínua e
infinita



O campo magnético gerado
por esta camada contínua e
infinita

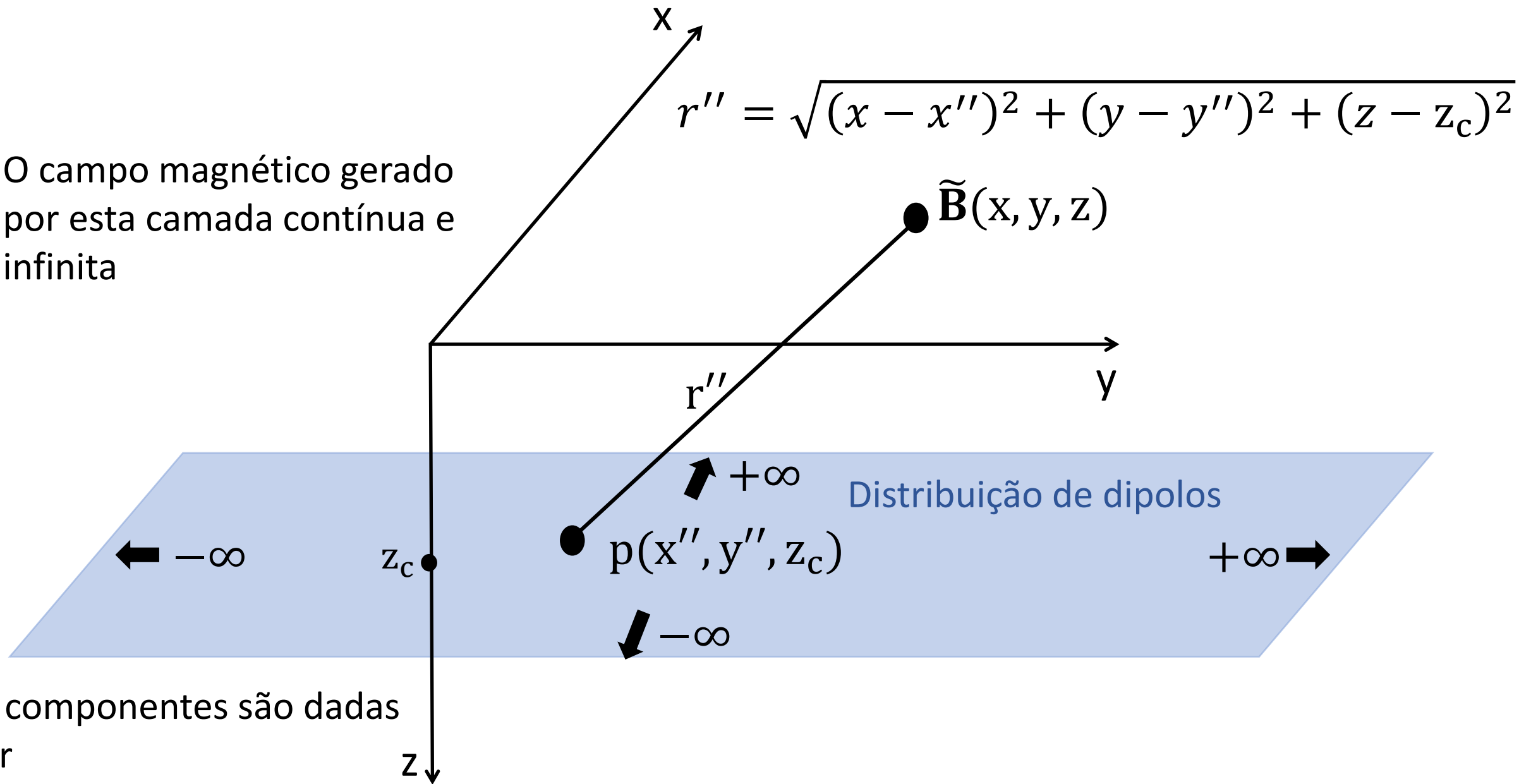


O campo magnético gerado por esta camada contínua e infinita

As componentes são dadas por

$$\widetilde{B}_\alpha(x, y, z) = \gamma_m \iint p(x'', y'', z_c) \mathbf{m} \cdot \partial_\alpha \nabla \frac{1}{r''} dS''$$

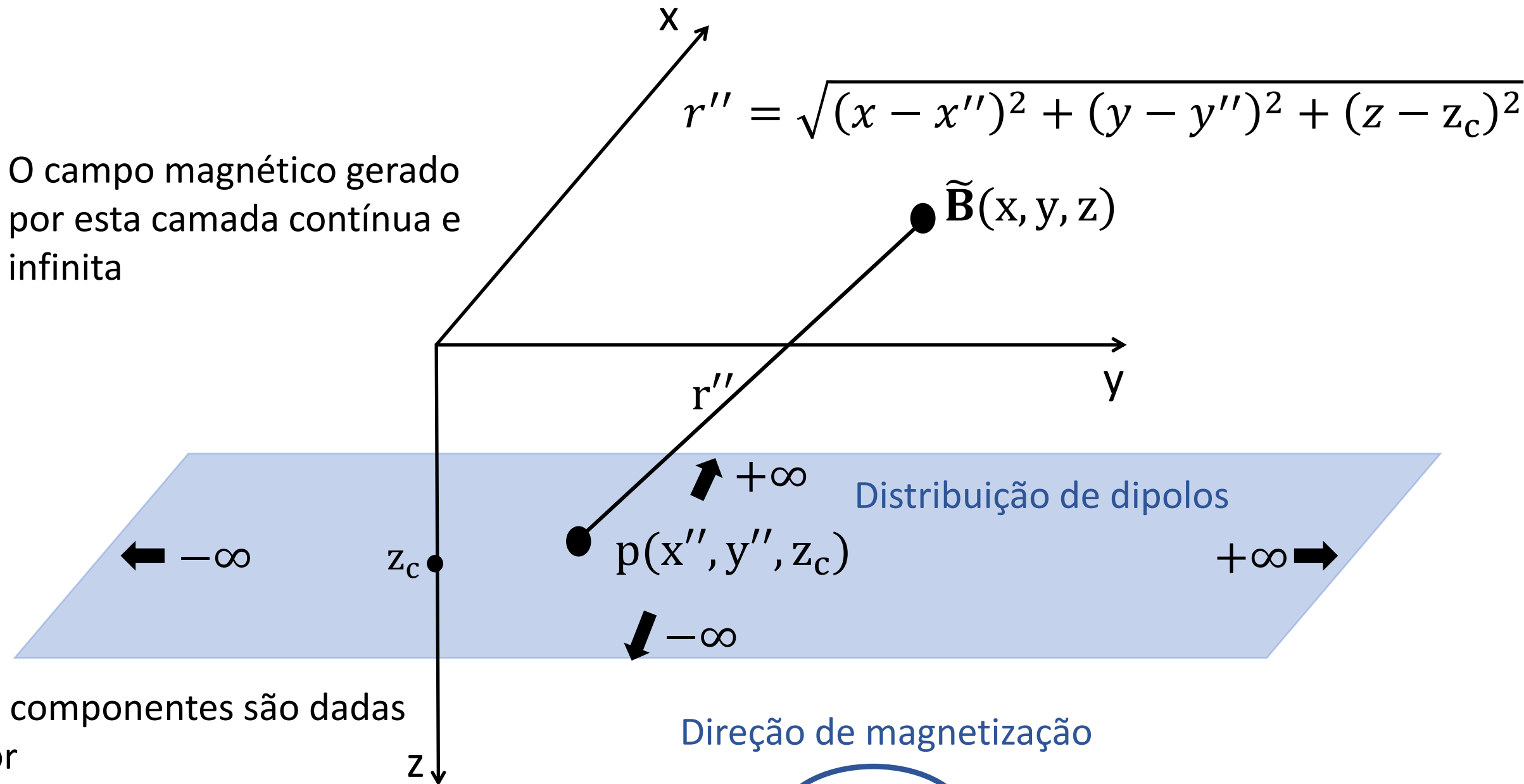
$$z_c > z$$



O campo magnético gerado por esta camada contínua e infinita

As componentes são dadas por

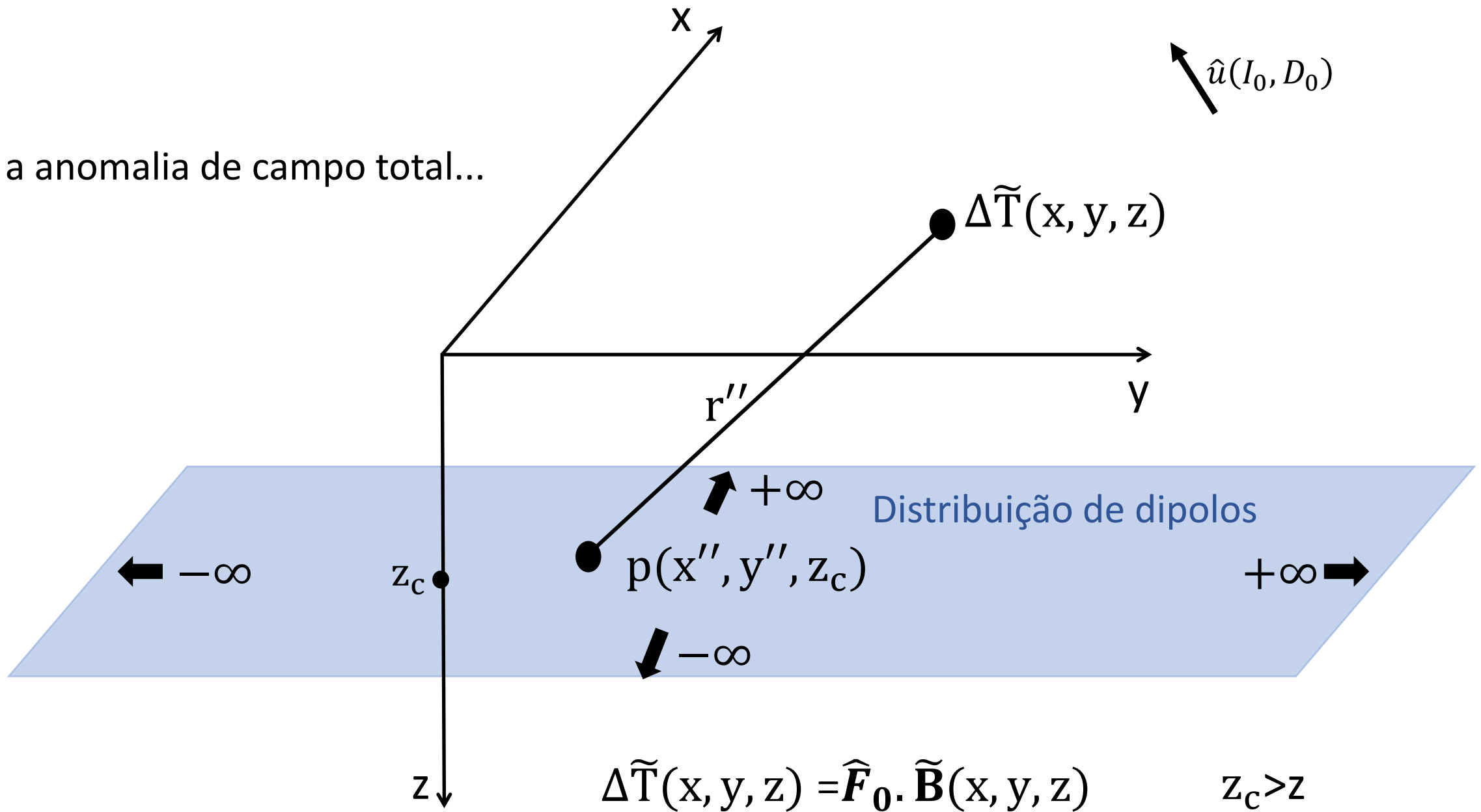
$$r'' = \sqrt{(x - x'')^2 + (y - y'')^2 + (z - z_c)^2}$$

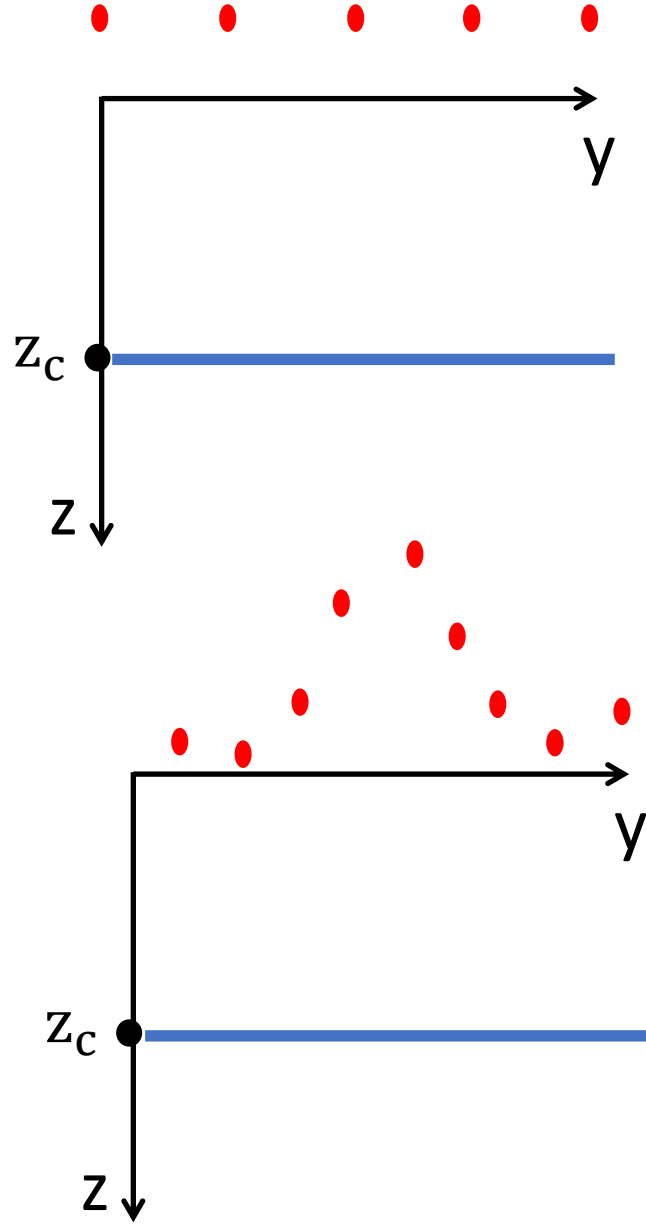
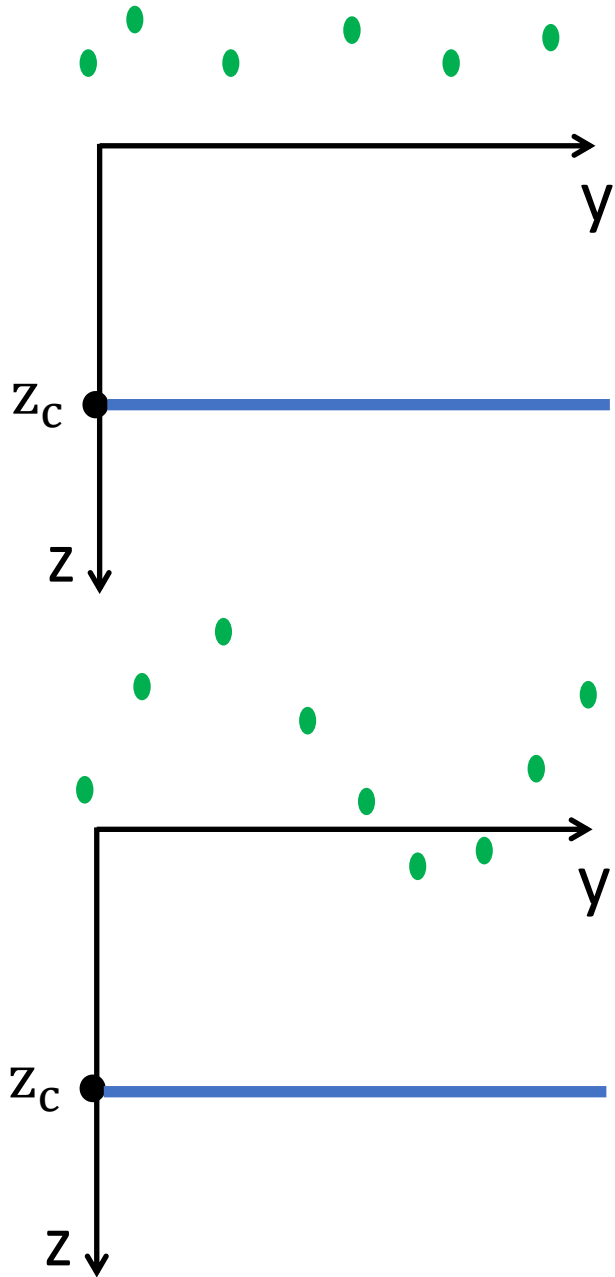


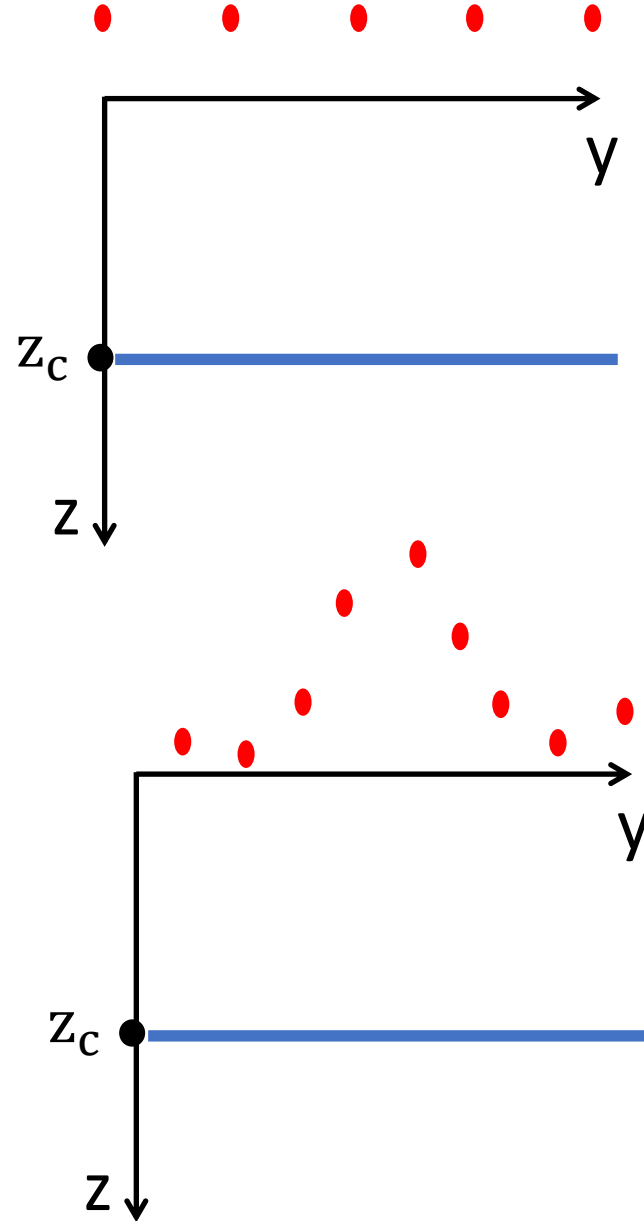
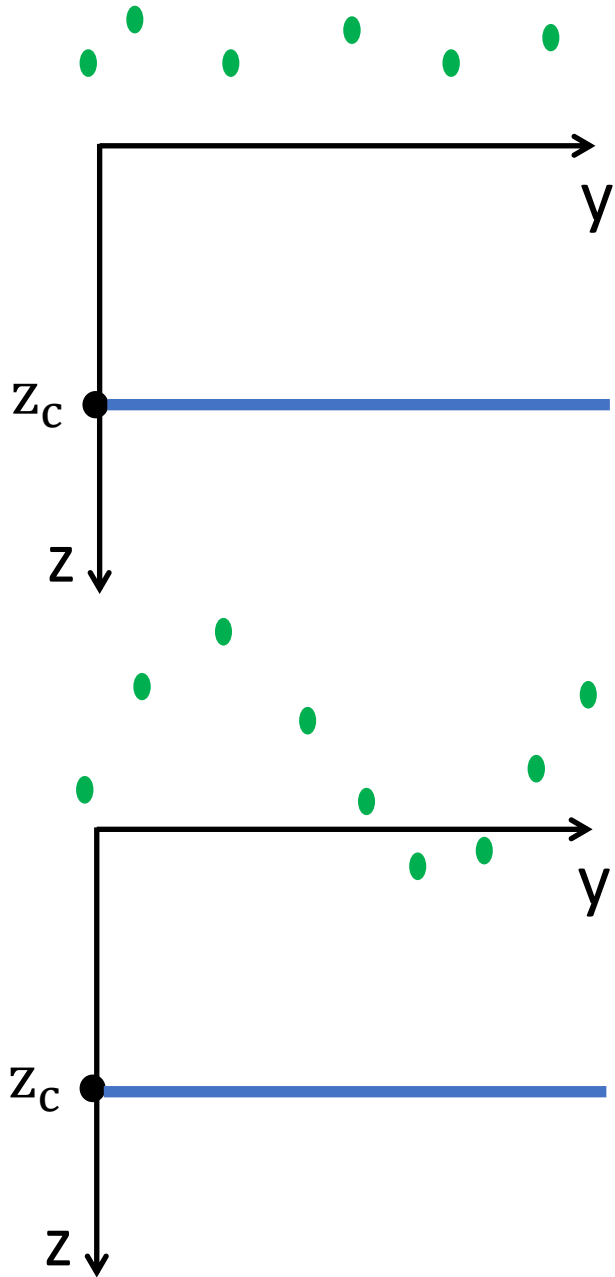
$$\widetilde{B}_\alpha(x, y, z) = \gamma_m \iint p(x'', y'', z_c) \mathbf{m} \cdot \partial_\alpha \nabla \frac{1}{r''} dS''$$

$$z_c > z$$

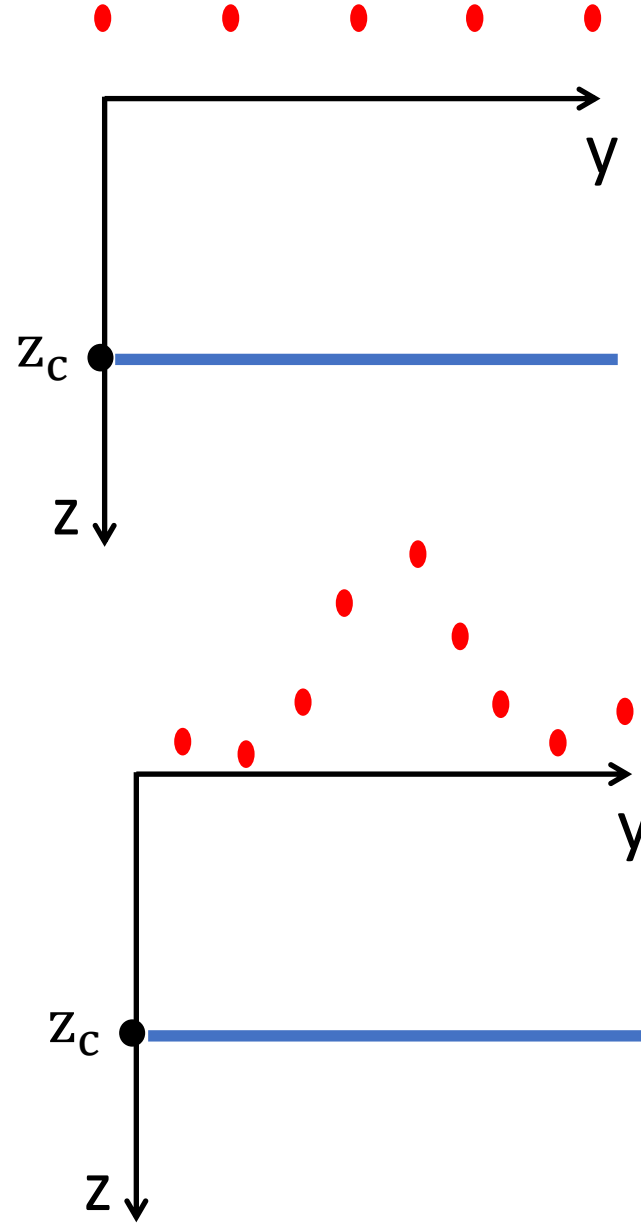
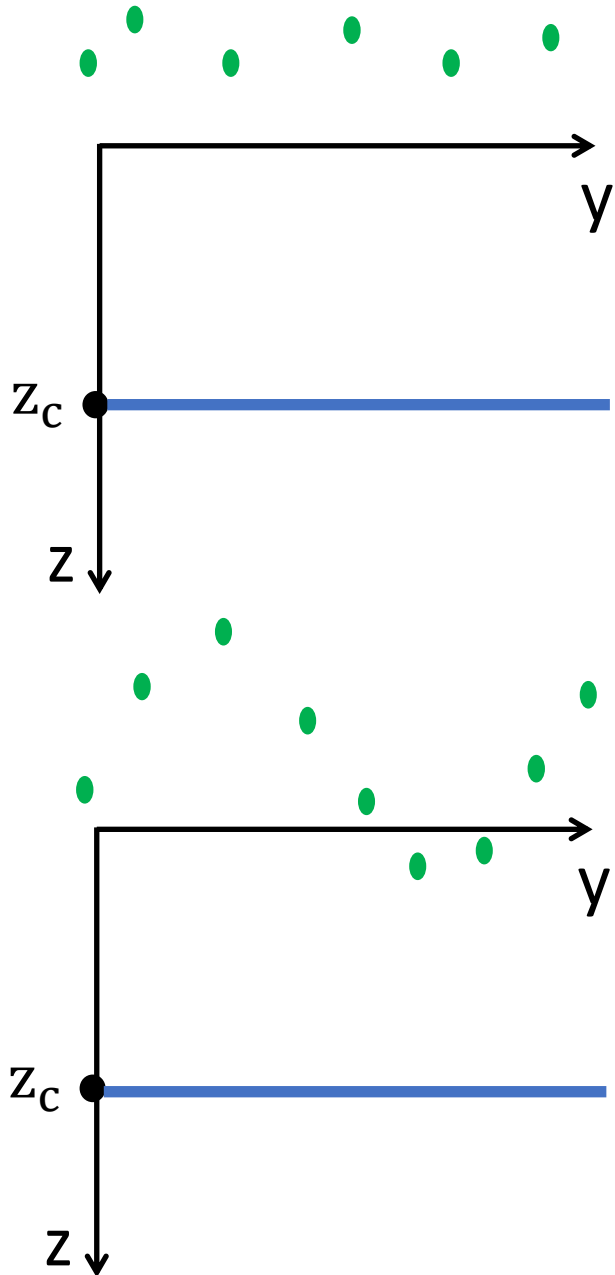
E a anomalia de campo total...





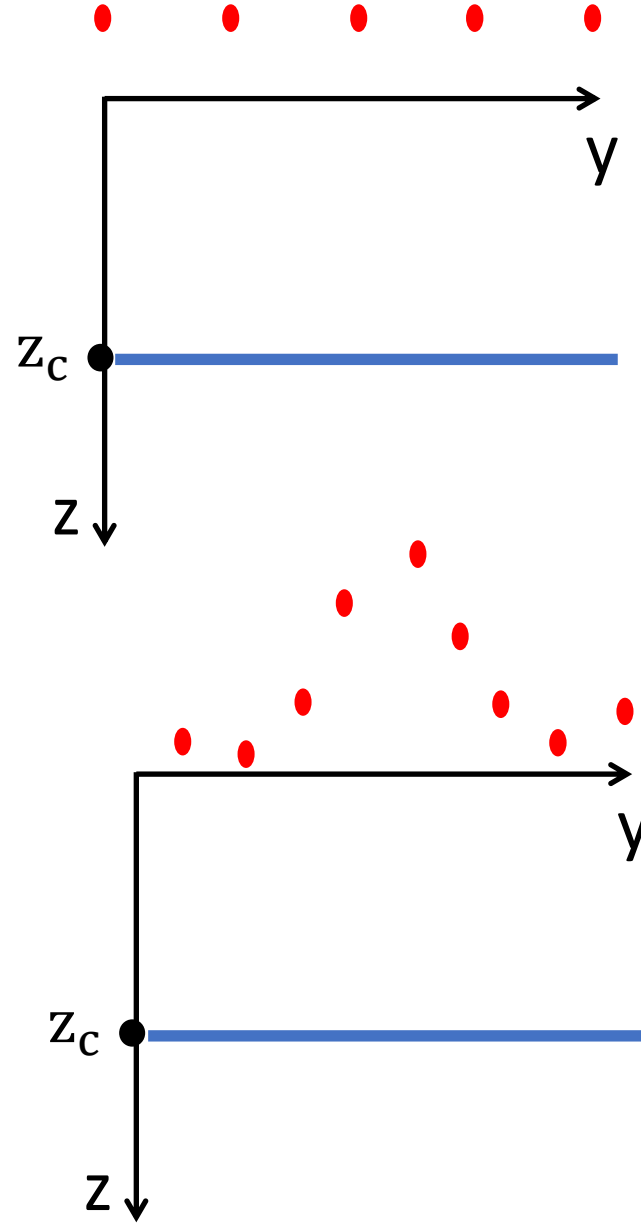
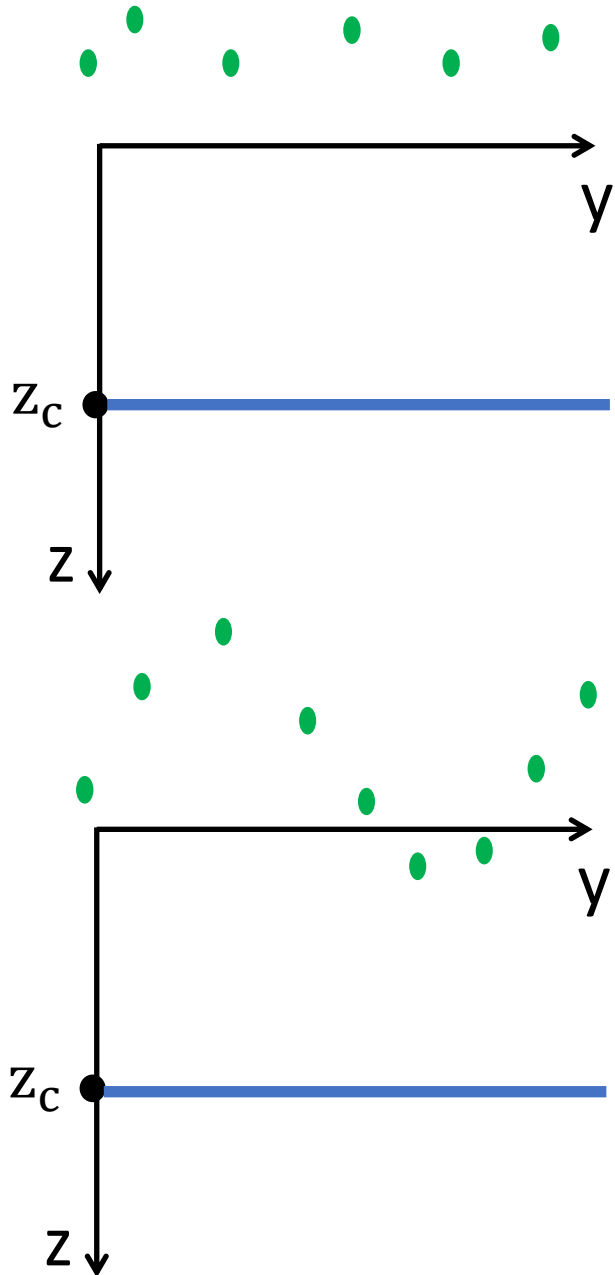


Comumente utilizada na literatura para processamento de dados potenciais no **domínio do espaço!**



Comumente utilizada na literatura para processamento de dados potenciais no **domínio do espaço!**

Tais como **interpolação**, **continuação para cima**, **redução ao polo** e algumas outras aplicações.



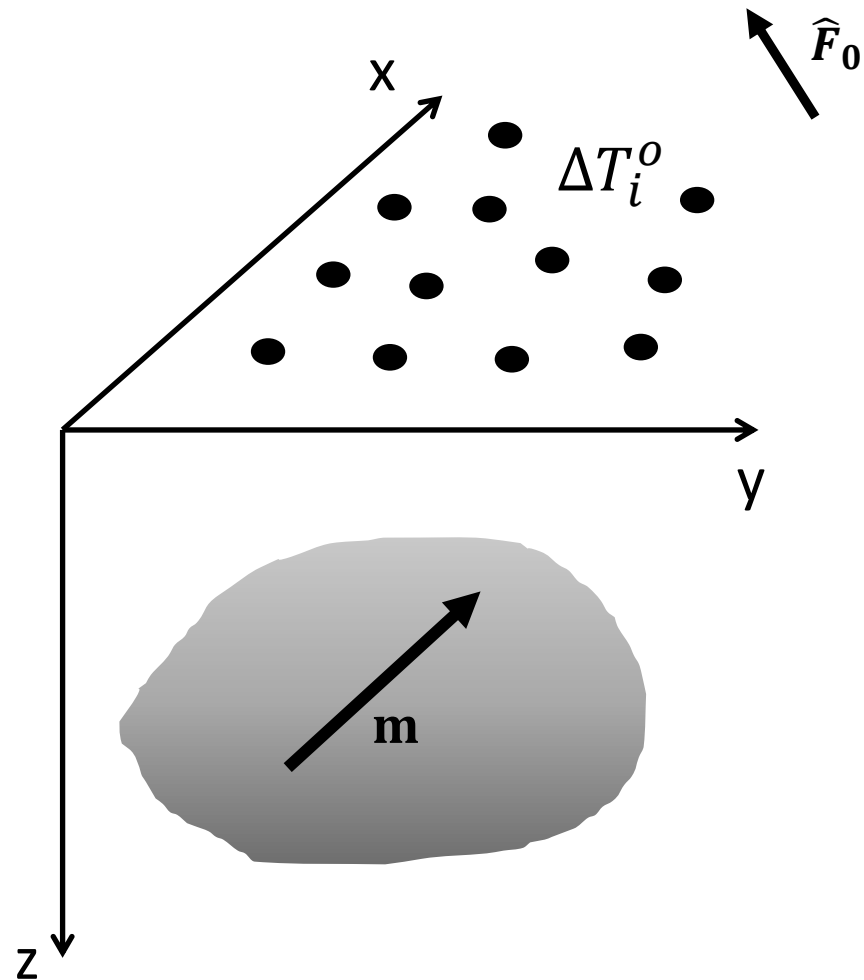
Comumente utilizada na literatura para processamento de dados potenciais no **domínio do espaço!**

Tais como **interpolação**, **continuação para cima**, **redução ao polo** e algumas outras aplicações.

Estima uma **distribuição de propriedade física** sobre a camada através de um **problema inverso linear**.

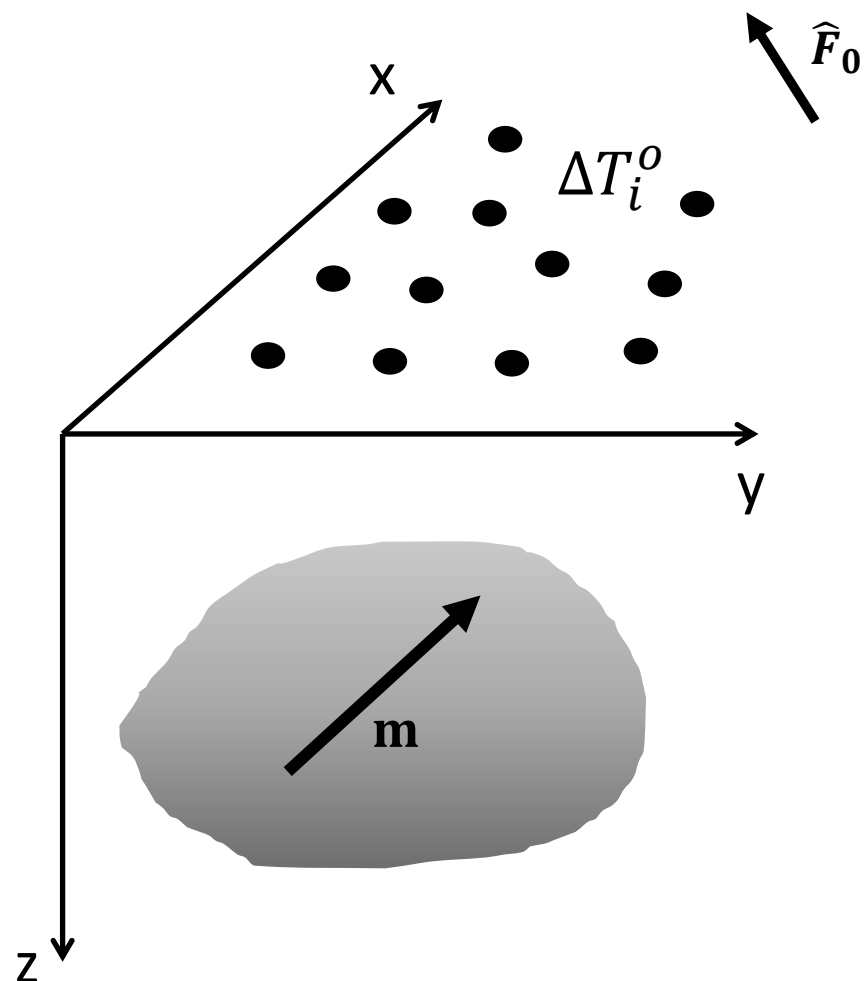
Problema direto e problema inverso da camada equivalente

Fonte geológica



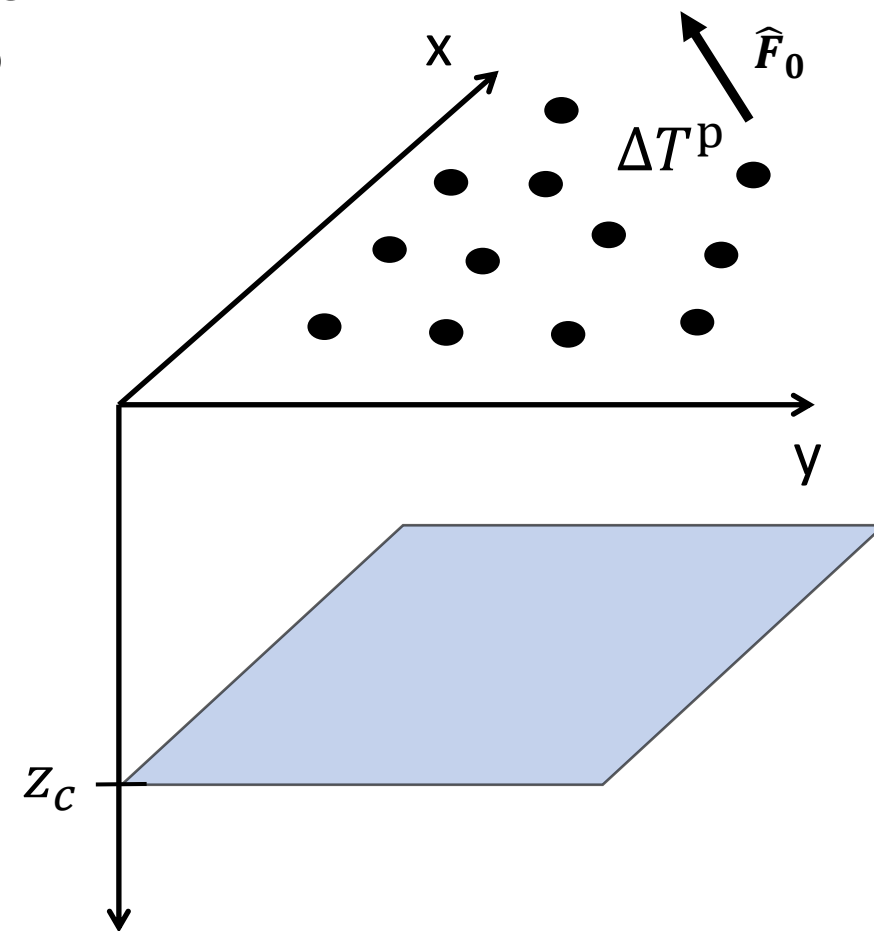
Conjunto discreto de
observações gerado
por uma **rocha**
magnetizada em
subsuperfície

Fonte geológica



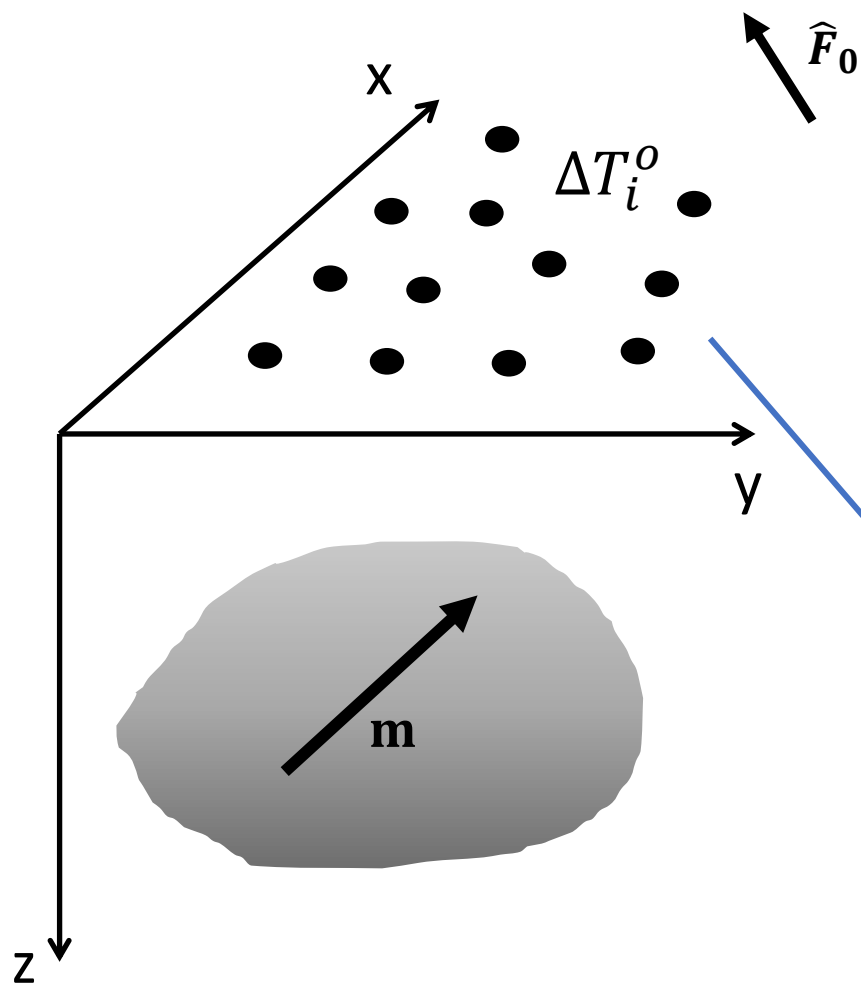
Conjunto discreto de observações gerado por uma **rocha magnetizada** em subsuperfície

Camada equivalente



Reproduzir estes dados utilizando uma camada equivalente

Fonte geológica

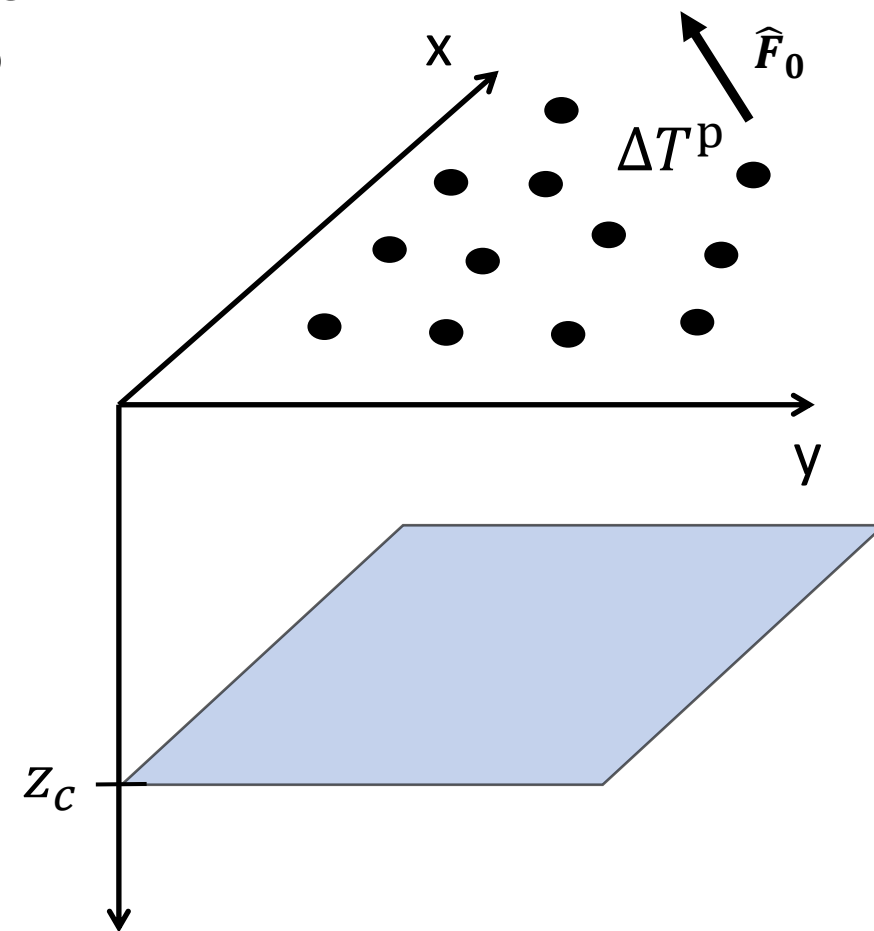


Conjunto discreto de observações gerado por uma **rocha magnetizada** em subsuperfície

$\Delta \mathbf{T}^o$
Vetor de dados observados

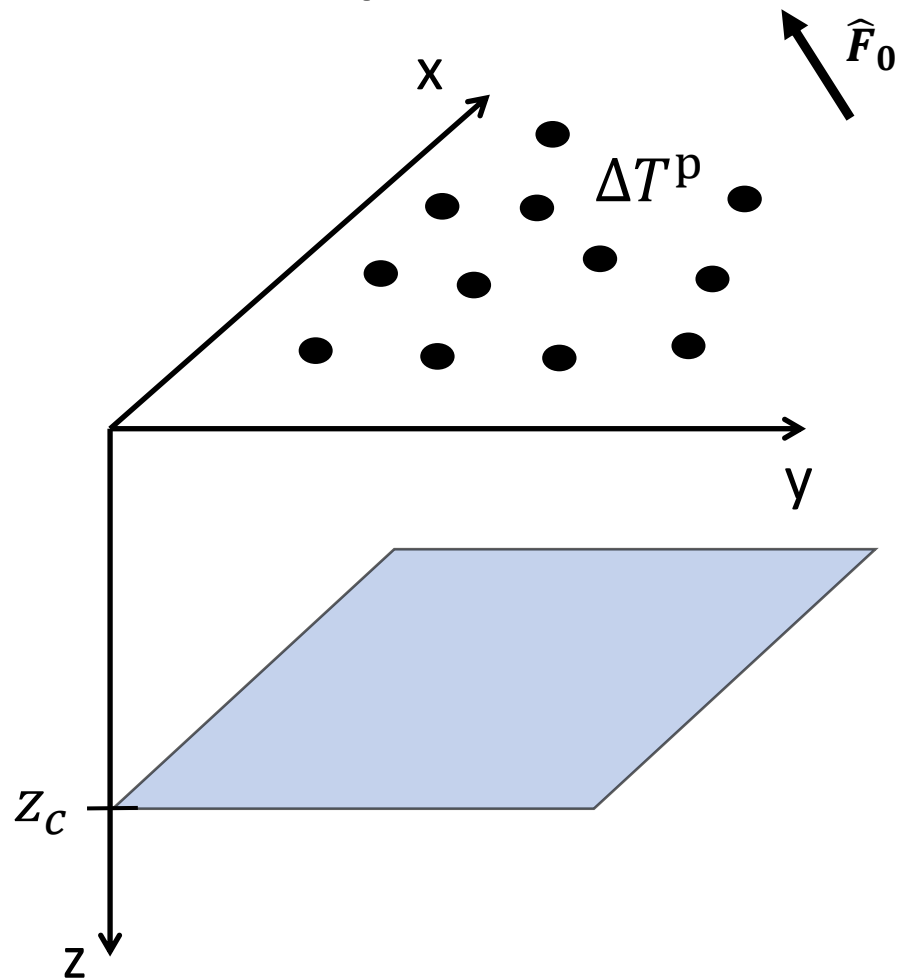
Agrupando estas observações em um vetor!

Camada equivalente

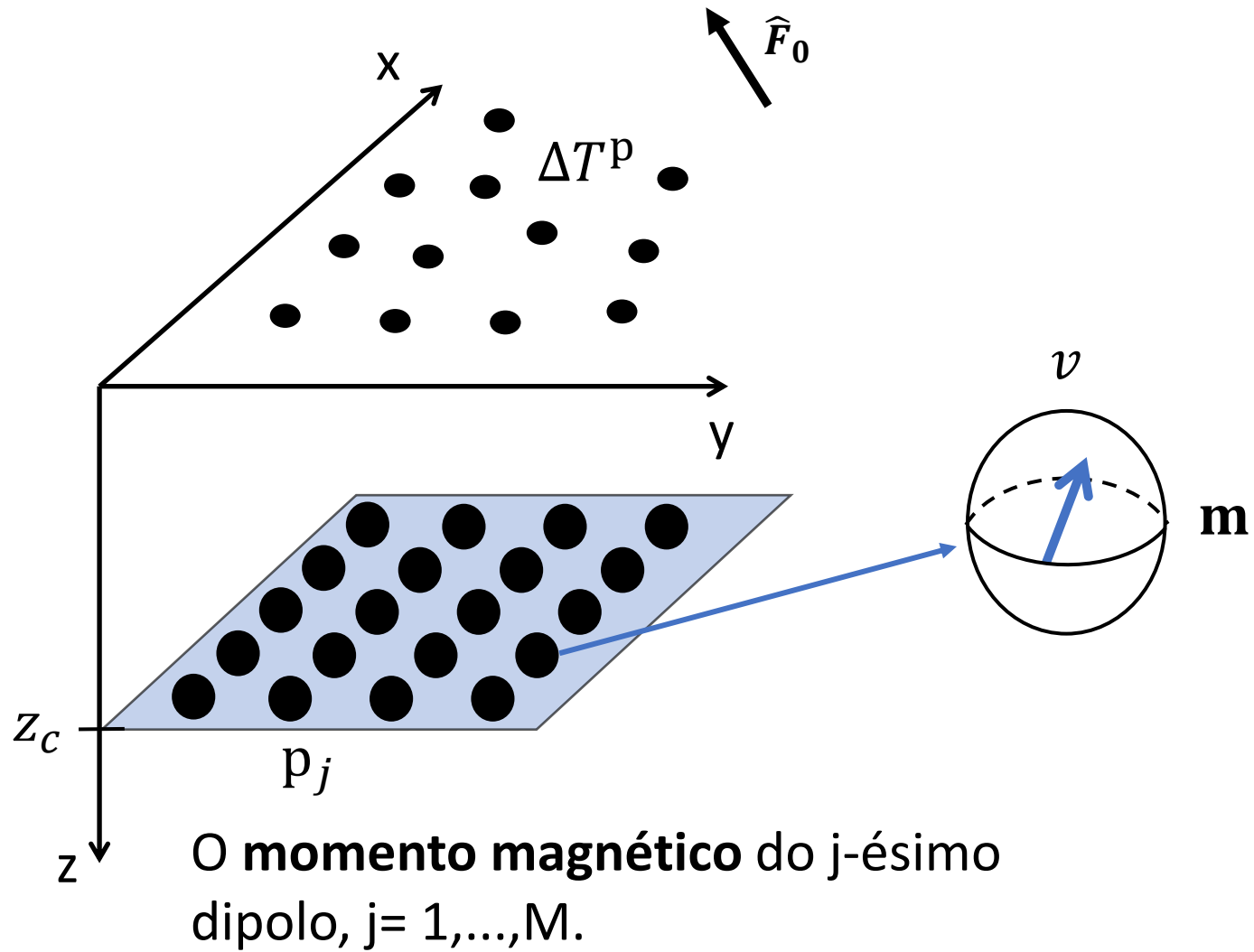


Reproduzir estes dados utilizando uma camada equivalente

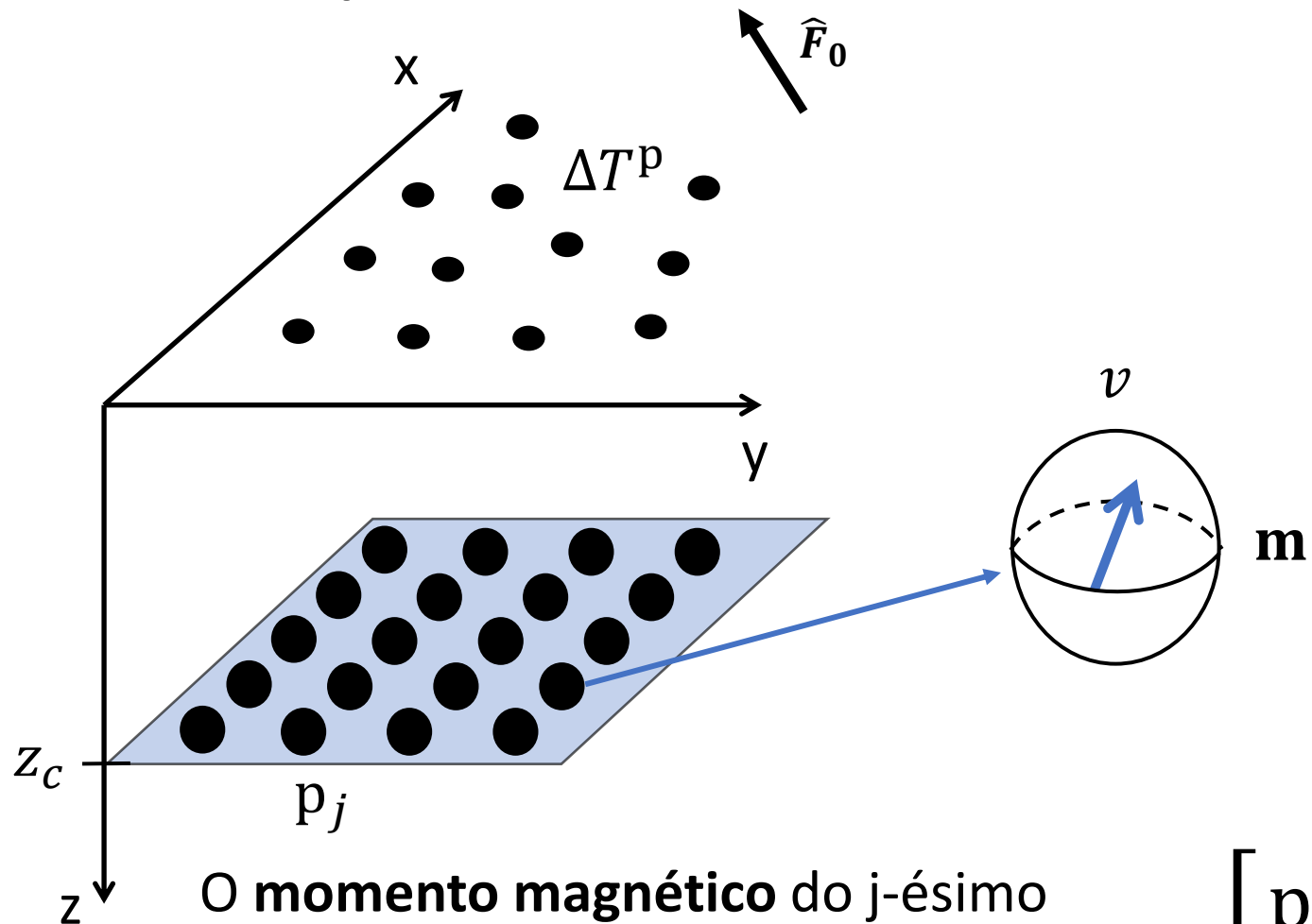
Camada equivalente



Camada equivalente



Camada equivalente

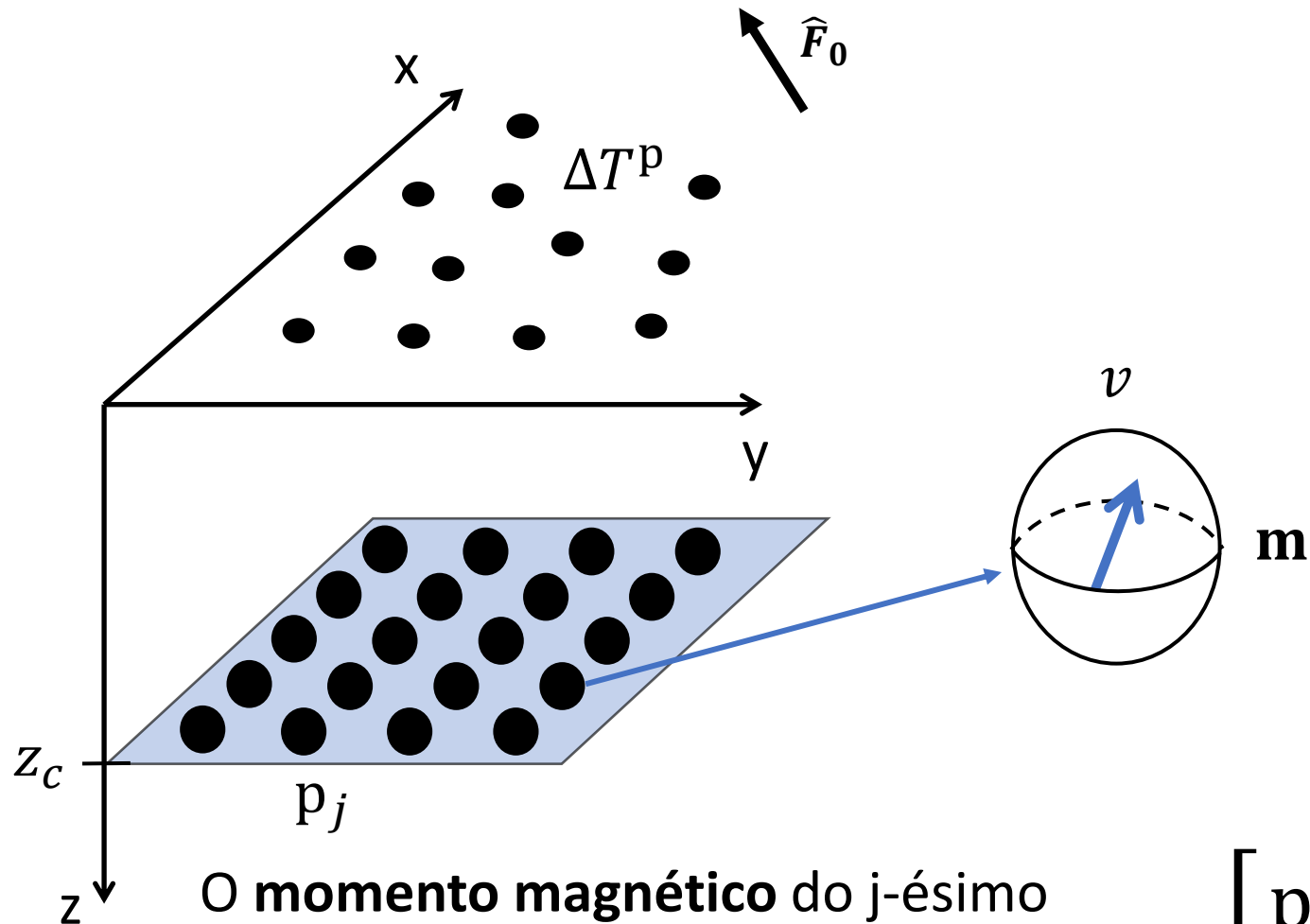


O momento magnético do j -ésimo dipolo, $j = 1, \dots, M$.

$$\mathbf{p} = \begin{bmatrix} p^1 \\ \vdots \\ p^M \end{bmatrix}$$

Vetor de parâmetros

Camada equivalente



O **momento magnético** do j -ésimo dipolo, $j = 1, \dots, M$.

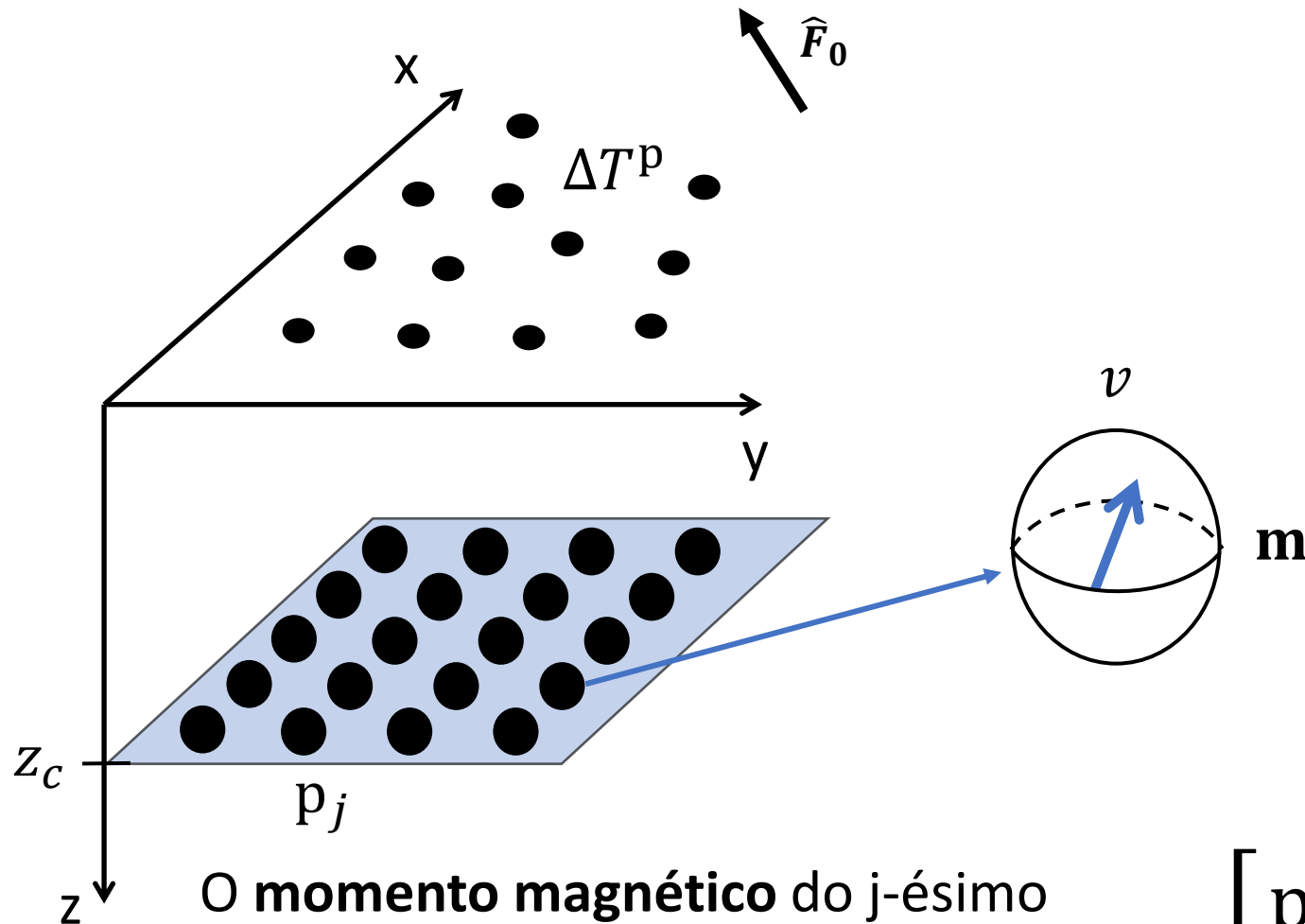
$$\mathbf{p} = \begin{bmatrix} p^1 \\ \vdots \\ p^M \end{bmatrix}$$

Vetor de parâmetros

O efeito produzido por esse conjunto de fontes no **i -ésimo ponto de observação** é dado por

$$\Delta T_i(\mathbf{p}) = \mathbf{g}_i^T \mathbf{p}$$

Camada equivalente



O **momento magnético** do j-ésimo dipolo, $j = 1, \dots, M$.

$$\mathbf{p} = \begin{bmatrix} p^1 \\ \vdots \\ p^M \end{bmatrix}$$

Vetor de parâmetros

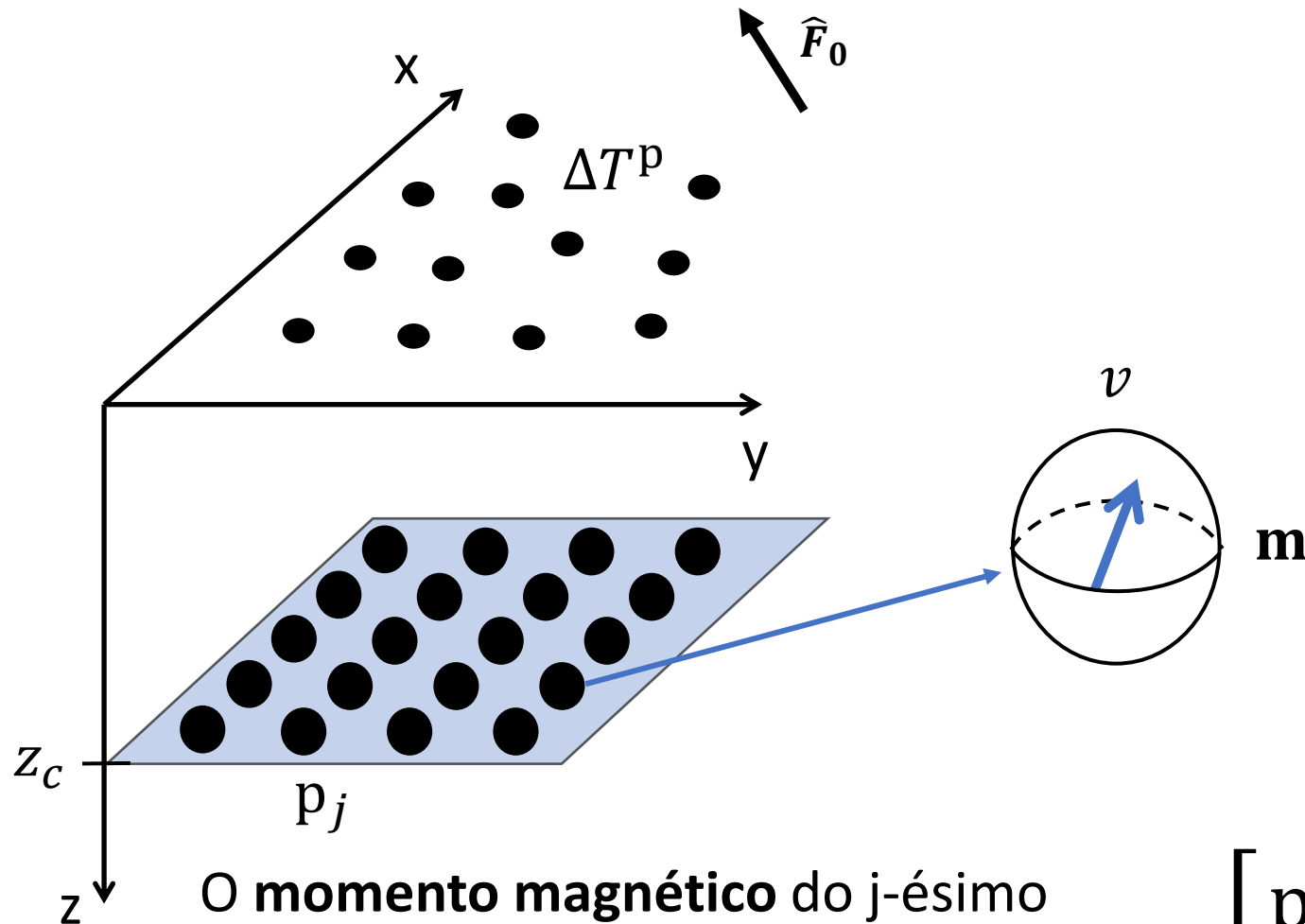
O efeito produzido por esse conjunto de fontes no **i-ésimo ponto de observação** é dado por

$$\Delta T_i(\mathbf{p}) = \mathbf{g}_i^T \mathbf{p}$$

em que o **j-ésimo** elemento do vetor \mathbf{g}_i é dado por

$$g_{ij} = \gamma_m \hat{\mathbf{F}}_0^T \mathbf{M}_{ij} \hat{\mathbf{m}}$$

Camada equivalente



O **momento magnético** do j -ésimo dipolo, $j= 1, \dots, M$.

$$\mathbf{p} = \begin{bmatrix} p^1 \\ \vdots \\ p^M \end{bmatrix}$$

Vetor de parâmetros

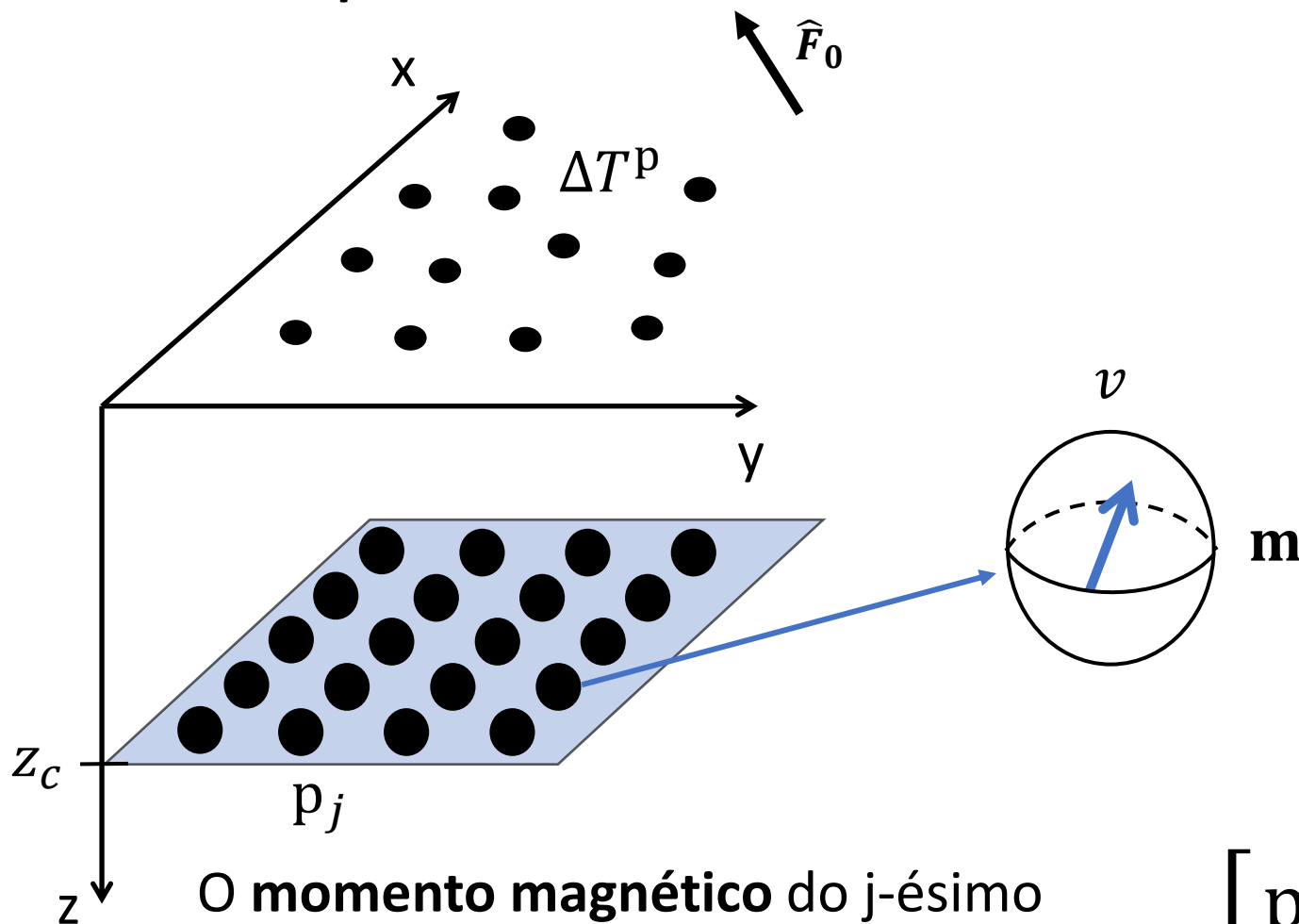
O efeito produzido por esse conjunto de fontes no **i -ésimo ponto de observação** é dado por

$$\Delta T_i(\mathbf{p}) = \mathbf{g}_i^T \mathbf{p}$$

em que o **j -ésimo** elemento do vetor \mathbf{g}_i é dado por

$$g_{ij} = \gamma_m \hat{F}_0^T \mathbf{M}_{ij} \hat{\mathbf{m}}$$

Camada equivalente



O **momento magnético** do j -ésimo dipolo, $j = 1, \dots, M$.

$$\mathbf{p} = \begin{bmatrix} p^1 \\ \vdots \\ p^M \end{bmatrix}$$

Vetor de parâmetros

O efeito produzido por esse conjunto de fontes no **i -ésimo ponto de observação** é dado por

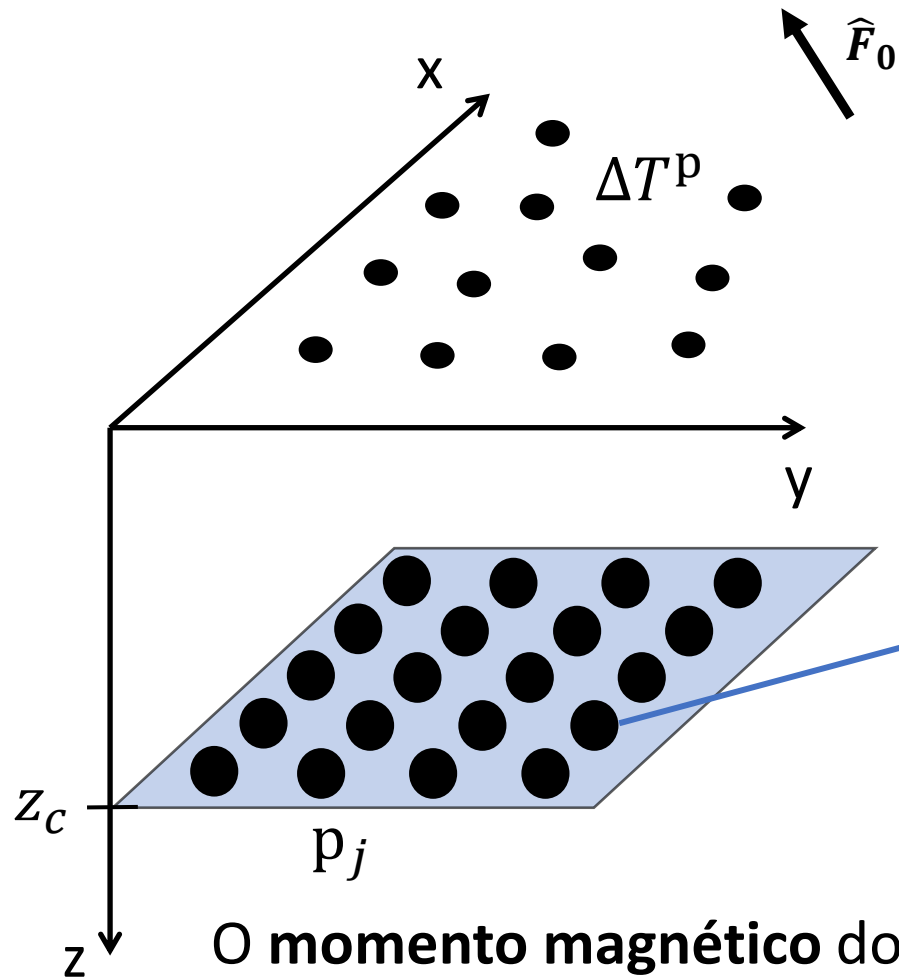
$$\Delta T_i(\mathbf{p}) = \mathbf{g}_i^T \mathbf{p}$$

em que o **j -ésimo** elemento do vetor \mathbf{g}_i é dado por

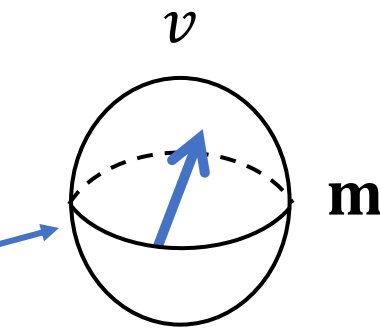
$$g_{ij} = \gamma_m \hat{\mathbf{F}}_0^T \mathbf{M}_{ij} \hat{\mathbf{m}}$$

$$\mathbf{M}_{ij} = \begin{bmatrix} \partial_{xx} \frac{1}{r''} & \partial_{xy} \frac{1}{r''} & \partial_{xz} \frac{1}{r''} \\ \partial_{yx} \frac{1}{r''} & \partial_{yy} \frac{1}{r''} & \partial_{yz} \frac{1}{r''} \\ \partial_{zx} \frac{1}{r''} & \partial_{zy} \frac{1}{r''} & \partial_{zz} \frac{1}{r''} \end{bmatrix}$$

Camada equivalente



O **momento magnético** do j -ésimo dipolo, $j = 1, \dots, M$.



$$\mathbf{p} = \begin{bmatrix} p^1 \\ \vdots \\ p^M \end{bmatrix}$$

Vetor de parâmetros

O efeito produzido por esse conjunto de fontes no **i -ésimo ponto de observação** é dado por

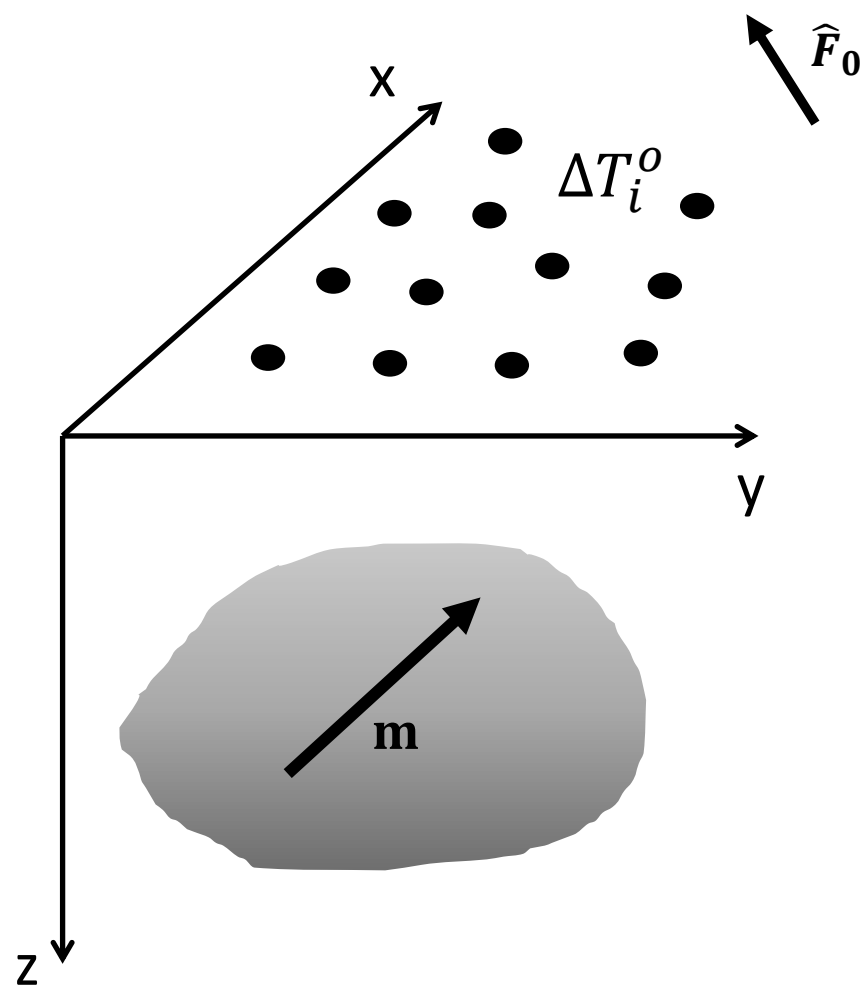
$$\Delta T_i(\mathbf{p}) = \mathbf{g}_i^T \mathbf{p}$$

em que o **j -ésimo** elemento do vetor \mathbf{g}_i é dado por

$$g_{ij} = \gamma_m \hat{\mathbf{F}}_0^T \mathbf{M}_{ij} \hat{\mathbf{m}}$$

$$\mathbf{M}_{ij} = \begin{bmatrix} \partial_{xx} \frac{1}{r''} & \partial_{xy} \frac{1}{r''} & \partial_{xz} \frac{1}{r''} \\ \partial_{yx} \frac{1}{r''} & \partial_{yy} \frac{1}{r''} & \partial_{yz} \frac{1}{r''} \\ \partial_{zx} \frac{1}{r''} & \partial_{zy} \frac{1}{r''} & \partial_{zz} \frac{1}{r''} \end{bmatrix}$$

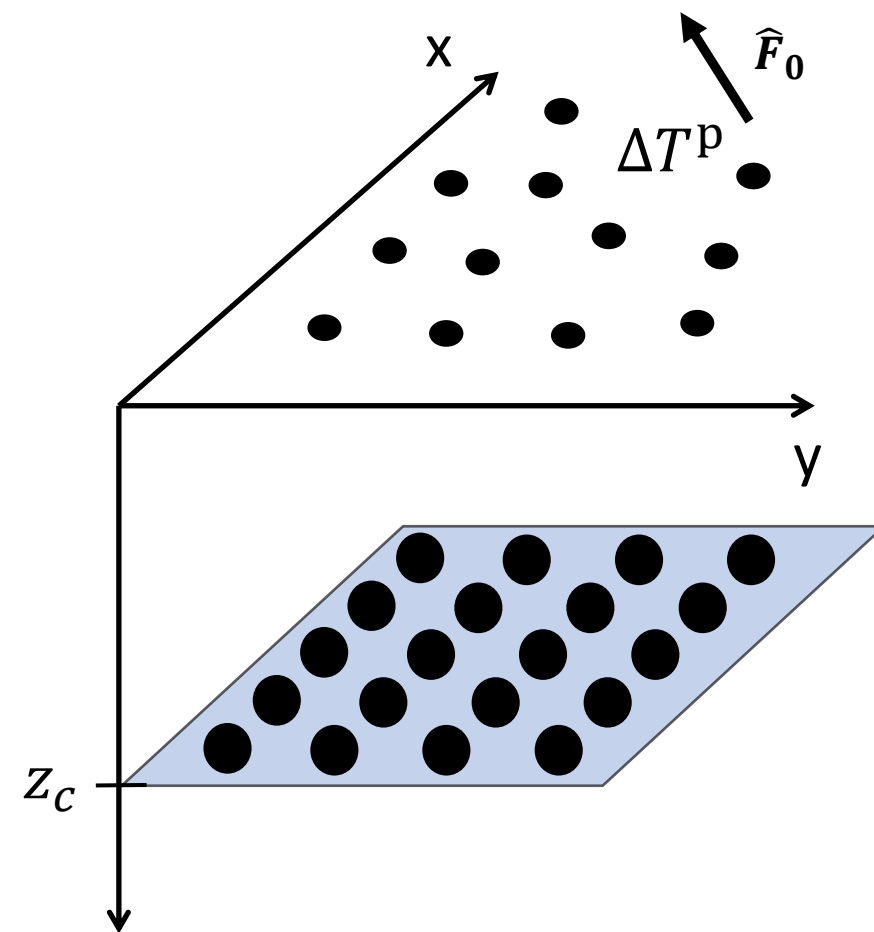
Fonte geológica



ΔT^o

Vetor de dados
observados

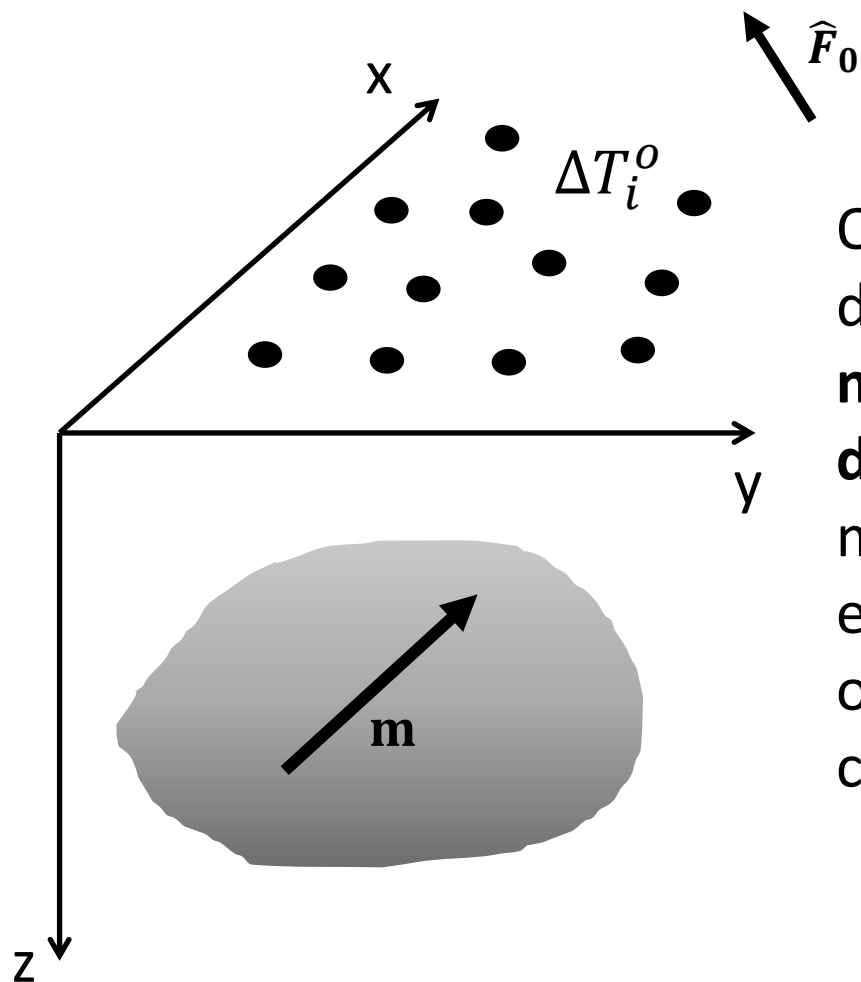
Camada equivalente



$\Delta T(p)$

Vetor de dados
preditos

Fonte geológica

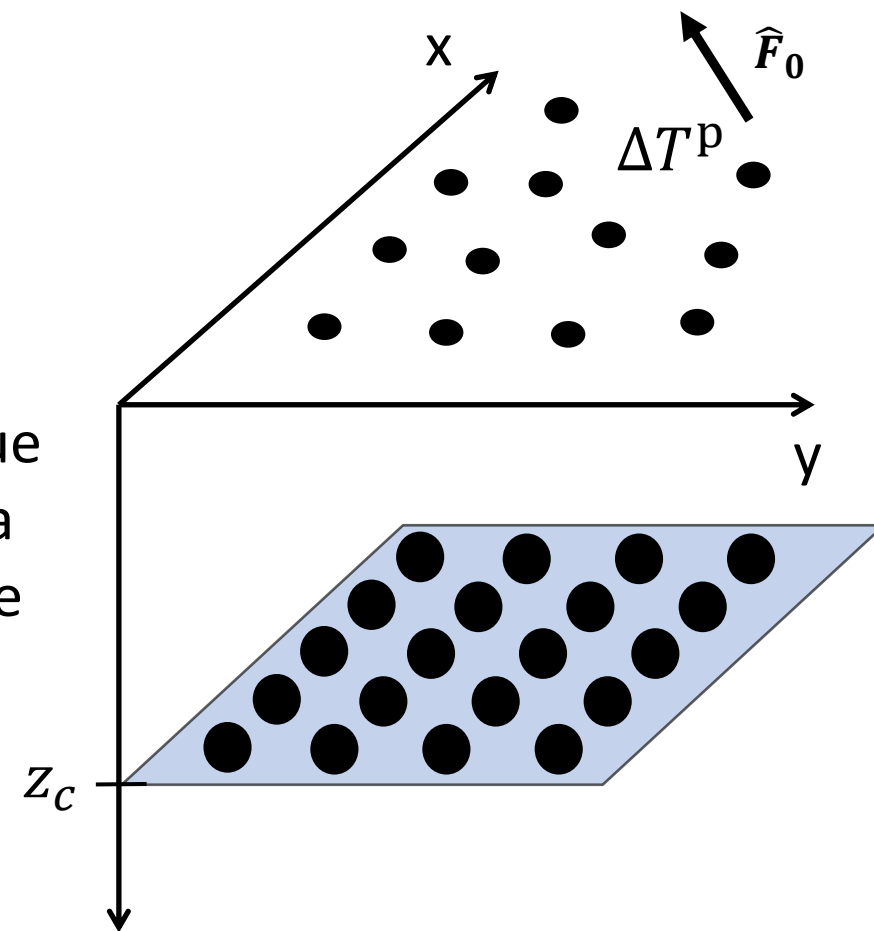


Queremos estimar uma distribuição de **momentos magnético positiva** e uma **direção de magnetização** que minimiza a norma Euclidiana entre os **dados observados** e os **dados preditos** pela camada

ΔT^o

Vetor de dados
observados

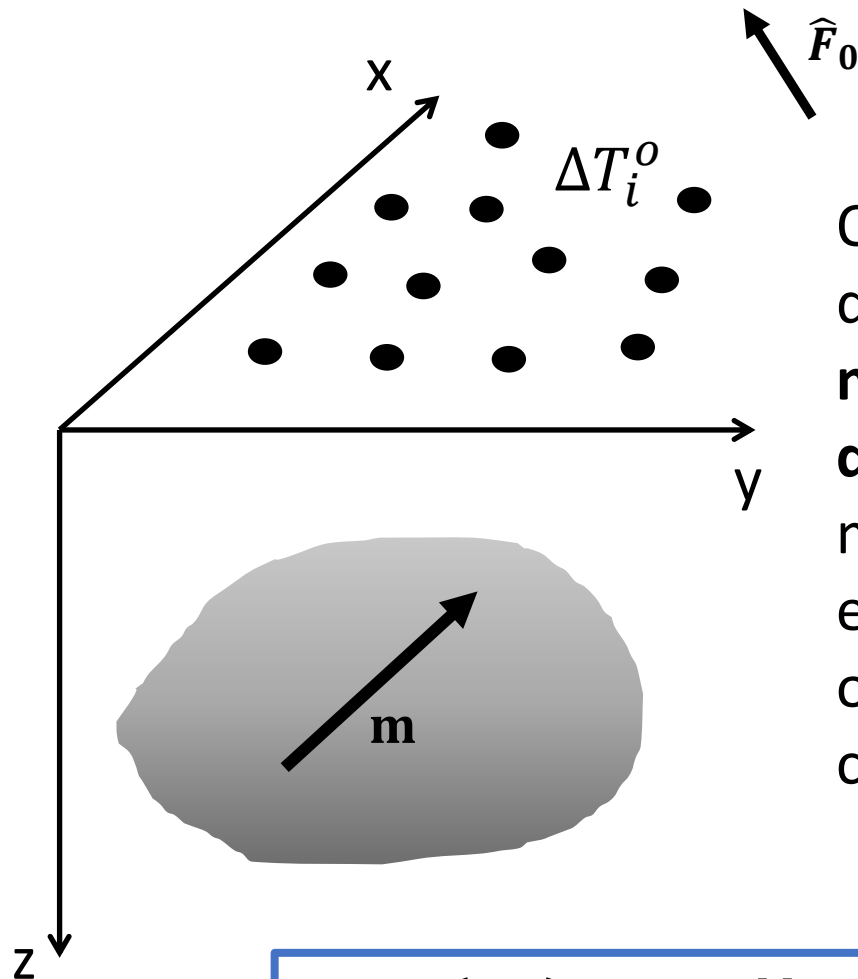
Camada equivalente



$\Delta T(p)$

Vetor de dados
preditos

Fonte geológica



Queremos estimar uma distribuição de **momentos magnético positiva** e uma **direção de magnetização** que minimiza a norma Euclidiana entre os **dados observados** e os **dados preditos** pela camada

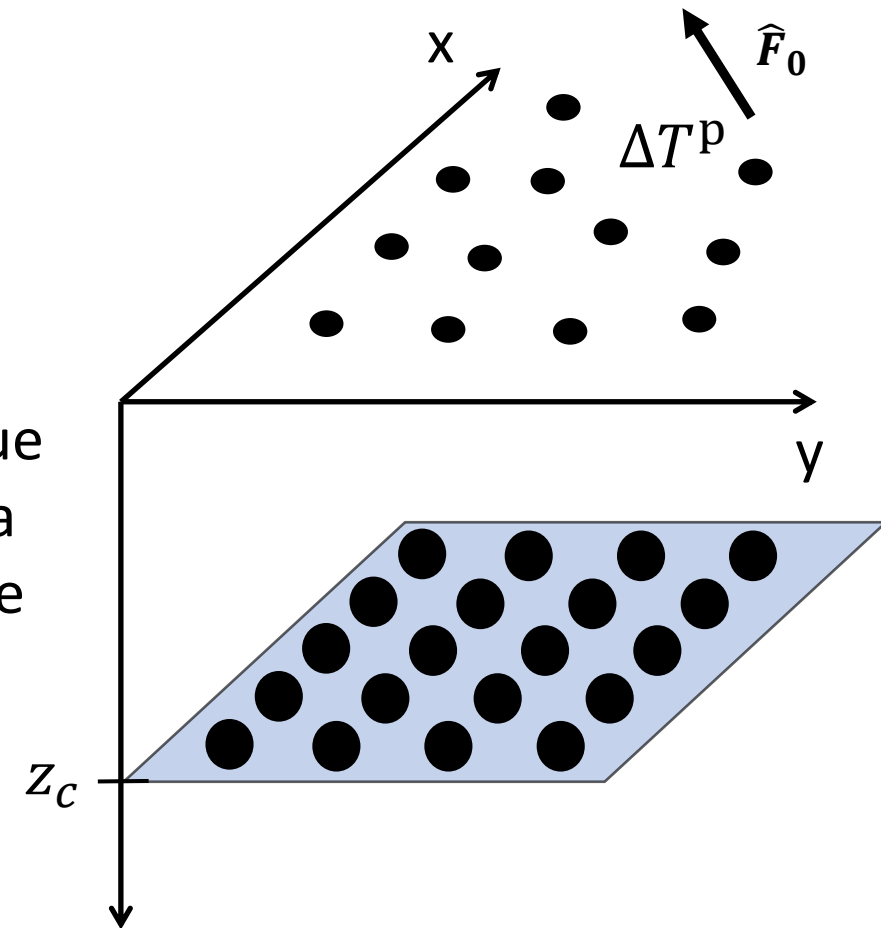
Função objetivo

$$\psi(\mathbf{p}) = \|\Delta\mathbf{T}^o - \Delta\mathbf{T}(\mathbf{p})\|_2^2 + \mu\|\mathbf{p}\|_2^2$$

$\Delta\mathbf{T}^o$

Vetor de dados
observados

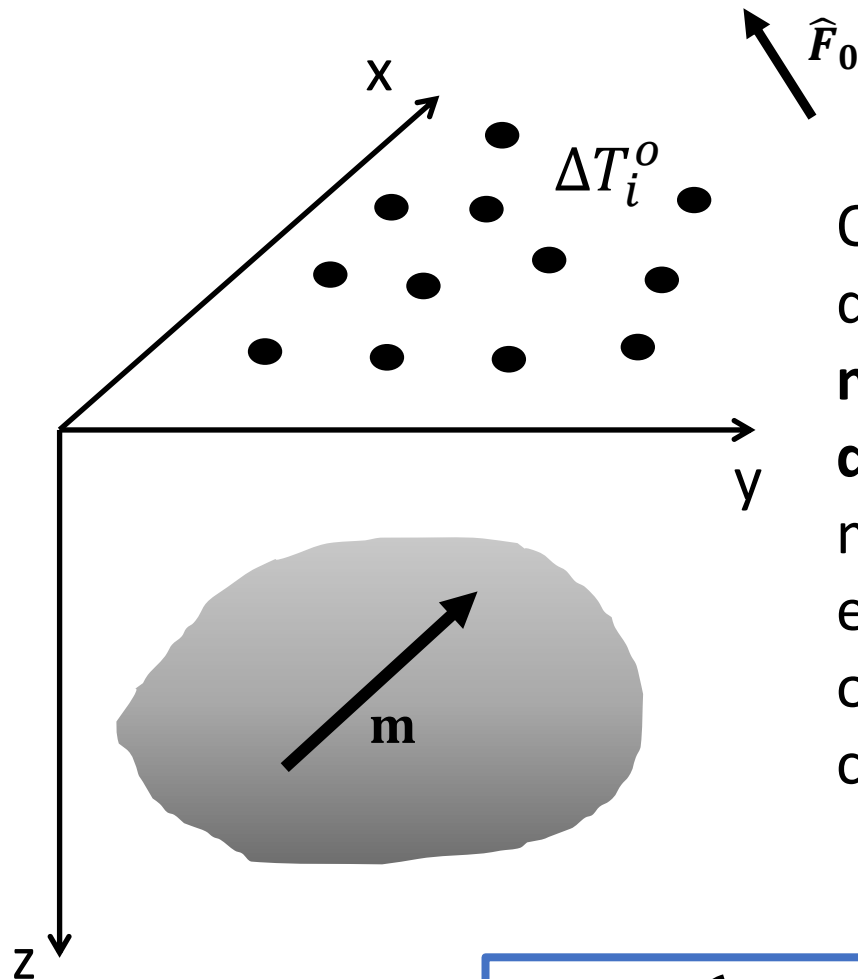
Camada equivalente



$\Delta\mathbf{T}(\mathbf{p})$

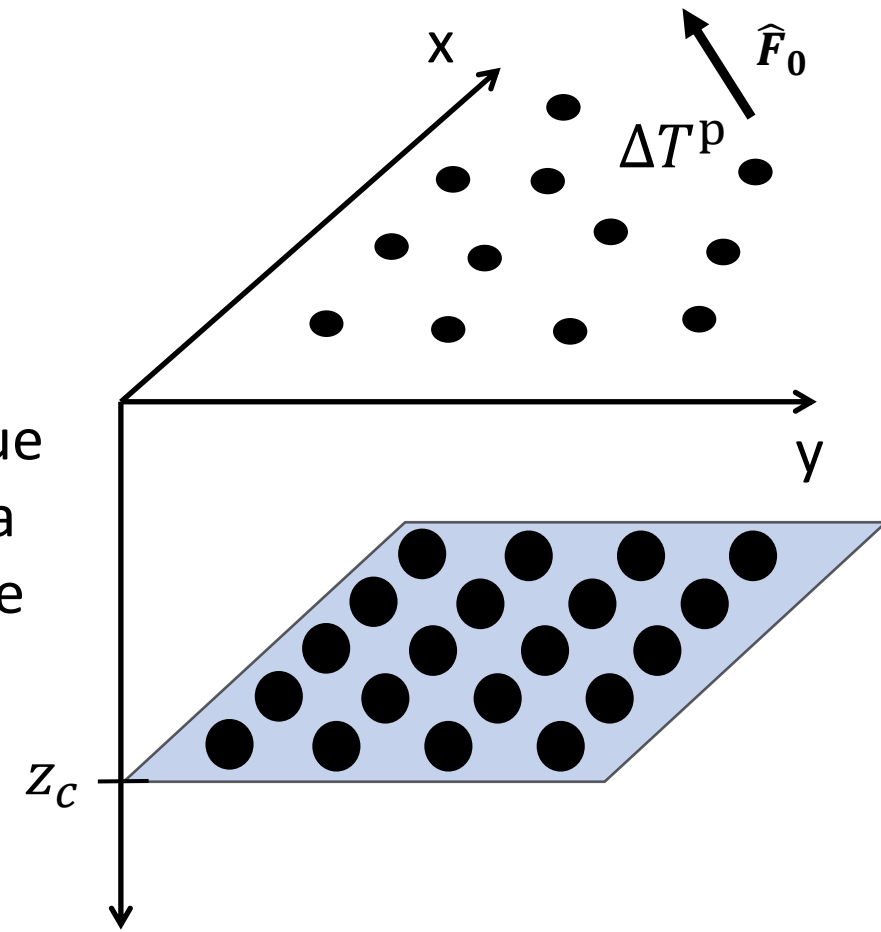
Vetor de dados
preditos

Fonte geológica



Queremos estimar uma distribuição de **momentos magnético positiva** e uma **direção de magnetização** que minimiza a norma Euclidiana entre os **dados observados** e os **dados preditos** pela camada

Camada equivalente



$$(\mathbf{G}^T \mathbf{G} + \mu \mathbf{I}) \bar{\mathbf{p}} = \mathbf{G}^T \Delta \mathbf{T}^o$$

$\Delta \mathbf{T}^o$

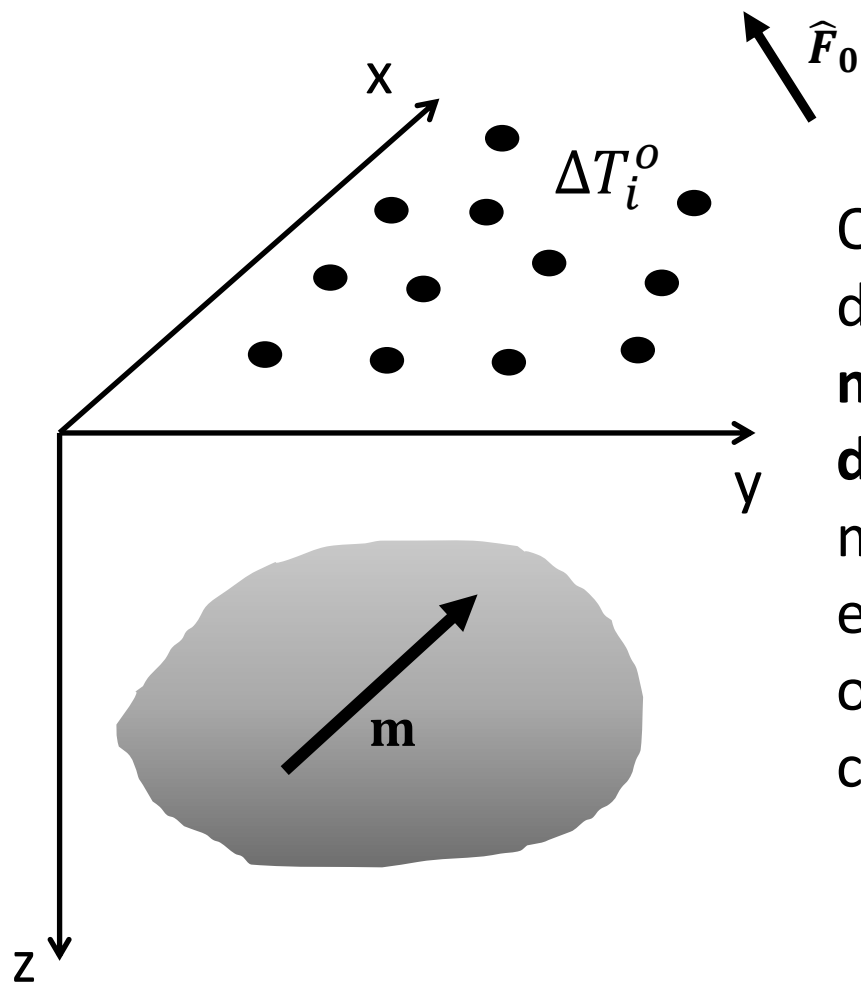
Vetor de dados
observados

Estimador de mínimos quadrados
regularizado

$\Delta \mathbf{T}(p)$

Vetor de dados
preditos

Fonte geológica



ΔT^o

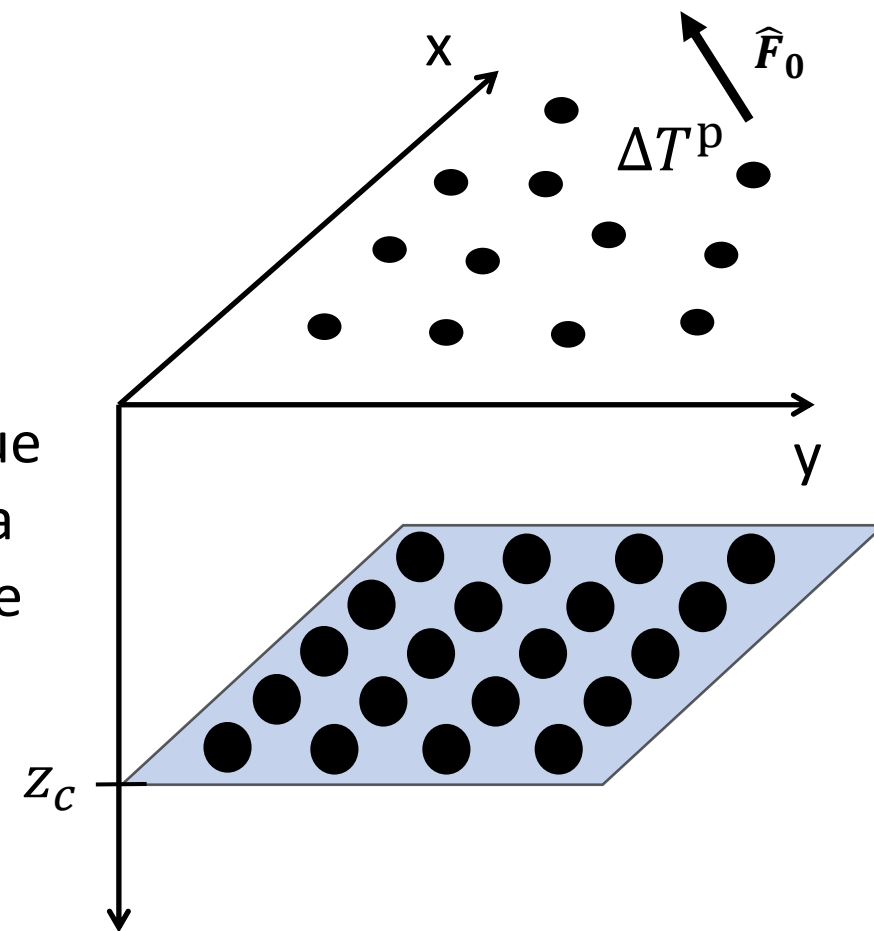
Vetor de dados
observados

Queremos estimar uma
distribuição de **momentos
magnético positiva** e uma
direção de magnetização que
minimiza a norma Euclidiana
entre os **dados observados** e
os **dados preditos** pela
camada

$$\Delta T = T \bar{p}$$

Dado transformado

Camada equivalente



$\Delta T(p)$

Vetor de dados
preditos

Redução ao polo utilizando a Camada equivalente

Simulação numérica

Prisma alongado no eixo x

$$h = 100 \text{ m}$$

$$(Nx, Ny) = (100, 50)$$

$$(dx, dy) = (20, 40)$$

Simulação numérica

Prisma alongado no eixo x

$$h = 100 \text{ m}$$

$$(Nx, Ny) = (100, 50)$$

$$(dx, dy) = (20, 40)$$

$$(I_0, D_0) = (-15^\circ, -15^\circ)$$

**Direção do campo
geomagnético**

$$(I, D) = (-40^\circ, -50^\circ)$$

**Direção de
magnetização
verdadeira**

Simulação numérica

Prisma alongado no eixo x

$$h = 100 \text{ m}$$

$$(Nx, Ny) = (100, 50)$$

$$(dx, dy) = (20, 40)$$

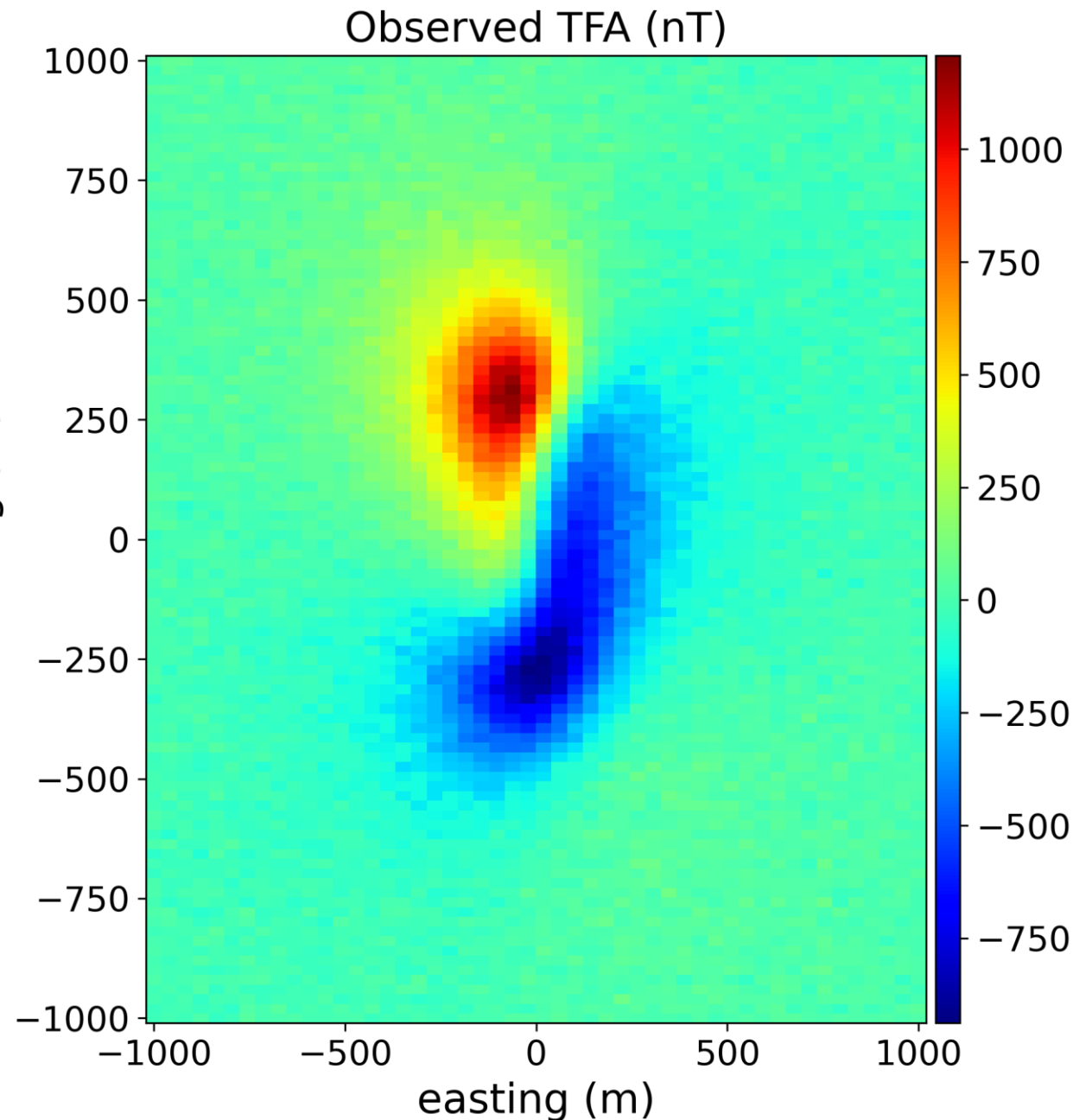
$$(I_0, D_0) = (-15^\circ, -15^\circ)$$

**Direção do campo
geomagnético**

$$(I, D) = (-40^\circ, -50^\circ)$$

**Direção de
magnetização
verdadeira**

Os dados foram
contaminados com
ruído gaussiano de
média zero e 25 nT!



Resultado da inversão

$$(I_0, D_0) = (-15^\circ, -15^\circ)$$

**Direção do campo
geomagnético**

$$(I, D) = (-40^\circ, -50^\circ)$$

**Direção de
magnetização do
corpo**

$$(I, D) = (-40^\circ, -50^\circ)$$

**Direção de
magnetização dos
dipolos**

Resultado da inversão

$$(I_0, D_0) = (-15^\circ, -15^\circ)$$

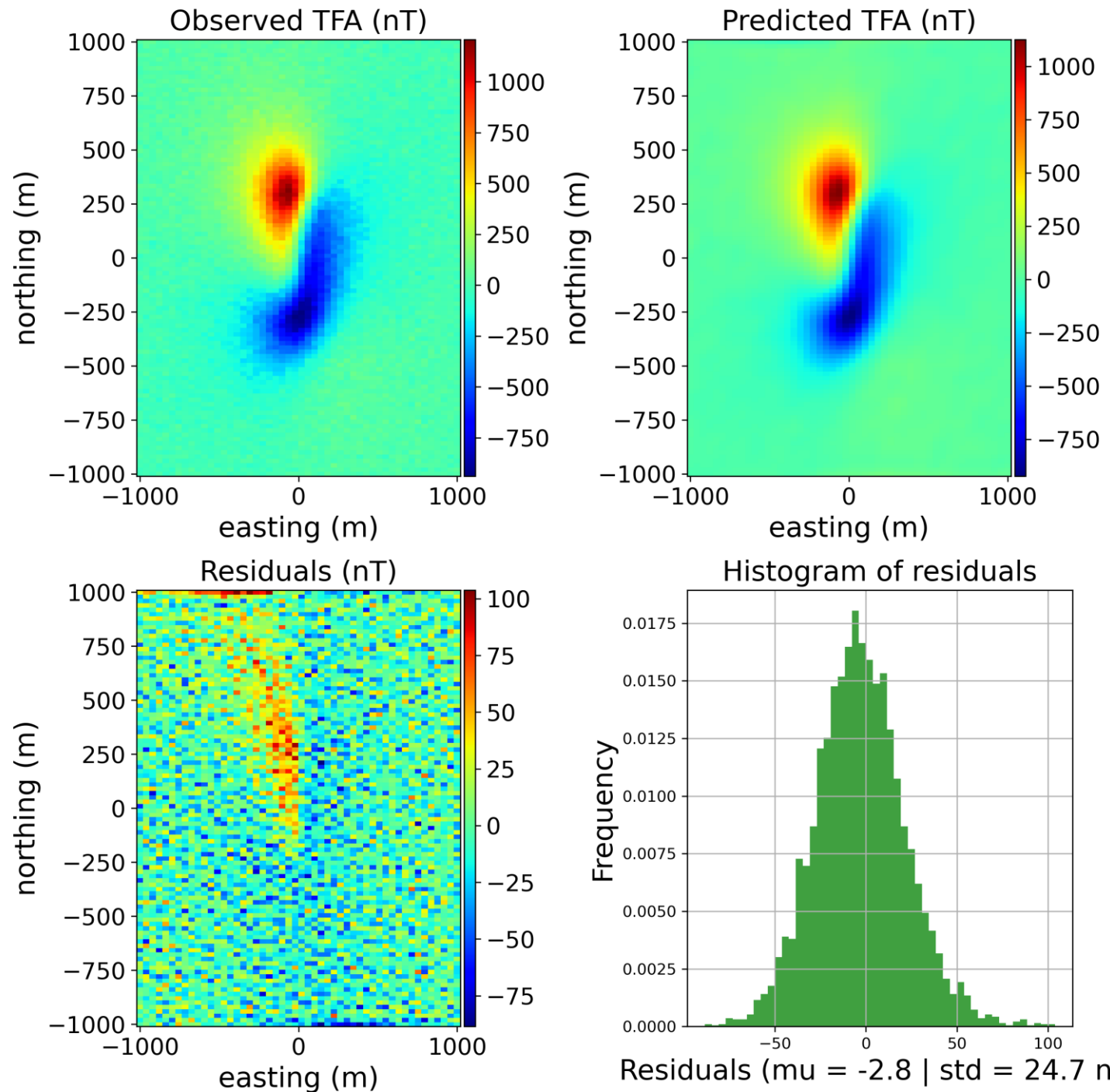
**Direção do campo
geomagnético**

$$(I, D) = (-40^\circ, -50^\circ)$$

**Direção de
magnetização do
corpo**

$$(I, D) = (-40^\circ, -50^\circ)$$

**Direção de
magnetização dos
dipolos**



Resultado da inversão

$$(I_0, D_0) = (-15^\circ, -15^\circ)$$

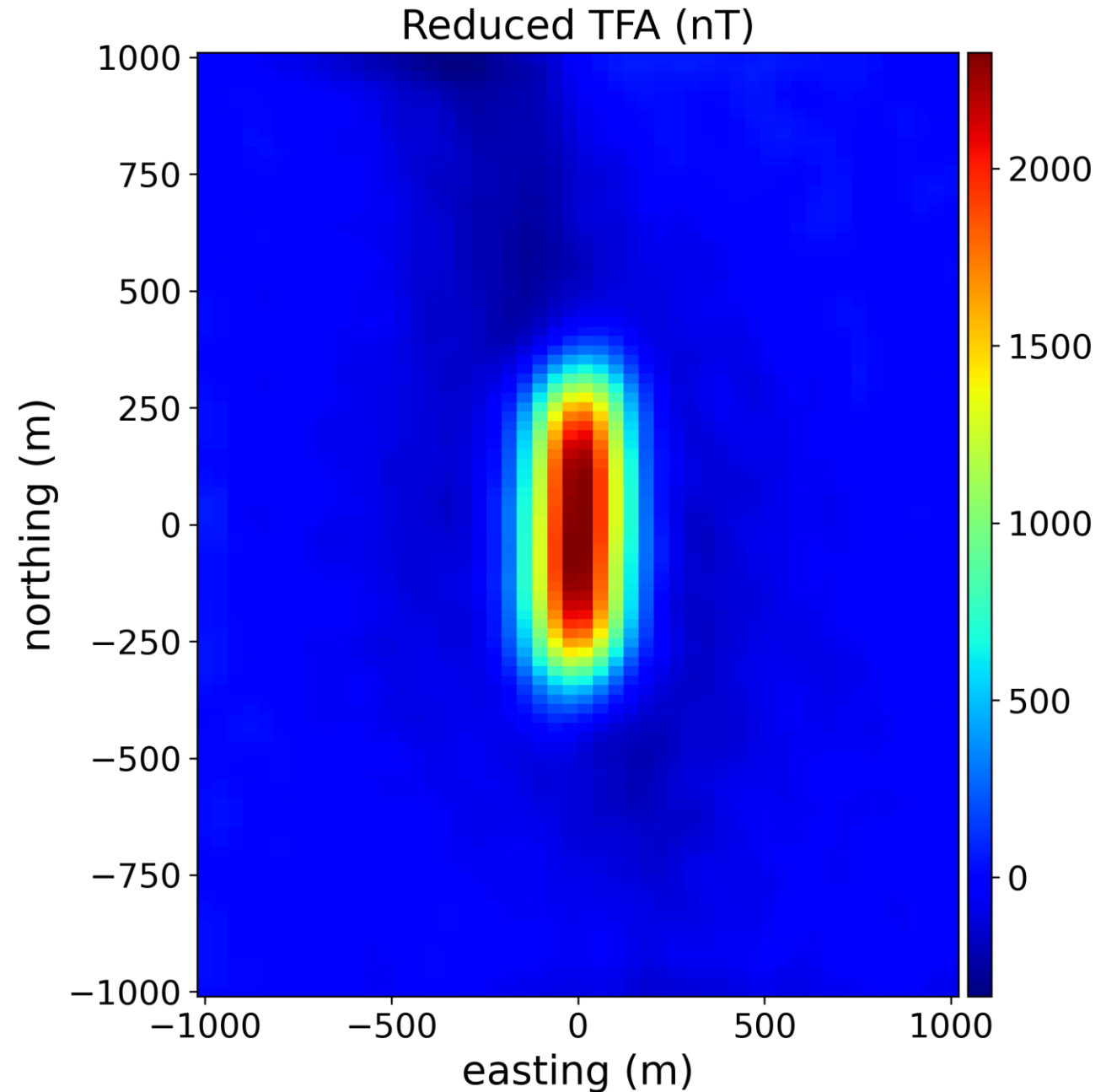
**Direção do campo
geomagnético**

$$(I, D) = (-40^\circ, -50^\circ)$$

**Direção de
magnetização do
corpo**

$$(I, D) = (-40^\circ, -50^\circ)$$

**Direção de
magnetização dos
dipolos**



Resultado da inversão

$$(I_0, D_0) = (-15^\circ, -15^\circ)$$

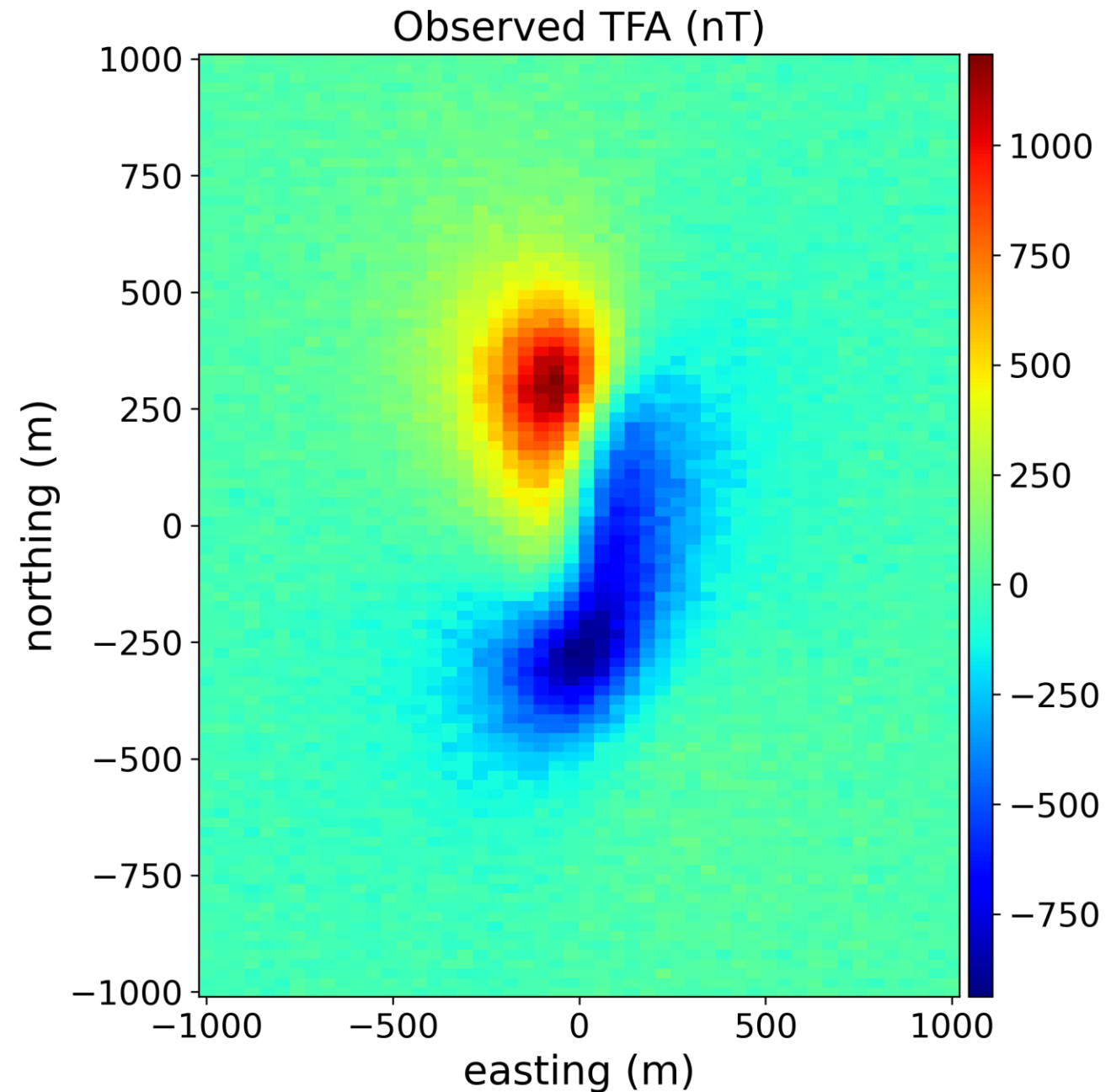
**Direção do campo
geomagnético**

$$(I, D) = (-40^\circ, -50^\circ)$$

**Direção de
magnetização do
corpo**

$$(I, D) = (-15^\circ, -15^\circ)$$

**Direção de
magnetização dos
dipolos**



Resultado da inversão

$$(I_0, D_0) = (-15^\circ, -15^\circ)$$

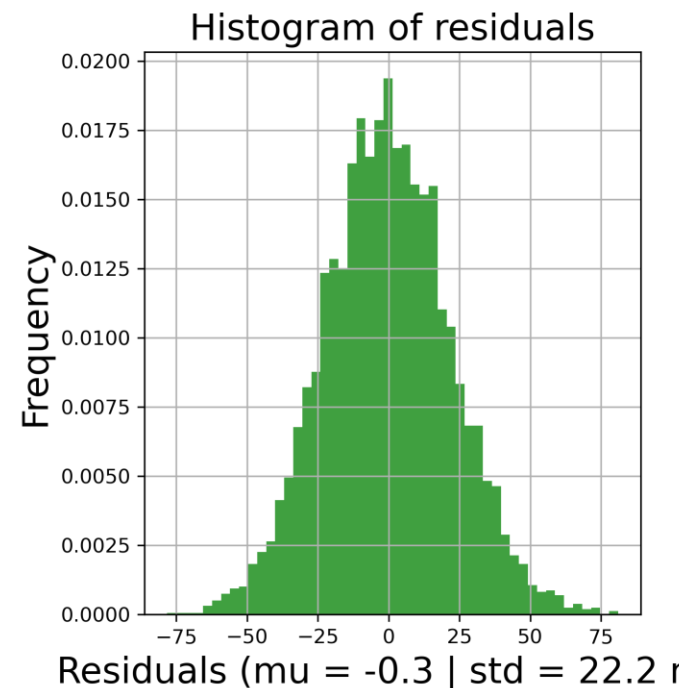
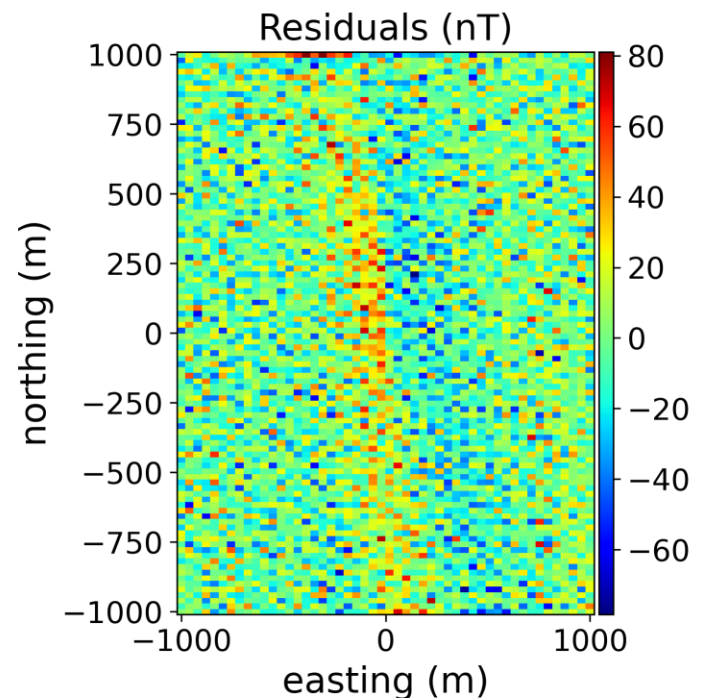
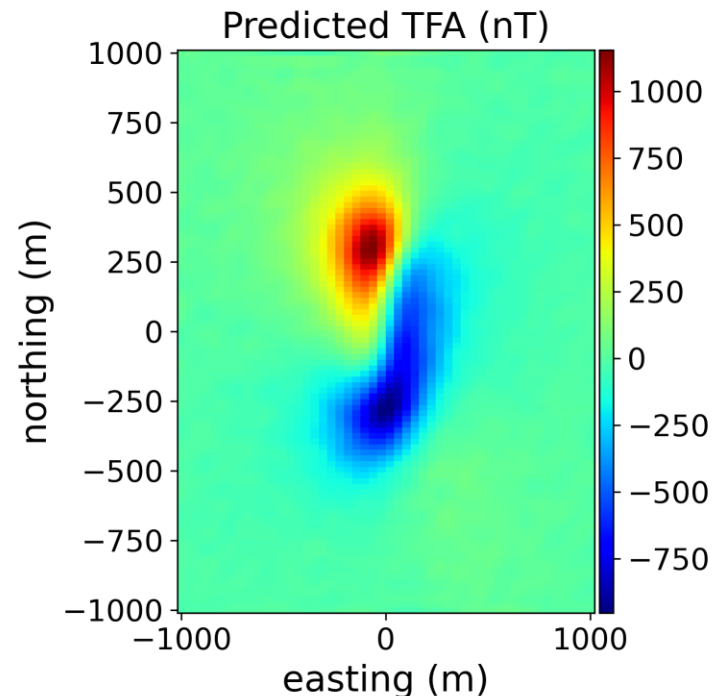
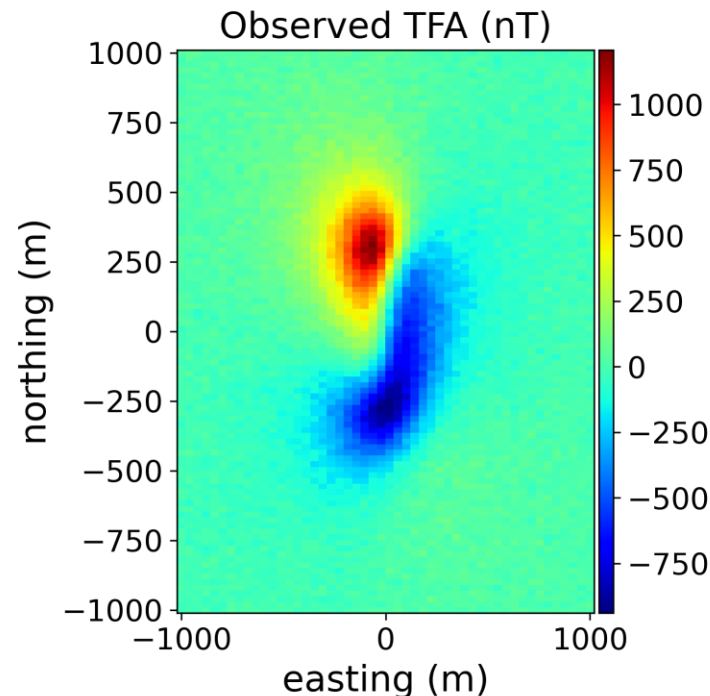
**Direção do campo
geomagnético**

$$(I, D) = (-40^\circ, -50^\circ)$$

**Direção de
magnetização do
corpo**

$$(I, D) = (-15^\circ, -15^\circ)$$

**Direção de
magnetização dos
dipolos**



Resultado da inversão

$$(I_0, D_0) = (-15^\circ, -15^\circ)$$

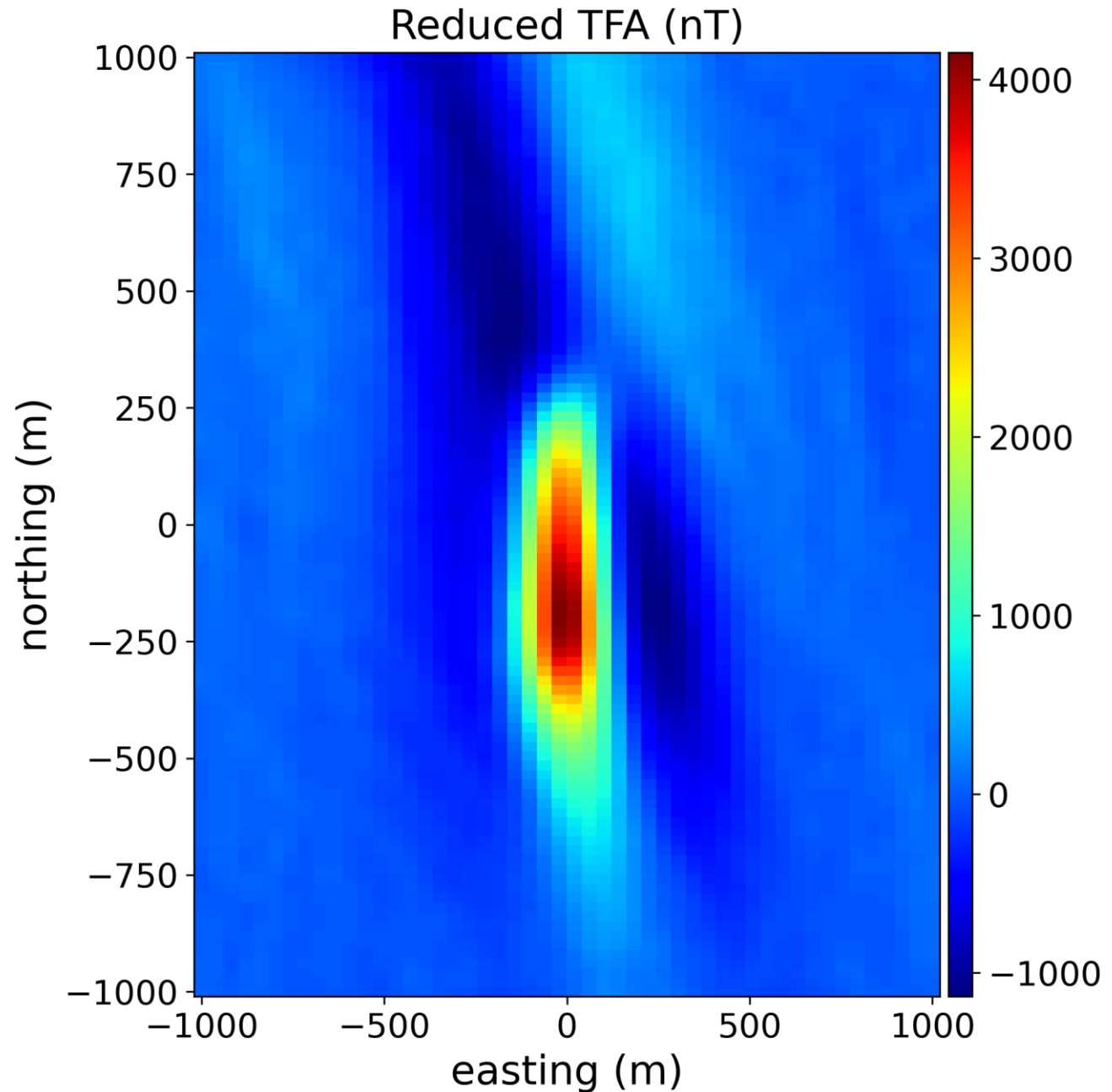
**Direção do campo
geomagnético**

$$(I, D) = (-40^\circ, -50^\circ)$$

**Direção de
magnetização do
corpo**

$$(I, D) = (-15^\circ, -15^\circ)$$

**Direção de
magnetização dos
dipolos**



Continuação para cima utilizando a Camada equivalente

Simulação numérica

Prisma alongado no eixo x

$$h = 100 \text{ m}$$

$$(Nx, Ny) = (100, 50)$$

$$(dx, dy) = (20, 40)$$

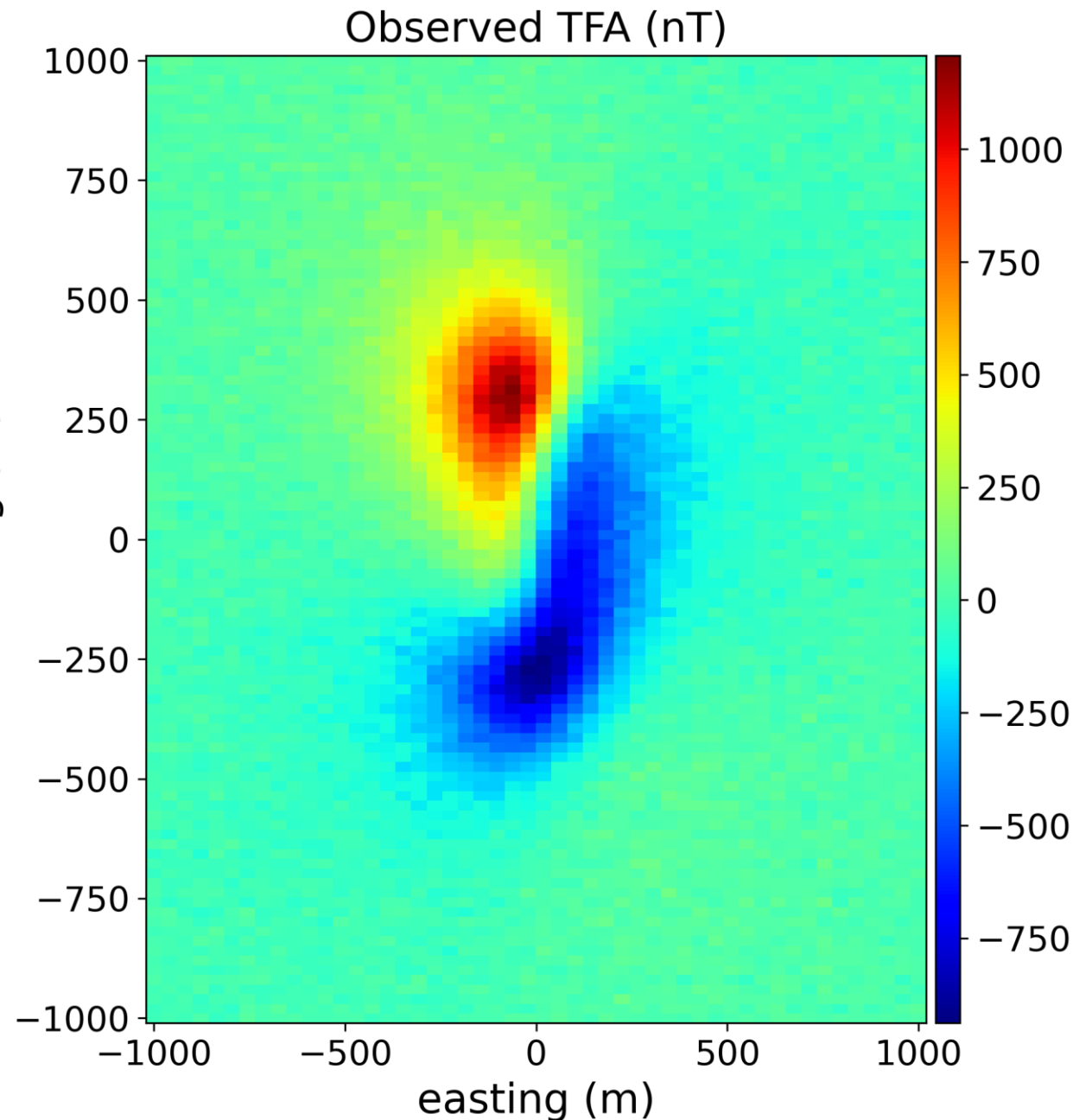
$$(I_0, D_0) = (-15^\circ, -15^\circ)$$

**Direção do campo
geomagnético**

$$(I, D) = (-40^\circ, -50^\circ)$$

**Direção de
magnetização
verdadeira**

Os dados foram
contaminados com
ruído gaussiano de
média zero e 25 nT!



Resultado da inversão

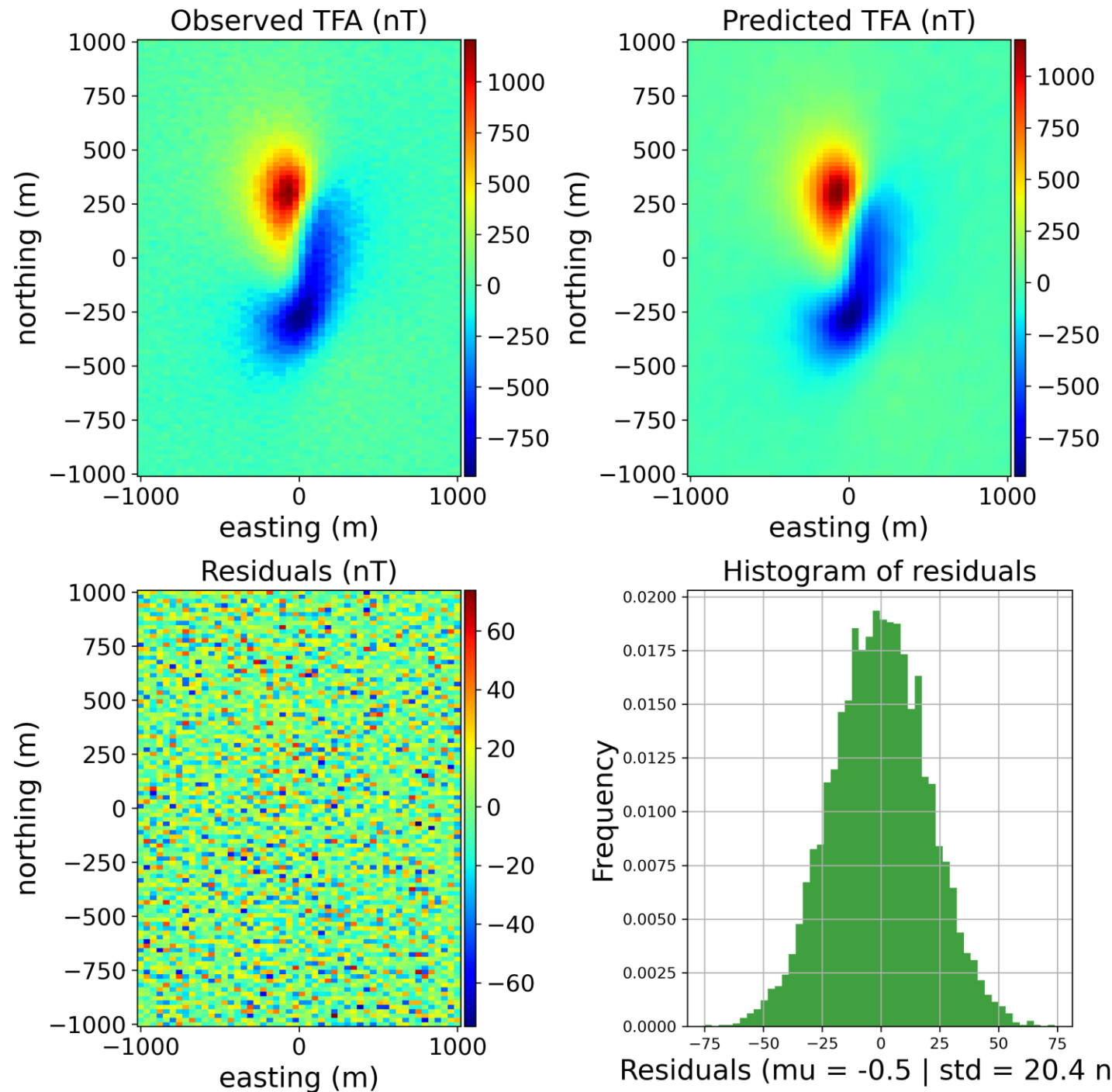
$$(I_0, D_0) = (-15^\circ, -15^\circ)$$

Direção do campo
geomagnético

$$(I, D) = (-40^\circ, -50^\circ)$$

Direção de
magnetização do
corpo

$$h = 100 \text{ m}$$



Resultado da inversão

$$(I_0, D_0) = (-15^\circ, -15^\circ)$$

**Direção do campo
geomagnético**

$$(I, D) = (-40^\circ, -50^\circ)$$

**Direção de
magnetização do
corpo**

$$h = 100 \text{ m}$$

$$h_{\text{up}} = 500 \text{ m}$$

Resultado da inversão

$$(I_0, D_0) = (-15^\circ, -15^\circ)$$

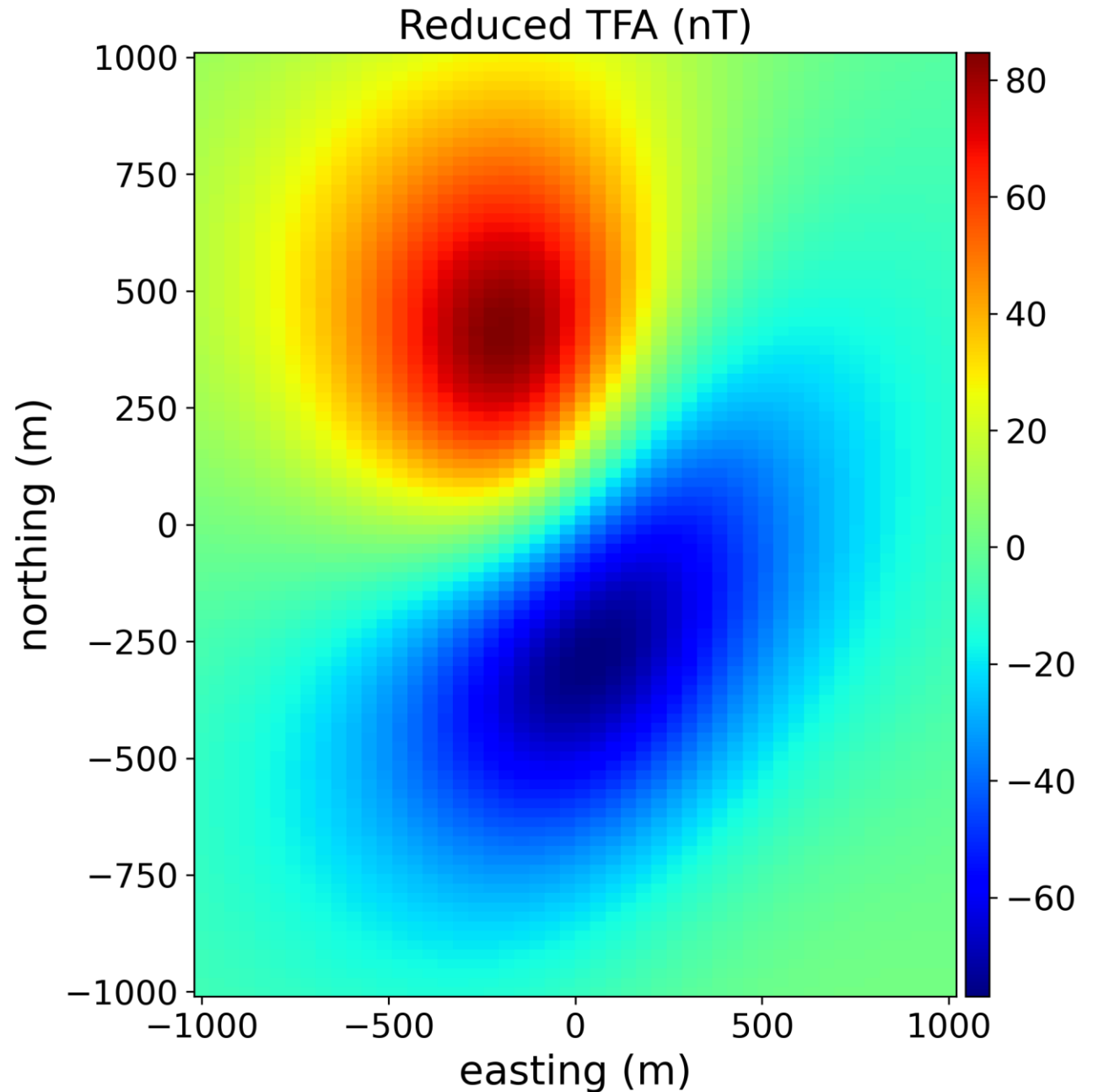
**Direção do campo
geomagnético**

$$(I, D) = (-40^\circ, -50^\circ)$$

**Direção de
magnetização do
corpo**

$$h = 100 \text{ m}$$

$$h_{\text{up}} = 500 \text{ m}$$



OBRIGADO!